

АЗЭРБАЙЧАН ССР ЭЛМЛЭР АКАДЕМИЯСЫ  
АКАДЕМИЯ НАУК АЗЕРБАЙДЖАНСКОЙ ССР

---

# МЭРУЗЭЛЭР ДОКЛАДЫ

ТОМ XII

№ 12

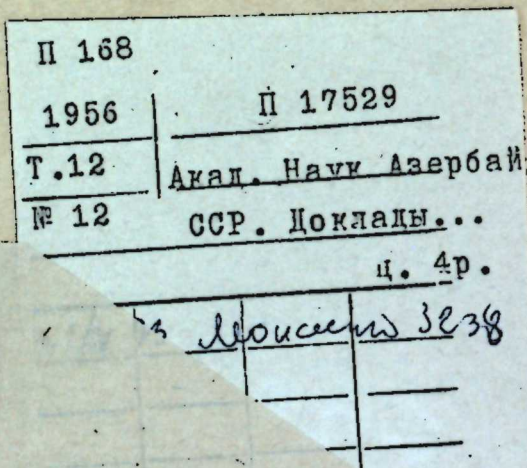
1956

---

АЗЭРБАЙЧАН ССР ЭЛМЛЭР АКАДЕМИЯСЫНЫШ НЭШРИЙЯТЫ  
ИЗДАТЕЛЬСТВО АКАДЕМИИ НАУК АЗЕРБАЙДЖАНСКОЙ ССР  
БАКЫ — БАКУ

АЗЭРБАЙЧАН ССР ЭЛМЛЭР АКАДЕМИЯСЫ  
АКАДЕМИЯ НАУК АЗЕРБАЙДЖАНСКОЙ ССР

# МЭ'РУЗЭЛЭР ДОКЛАДЫ



П 17529

ТОМ XII

№ 12

1956

АЗЭРБАЙЧАН ССР ЭЛМЛЭР АКАДЕМИЯСЫНЫН, НЭШРИЙТА  
ИЗДАТЕЛЬСТВО АКАДЕМИИ НАУК АЗЕРБАЙДЖАНСКОЙ ССР  
БАКЫ — БАКУ

СОДЕРЖАНИЕ

*Математика*

- Н. Г. Агаев—О задаче Коши для одного интегродифференциального уравнения . . . . . 883

*Химия*

- В. Г. Зизин, Б. Д. Яснопольский, Г. Г. Ашумов—Об углеводородном составе бензинов прямойгонки из нефти бакинского месторождения . . . . . 889  
Б. Ф. Пишиамазаде, Ш. Д. Гулиева—Алкилирование хлорметиловых эфиров карбоновых кислот этиленовыми углеводородами . . . . . 895  
А. К. Мискарли Т.Г., Гасанова—Влияние добавки химических реагентов на структурно-механические свойства глинистых растворов . . . . . 901

*Гидродинамика и термодинамика*

- Ю. А. Ибад-заде, С. П. Казаков—Исследования гидромониторных струй . . . . . 913  
А. М. Хитеев—Растворимость этана и пропана в нефтях . . . . . 923  
Н. Н. Кременецкий—К расчету затопленных турбулентных струй . . . . . 935  
А. Ф. Касимов—К вытеснению одной вязкой жидкости другой в горизонтальной круглой цилиндрической трубе при турбулентном режиме движения . . . . . 943

*Энергетика*

- И. И. Гюльмамедов—Расчет статических характеристик дизельэлектрического привода переменного тока . . . . . 949

*Петрография*

- А. И. Мамедов—Петрографическая характеристика роговиков Даудагского интрузива . . . . . 955

*Инженерная геология*

- И. С. Башинджаги—О сдвиге в грунтах со слоистой текстурой . . . . . 961

*Геология нефти*

- С. Г. Салаев—О перспективах нефтегазоносности олигоцен-миоценовых отложений Кобыстана . . . . . 967

*География*

- А. А. Мадатзаде—Основные типы атмосферных процессов, обусловленные поле ветров на Каспийском море . . . . . 973

*Палеонтология*

- Е. Х. Гейвандова—Новые виды *Didacna* из хазарских отложений Апшеронского полуострова . . . . . 981

*Зоология*

- Х. М. Алекперов—Некоторые данные о размножении лесной сони (*Dyromys nitidula* Pall.) в условиях Азербайджана . . . . . 987

*Агробиология*

- А. М. Бабаева—Влияние полива на фотосинтез листьев чайного растения в условиях Ленкорани . . . . . 993

- Д. А. Алиев—Влияние микроэлементов на полегание пищеницы . . . . . 999

*Литература*

- А. Алиев—Новые документы о жизни Н. Везирова . . . . . 1005  
Систематический указатель статей за 1956 год . . . . . 1009

МАТЕМАТИКА

Г. Н. АГАЕВ

**О ЗАДАЧЕ КОШИ ДЛЯ ОДНОГО ИНТЕГРОДИФФЕРЕНЦИАЛЬНОГО УРАВНЕНИЯ**

(Представлено академиком АН Азербайджанской ССР З. И. Халиловым)

В настоящей статье исследуется задача Коши для интегродифференциального уравнения вида

$$\frac{dU}{dt} = P\left(\frac{1}{2\pi i} \frac{\partial}{\partial x}, t\right) U(x, t) + K_* U, \quad (1)$$

при начальном условии

$$U(x, 0) = U(x_0), \quad (2)$$

в классе обобщенных функций.

Здесь:

$U(x, t)$ —искомая обобщенная функция от пространственной точки  $x = (x_1, x_2, \dots, x_N)$  и времени  $t$ ;

$P\left(\frac{1}{2\pi i} \frac{\partial}{\partial x}, t\right)$ —линейный дифференциальный оператор  $p$ -го порядка по координатам  $x_j$ ;

$K(x, t)$ —обобщенная функция, определенная в основном пространстве  $\Phi$  (Фурье), преобразование которой является функционалом типа функции и мультипликатором в двойственном пространстве  $\tilde{\Phi}$ ;

$K^* U$ —свертка обобщенных функций  $K$  и  $U$ .

В данной статье элементы теории обобщенных функций и терминология заимствованы из статей [1, 2, 3].

Имеет место

Теорема. Если  $\tilde{K}$  является функционалом типа функции и мультипликатором в пространстве  $\tilde{\Phi}$ , то имеет место формула

$$\widetilde{K^* U} = \tilde{K} \cdot \tilde{U}.$$

Следуя вышеуказанным статьям, с задачей Коши (1) и (2) сопоставляется задача Коши в соответствующем двойственном пространстве, которая получается Фурье преобразованием и применением вышеуказанной теоремы к уравнению (1), а также Фурье преобразования к условию (2):

$$\frac{dv(s, t)}{dt} = \left( P(s, t) + \tilde{K} \right) v(s, t), \quad (4)$$

$$v(s, 0) = v_0(s),$$

где  $s = (s_1, s_2, \dots, s_N)$ , а  $v(s, t)$  и  $v_0(s)$  определяются в пространстве обобщенных функций  $T(\tilde{\Phi})$ , которое состоит из преобразований обобщенных функций  $T$ , определенных в основном пространстве  $\Phi$ .

Как известно из статьи [2], между основными пространствами, где соответственно исследуются задачи (1), (2), (3), (4) существует изоморфизм. В этом смысле пространство  $S$  изоморфно с самим собой;

пространство  $Z_p^p$  изоморфно с пространством  $Z_{p^1}^{p^1}$ ,  $\left(\frac{1}{p} + \frac{1}{p^1} = 1\right)$ ;  $Z_p$

изоморфно с пространством  $K_p$  и  $Z$  изоморфно с пространством финитных функций  $K$ . Изоморфизм, установленный между пространствами, делает возможным установить теорему единственности решения задачи (1), (2), исходя из единственного решения задачи (3), (4).

Итак, задачу (3) и (4) будем исследовать в двойственном пространстве  $\tilde{\Phi}$ .

Следуя работе [2], предварительно рассмотрим обычную задачу Коши

$$\frac{d Q(s, t_0, t)}{dt} \left( P(s, t) + \tilde{K} \right) Q(s, t_0, t) \quad (5)$$

$$Q(s, t_0, t_0) = 1 \quad (6)$$

Решение этой задачи определяется формулой

$$Q(s, t_0, t) = e^{\int_{t_0}^t [P(s, t) + \tilde{K}] dt}$$

Имеет место

**Теорема 1.** Если  $Q(s, 0, t)$  в пространстве  $\tilde{\Phi}$  является мультипликатором при любом  $t \geq 0$ , то уравнение (3) при любой начальной обобщенной функции  $v_0 \in T(\tilde{\Phi})$  имеет решение

$$v(s, t) = Q(s, 0, t) v_0(s), \quad (7)$$

причем это решение непрерывно зависит от начальной обобщенной функции в смысле топологии пространства  $T(\tilde{\Phi})$ .

**Доказательство.** Так как  $Q(s, 0, t)$  при любом  $t \geq 0$  является мультипликатором в пространстве  $T(\tilde{\Phi})$ , то  $Q(s, 0, t) v_0(s) \in T(\tilde{\Phi})$ .

Теперь докажем, что  $v(s, t)$ , которая определяется формулой (7), является решением задачи (3), (4). В самом деле,

$$\begin{aligned} \frac{d v(s, t)}{dt} &= \frac{d Q(s, 0, t)}{dt} v_0(s) = (P(s, t) + \tilde{K}) Q(s, 0, t) v_0(s) = \\ &= [P(s, t) + \tilde{K}] v(s, t). \end{aligned}$$

Далее, пусть  $\{t_n\}$ —любая последовательность, стремящаяся к нулю и  $\psi(s)$ —любой элемент из  $\tilde{\Phi}$ .

$(Q(s, 0, t_n) v_0(s), \psi(s)) = (v_0(s), Q(s, 0, t_n) \psi(s))$ , что при  $t_n \rightarrow 0$  стремится к  $(v_0(s), \psi(s))$ , т. е.  $\lim_{t \rightarrow 0} v(s, t) = v_0(s)$ .

...Пусть теперь  $\{v_{on}(s)\}$ —последовательность элементов  $T(\tilde{\Phi})$  стремится к нулю в смысле пространства  $T(\tilde{\Phi})$ , и  $v_n(s, t)$ —решение уравнения при начальных функциях  $v_{on}(s)$ . Мы имеем:

$$v_n(s, t) = Q(s, 0, t) v_{on}(s),$$

т. к.  $Q(s, 0, t)$  мультипликатор в  $T(\tilde{\Phi})$ , то  $Q(s, 0, t) v_{on}(s) \in T(\tilde{\Phi})$ , следовательно, решение (3) непрерывно зависит от  $v_0(s)$ . Далее, так как

$$Q(s, t, t_0) = e^{\int_{t_0}^t [P(s, t) + \tilde{K}] dt},$$

то

$$\frac{d Q(s, t, t_0)}{dt} = -(P(s, t) + \tilde{K}) Q(s, t, t_0). \quad (8)$$

**Теорема 2.** Если  $Q(s, t, t_0)$  является мультипликатором в пространстве  $T(\tilde{\Phi})$  при любом  $0 \leq t \leq t_0$ , то задача (3), (4) имеет единственное решение.

**Доказательство.** Для установления единственности решения (3), (4) достаточно предположить  $v_0(s) \equiv 0$  и доказать, что при этом любое решение  $v(s, t)$  уравнения тождественно равно нулю.

Пусть  $v(s, t)$ —любое решение уравнения (3), соответствующее  $v_0(s)$ , и  $\psi(s)$ —любой элемент пространства  $\tilde{\Phi}$ . Действуя функционалом  $v(s, t)$  над элементом  $Q(s, t, t_0) \psi(s) \in \tilde{\Phi}$  и дифференцируя полученную функцию, мы имеем:

$$\begin{aligned} &\frac{d}{dt} (v(s, t), Q(s, t, t_0) \psi(s)) = \\ &= \left( \frac{d v(s, t)}{dt}, Q(s, t, t_0) \psi(s) \right) + \\ &+ \left( v(s, t), \frac{d Q(s, t, t_0)}{dt} \psi(s) \right) = \\ &= ((P(s, t) + \tilde{K}) v(s, t), Q(s, t, t_0) \psi(s)) + \\ &+ (v(s, t), -(P(s, t) + \tilde{K}) Q(s, t, t_0) \psi(s)) = \\ &= (v(s, t), (P(s, t) + \tilde{K}) Q(s, t, t_0) \psi(s)) - \\ &- (v(s, t), (P(s, t) + \tilde{K}) Q(s, t, t_0) \psi(s)) = 0. \end{aligned}$$

Итак,  $(v(s, t), Q(s, t, t_0) \psi(s)) = \text{const}$ , при  $0 \leq t \leq t_0$ ; так как при  $t = 0$   $v(s, t) = v_0(s) = 0$ , то при любом  $t$  из  $[0, t_0] \cdot (v(s, t), Q(s, t, t_0) \psi(s)) = 0$ .

Полагая, что здесь  $t = t_0$ , получим

$$(v(s, t_0), \psi(s)) = 0$$

В силу произвольности  $\psi$  имеем:

$$v(s, t_0) \equiv 0.$$

По предложению  $t_0$ —произвольное, следовательно,

$$v(s, t) \equiv 0.$$

Таким образом, при вышеуказанных условиях задача (3), (4) имеет единственное решение, а поэтому, задача (1) и (2) также имеет единственное решение.

Теперь построим общую формулу для решения задачи (1), (2).

Общая формула для решения задачи (1), (2) получается с помощью обратного преобразования в формуле (7).

Пусть  $Q(s, 0, t)$  — мультипликатор в пространстве  $\tilde{\Phi}$  основных функций  $\psi(s)$  и  $v_o(s) \in T(\tilde{\Phi})$  тогда  $\tilde{Q}(s, 0, t) v_o(s) \in T(\Phi)$  и

$$U(x, t) = v(s, t) = \tilde{Q}(s, 0, t) v_o(s) = Q(s, 0, t) * U_o(x)$$

будет решением задачи (1), (2).

Здесь  $v_o(s) = U_o(x)$ .

Решение задачи (1), (2)

$$U(x, t) = \tilde{Q}(s, 0, t) * U_o(x) \quad (9)$$

есть, вообще говоря, обобщенная функция, но из общего решения (9) в ряде случаев можно получить обычные решения задачи (1), (2), чему будет посвящена особая статья автора.

Решение задачи Коши (1), (2) в классе обобщенных функций охватывает важную задачу:

$$\begin{aligned} \frac{\partial U}{\partial t} &= \sum_{\sum k_i < p} A_{k_1 \dots k_n} t^{\frac{\partial^k U}{\partial x_1^{k_1} \dots \partial x_n^{k_n}}} + \\ &+ \int_{-\infty}^{+\infty} K(x - \xi, t) U(\xi, t) d\xi, \\ U(x, t)|_{t=0} &= U_o(x) \end{aligned}$$

в классе растущих обычных функций.

**Замечание.** Для простоты мы взяли одно уравнение. Указанные результаты распространяются также на системы интегродифференциальных уравнений.

#### ЛИТЕРАТУРА

1. Борок В. М. ДАН СССР\*, т. XCVII, IV, 6, 1954. 2. Гельфанд И. М., Шилов Г. Е. Успехи математических наук, 8, вып. 6 (158), 1953. 3. Костюченко А. Г., Шилов Г. Е. Успехи математических наук, 9, вып. 3 (61). 1954.

Институт физики и математики  
АН Азербайджанской ССР

Поступило 22.IV 1956

h. Н. Агаев

Бир интегродифференциал тәнлийә  
аид Коши мәсәләсін һагында

#### ХУЛАСӘ

Мәгәләдә (1), (2) Коши мәсәләсінин үмумиләшмиш функциялар синфинде һәлли тәдгиг әдилер.

Бурда  $U_o(x)$  тоположи  $\tilde{\Phi}$  фәзасында тә'йин әдилән  $x = (x_1, x_2, \dots, x_N)$  нөгтесинде асылы үмумиләшмиш функциядыр;  $U(x, t)$  һәмин нөгтәдән вә  $t$  заманындан асылы үмумиләшмиш функциядыр. Бу үмуми-

ләшмиш функциялар  $\Phi$  фәзасында тә'йин әдилән хәтти вә кәсилемә 7 функционаллары чохлуғуна аиддир.

$\Phi$  фәзасының һәр бир  $\varphi(x)$  функциясының Фур'е чевирмәси  $\psi(s)$  илә ишарә әдилер вә

$$\psi(s) = \tilde{\varphi}(x) = \int_{-\infty}^{+\infty} e^{-2\pi s x} \varphi(x) dx$$

шәклиндә тә'йин әдилер.

Бурда:  $(s, x) = s_1 x_1 + s_2 x_2 + \dots + s_N x_N$ .

$\psi(s)$  функцияларыны әлавә хасселләрә табе этмәк йолу иләени  $\tilde{\Phi}$  тоположи фәза дүзәлдилер.

Сонра (1) тәнлийи вә (2) башланғыч шәрти үзәриндә Фур'е чевирмәси апармагла (3), (4) мәсәләсі әлдә әдилер. (3), (4) мәсәләсі  $\tilde{\Phi}$ -дә тә'йин әдилән функционаллар синфинде һәллә әдилер.

Мәгәләдә (3), (4) вә эйни заманда (1), (2) мәсәләләринин һәллинин варлығы, еканәлийи вә һәллин башланғыч функционаллардан кәсилемә асылылығы көстәриләр.

В. Г. ЗИЗИН, В. Д. ЯСПОЛЬСКИЙ, Г. Г. АШУМОВ

ОБ УГЛЕВОДОРОДНОМ СОСТАВЕ БЕНЗИНОВ ПРЯМОЙ  
ГОНКИ ИЗ НЕФТЕЙ БАКИНСКОГО МЕСТОРОЖДЕНИЯ

(Представлено академиком АН Азербайджанской ССР В. С. Гутыревой)

Установление углеводородного состава бензинов прямой гонки из нефтей бакинского месторождения было предметом исследования многих химиков. Благодаря качественному подходу к разрешению поставленной задачи ими было установлено, что эти бензины состоят из углеводородов трех классов, а именно парафиновых, нафтеновых и ароматических. Какие именно углеводороды входят в состав каждого класса, установлено не было. Это объясняется тем, что химические методы, которыми пользовались исследователи, не позволяли сделать этого. Детализированный углеводородный состав этих бензинов оказалось возможным устанавливать применением физических методов исследования, из коих в первую очередь должен быть назван метод Академии наук СССР, основанный на применении явления комбинационного рассеяния света. Этот метод был использован нами в данной работе для установления углеводородного состава бензинов прямой гонки из нефтей бакинского месторождения. Однако в своем исследовании мы допустили некоторое отступление от этого метода, а именно: мы исключили из анализа дегидрогенизационный катализ. Основания для такого отступления были указаны в предыдущем сообщении [1].

Анализ бензинов проводился следующим образом.

Нефть, привезенная с промысла, разгонялась на отдельные фракции, а затем компаундингом этих фракций готовился бензин с выкипаемостью до 100°—40%. Полученные образцы бензинов, прежде всего, подвергались первой ректификации для отгона легкой головки до появления ароматических углеводородов. При отгоне этой головки в большинстве случаев отгонялась фракция н. к.—57°, но в некоторых случаях (там, где не было бензола) отгонялись две фракции: н. к.—57° и 57—64°. Остаток после отгона легкой головки деароматизировался хромотографически на силикагеле.

Деароматизированный остаток с помощью колонки четкой ректификации разгонялся на следующие фракции: 57—66°; 66—76°; 76—84°; 84—88°; 88—93°; 93—96°; 96—100°; 100—105°; 105—108°; 108—114°; 114—117°; 117—120°; 120—123°; 123—129°; 129—133°; остаток. Подобная разбивка на фракции делалась из тех соображений, что различные представители парафиновых углеводородов с одинаковой степенью

Таблица 1

Детализированный состав парафиновых углеводородов,

входящих в состав бензинов прямойгонки (вес. %)

Наименование углеводородов	Наименование						нефти						Нефтяные Камни	Бибейбатская
	Сурганская отборная	Сурганская обыкновенная	Калинская верхнего отдела	Калинская нижнего отдела	Калинскаго сплава	Молотовская верхнего отдела	Молотовская нижнего отдела	Горянская	Балаханская масляная	Бингагдинская	Карачухурская верхнего отдела	Карачухурская нижнего отдела		
Бутаны	1,26	1,22	1,91	0,35	0,21	0,32		0,31	0,82	0,54	0,72	0,11	0,22	—
Норм. пентан	0,48	1,18	0,54	0,90	1,38	0,82		0,51	0,81	0,85	0,58	0,82	0,85	2,66
Изопентан	0,96	1,53	0,81	0,98	0,64	1,97		0,35	5,16	1,85	1,02	1,23	0,63	1,30
Всего пентанов	1,44	2,71	1,35	1,88	2,02	2,79		0,96	5,97	2,70	1,60	2,05	1,48	3,96
Норм. гексан	1,21	1,58	0,57	1,12	4,79	2,28		4,63	1,34	0,82	2,47	1,49	2,85	5,17
2-метилпентан }	2,09	2,80	1,10	3,96	4,32	3,43		2,79	11,00	2,36	4,01	1,86	1,51	3,69
3-метилпентан }								0,25	0,76	0,67	0,29	0,27	0,07	0,11
2,2-диметилбутан	0,29	0,53	0,61	0,27	0,16	0,32		0,56	0,95	1,25	1,18	0,54	0,15	0,84
2,3-диметилбутан	0,35	0,95	1,80	1,05	0,45	0,73		8,23	14,05	5,10	7,95	4,16	4,58	0,38
Всего гексанов	3,94	5,86	4,08	6,40	9,72	6,76		5,42	0,64	2,09	4,28	1,31	4,77	4,39
Норм. гентан	0,89	0,84	1,48	2,81	5,96	2,08		5,73	10,25	1,45	5,50	2,40	3,73	5,29
2-метилгексан }	1,97	2,10	3,41	4,48	5,81	5,19								4,12
3-метилгексан }								0,98	0,96	1,95	0,94	0,26	—	0,78
2,2-диметилпентан	0,82	0,72	0,61	0,59	0,45	0,40		1,16	3,44	1,62	1,39	1,31	—	1,72
2,3-диметилпентан	1,09	2,92	3,18	2,56	1,38	1,11		0,82	0,79	1,78	0,86	0,60	0,13	0,56
2,4-диметилпентан	0,62	0,84	0,59	0,73	0,76	0,75								0,22
3,2-диметилпентан	0,39	0,52	0,36	0,64	—	0,15		—	0,30	0,38	0,29	0,20	—	0,43
2,2,3-триметилбутан	0,21	0,15	0,42	0,22	—	0,28		—	0,25	—	0,23	0,22	0,07	0,16
3-этилпентан	0,91	0,29	—	2,07	—	1,41		—	0,71	—	—	—	—	1,21
Всего гентанов	6,90	8,38	9,74	14,10	14,36	11,37		14,11	17,34	9,27	13,49	6,30	8,70	12,09
Норм. октан	0,84	0,80	0,31	2,38	2,91	1,20		2,35	2,03	0,15	1,66	1,16	6,93	2,32
2-метилгептан }								8,39	7,90	2,58	5,71	3,74	4,88	4,82
3-метилгептан }	2,05	2,17	3,60	5,49	8,67	2,31								7,50
4-метилгептан }								2,00	7,27	2,62	4,28	2,20	0,66	2,68
Диметилгексаны	2,67	2,82	4,51	2,10	2,10	2,80								1,67
Триметилпентаны	0,28	—	—	—	—	—		—	—	—	—	—	—	—
Всего октанов	5,81	5,78	8,42	10,78	11,68	6,31		12,74	17,20	5,35	11,65	7,10	11,57	9,82
Всего парафинов	19,35	23,96	25,50	33,51	37,99	27,55		36,25	55,38	22,96	35,41	19,72	26,55	35,22
														32,84
														28,91

Детализированный состав нафтеновых углеводородов, входящих в состав бензинов прямой гонки (вес. %)

Наименование углеводородов		Наименование нефти					
		Бензиновая			Нефтяная		
		Бензиновая	Бензиновая	Бензиновая	Бензиновая	Бензиновая	Бензиновая
Циклопентаны:							
Метилцикlopентан	0,20	0,13	0,07	0,13	0,52	0,17	0,29
Этилцикlopентан	4,56	5,06	3,71	4,52	5,10	4,70	4,48
1,1-диметилцикlopентан	-1,67	1,73	1,51	1,48	0,98	1,10	1,24
trans 1, 2-диметилцикlopентан	-2,12	1,70	2,94	2,53	0,77	1,74	1,09
cis 1, 2-диметилцикlopентан	3,61	4,03	3,31	2,35	2,60	2,79	2,07
cis 1, 3-диметилцикlopентан	2,22	1,61	3,60	2,88	0,84	1,49	0,84
1,2,4-триметилцикlopентан	1,83	1,18	1,50	1,56	1,72	1,69	1,68
Всего циклопентанов	2,88	3,54	8,31	7,69	5,60	8,40	4,13
Циклогексаны:	19,19	16,98	25,15	23,14	17,66	22,48	16,09
Циклогексан	8,50	8,34	6,83	5,56	5,31	5,74	5,97
Метилциклогексан	22,13	22,43	10,82	9,81	12,65	10,70	12,65
Этилциклогексан	1,71	2,12	2,66	0,86	0,89	4,49	2,23
1,1-диметилциклогексан	1,15	1,17	1,61	1,16	0,80	1,18	0,32
trans-1, 2диметилциклогексан	4,18	4,10	5,53	4,48	2,99	6,71	3,36
cis-1, 2диметилциклогексан	0,32	0,37	3,21	0,27	0,23	1,63	0,65
trans 1, 3диметилциклогексан	7,97	6,68	8,42	7,20	4,55	6,52	4,86
trans 1, 4диметилциклогексан	2,57	3,30	3,83	3,24	2,74	4,23	2,69
1, 1, 3-тридиметилциклогексан	-	-	-	-	-	-	-
Всего циклогексанов	48,53	46,31	42,91	32,58	30,16	41,40	32,89
Всего нафтеноидов	67,72	65,29	68,06	55,72	47,82	63,88	48,88

Таблица 3

Детализированный состав ароматических углеводородов, входящих в состав бензинов прямой гонки (вес. %)

Наименование углеводородов		Наименование нефти					
		Бензиновая	Бензиновая	Бензиновая	Бензиновая	Бензиновая	Бензиновая
		Бензиновая	Бензиновая	Бензиновая	Бензиновая	Бензиновая	Бензиновая
Бензол	0,70	0,37	0,40	0,05	0,33	0,25	0,67
Толуол				0,18	0,75	1,71	1,07
Этилбензол					—	—	—
Орто ксиол					0,72	—	—
Мета ксиол						—	—
Пара ксиол						—	—
Всего ароматики	0,70	0,37	0,40	0,23	1,55	0,97	3,45
Углеводороды невыясненной структуры	12,23	10,38	6,04	10,54	13,34	7,60	11,31

Приимечание: Бензин из карачаевской (нижнего отела), Нефть из Камни и бибийкатской нефти представляют широкую фракцию от и. к. до 150°. Бензин из других нефтей имеют выкупаемость до 100—40%.

разветвленности, а также пятичленные и шестичленные нафтеновые углеводороды будут сосредоточены в отдельных фракциях. При этом промежуточными фракциями будут: 84—88°; 93—96° и 100—105°.

После определения удельного веса и показателя преломления все полученные фракции запаивались в кюветы для оптического анализа их методом комбинационного рассеяния света. Спектральный анализ производился на аппарате с одноламповым осветителем. Режим горения лампы поддерживался феррорезонансным стабилизатором напряжения. Для съемки спектров применялись фотопластиинки

AGFA изохром чувствительностью  $\frac{18}{10}$  дин. Проявление спектров про-

изводилось в соответствии с указаниями, изложенными в инструкции Академии наук СССР. Промер частот спектров фракции производился на измерительном микроскопе. После расчета частот фракций, последние идентифицировались с частотами спектров индивидуальных углеводородов, температура кипения которых лежала в интервале температур кипения фракций. При этом, в силу размазанности отдельных углеводородов по фракциям, для идентификации приходилось затрагивать углеводороды, которые по температуре кипения отличались на 5—10° от температур кипения фракции. Таким образом, производилась качественная расшифровка фракций. Для количественной расшифровки на микрофотометре производилось измерение интенсивностей линий методом фотографической фотометрии.

Ароматические углеводороды, выделенные из нафтеново-парафиновой части, в случае малого их количества, запаивались в кювету и анализировались методом комбинационного рассеяния света, как описано выше. В случае большого содержания их, они предварительно разделялись на следующие фракции: н. к.—95°; 95—122° и остаток. Так как выделенные ароматические углеводороды обычно содержат примесь нафтеновых и парфиновых углеводородов, то содержание бензола и толуола в первых двух фракциях определялось методом относительной дисперсии. Изомеры ксиола и этилбензол определялись в остатке спектроскопически.

Результаты анализов бензинов прямой гонки по отдельным классам углеводородов представлены в таблицах 1, 2 и 3.

Во всех исследованных бензинах, кроме бензина из гюргянской нефти, содержание нафтеновых углеводородов преобладает над содержанием парфиновых углеводородов. Среди нафтеновых углеводородов циклогексановые преобладают над циклопентановыми. Среди парфиновых углеводородов преобладают углеводороды изостроения. Что касается ароматических углеводородов, то содержание их крайне незначительно (кроме бензина карачухурской нефти нижнего отдела).

С точки зрения сырья для химической промышленности, особый интерес имеет большое содержание в ряде бензинов циклогексана и метилциклогексана.

#### ЛИТЕРАТУРА

1. Зизин В. Г. и Ясиопольский В. Д. АНХ, № 7, 1955.

#### ОРГАНИЧЕСКАЯ ХИМИЯ

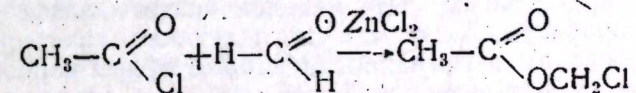
Б. Ф. ПИШНАМАЗЗАДЕ, Ш. Д. ГУЛИЕВА

### АЛКИЛИРОВАНИЕ ХЛОРМЕТИЛОВЫХ ЭФИРОВ КАРБОНОВЫХ КИСЛОТ ЭТИЛЕНОВЫМИ УГЛЕВОДОРОДАМИ

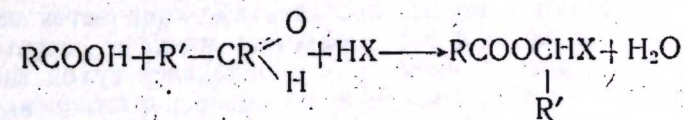
(Представлено академиком АН Азербайджанской ССР М. Ф. Нагиевым)

Продолжая исследование в области алкилирования простых альфа-хлорметиловых эфиров [8, 10, 11], мы решили изучить склонность к алкилированию сложных альфа-хлорметиловых эфиров алканами.

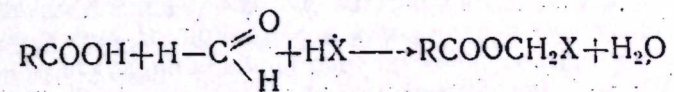
Физико-химические свойства простых галоидоэфиров и методы их получения хорошо известны в литературе [4—7, 9, 12, 14—16, 20, 23]; что же касается галоидоэфиров карбоновых кислот, то о них имеются очень скучные данные: среди них более или менее были изучены бета-и гаммагалоидоэфиры карбоновых кислот [2, 3, 13, 19]; синтезированы лишь отдельные представители альфагалоидоэфиров карбоновых кислот; так, например, синтез альфа-хлорметилового эфира уксусной кислоты был осуществлен, исходя из ацетилхлорида и триоксиметилен, в присутствии хлористого цинка, согласно нижеописанной реакции [19]:



Для синтеза альфа-хлорметиловых эфиров карбоновых кислот был использован существующий метод получения простых альфагалоидоэфиров [4]; реакция проводилась с участием карбоновых кислот, альдегида и галоидоводорода в присутствии хлористого цинка. Реакция протекала согласно нижеописанной схеме и при этом получались альфагалоидиловые эфиры карбоновых кислот:



Так, если в качестве альдегида взят формальдегид, то образуется галоидометиловый эфир карбоновой кислоты

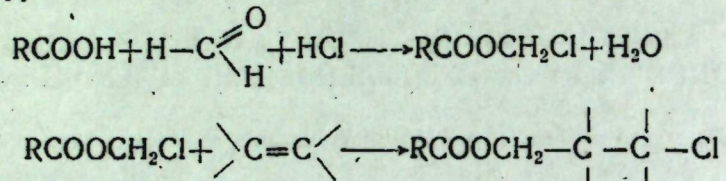


Изучение свойств синтезированных альфагалоидоэфиров карбоновых кислот показало, что они менее устойчивы, чем альфагалоидометилалкиловые эфиры, поэтому индивидуализация их связана с большими трудностями.

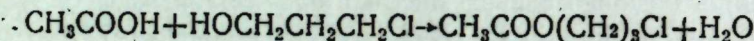
Для осуществления синтеза альфаалхорметиловых эфиров карбоновых кислот в качестве исходного сырья были взяты: уксусная, пропионовая, масляная, изовалериановая, капроновая, энантовая и трихлоруксусная кислоты, триоксиметилен и хлористый водород.

При этом были изучены свойства выделенного хлорметилового эфира пропионовой, масляной, изовалериановой, капроновой, энантовой и трихлоруксусной кислот (см. табл. 1). Методика синтеза последних описана ниже.

При алкилировании хлорметилового эфира карбоновых кислот алкенами получаем гаммаалхоралкиловые эфиры карбоновых кислот, согласно уравнению:



Однако следует отметить, что в химической литературе известен лишь единственный метод синтеза гаммагалоидалкиловых эфиров карбоновых кислот, заключающийся в действии галоидогидринов или дигалоидопроизводных алканов на карбоновые кислоты [1], их соли [21] или галоидангидриды кислот [18, 22]. Так, например, синтез гаммаалхорпропилового эфира уксусной кислоты производился действием уксусной кислоты на триметиленхлорид по схеме:



Как видно из приведенной выше реакции, область синтеза гаммагалоидалкиловых эфиров карбоновых кислот не может быть расширена; осуществление же простым методом синтеза альфаалхорметиловых эфиров карбоновых кислот и последующее алкилирование их алкенами с переводом в гаммаалхоралкиловые эфиры карбоновых кислот, безусловно, имеет значение. Чтобы избежать трудности выделения альфагалоидметиловых эфиров карбоновых кислот из реакционной массы, последние там же, в реакционном сосуде, без разделения подвергались алкилированию соответствующим алкеном.

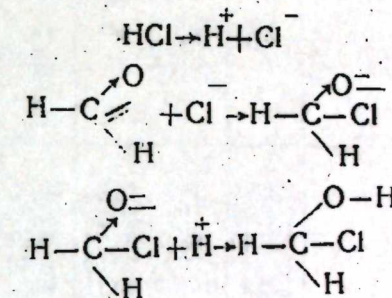
### 1. Синтез альфаалхорметиловых эфиров карбоновых кислот

Для ведения реакции взяты эквивалентные количества карбоновой кислоты, триоксиметилен и 3% хлористого цинка в расчете на взятое количество кислоты и через них пропускался сухой ток хлористого водорода до тех пор, пока не прекращалось растворение последнего; при этом необходимо охлаждение реакционной смеси до минус 10–15°C (лед+соль).

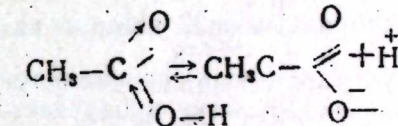
Триоксиметилен растворяется в реакционной смеси с образованием прозрачной жидкости, делящейся на два слоя. При этом до масляной кислоты включительно отслывания в реакционной смеси не происходит, что объясняется способностью растворения продукта реакции (воды и хлорэфира) в реакционном компоненте.

По закону действующих масс с увеличением концентрации HCl в реакционной среде равновесие реакции смещается в сторону образования альфаалхорметилового эфира карбоновой кислоты, так как часть полученной от реакции воды расходуется на образование комплекса с хлористым водородом типа HCl·2H<sub>2</sub>O, что позволяет альфаалхорметиловому эфиру карбоновых кислот существовать в реакционной смеси.

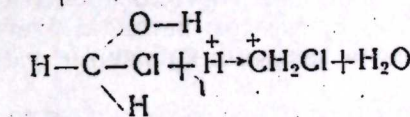
Механизм образования альфаалхорметиловых эфиров карбоновых кислот можно представить таким образом: кислород муравьиного альдегида, находясь под влиянием своей неподеленной пары электронов, вступает в реакцию с ионами хлористого водорода, при этом образуется метиленхлоридрин



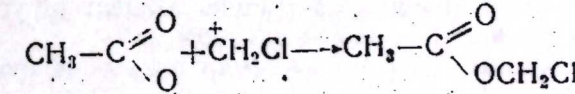
В таком же порядке идет ионизация карбоновых кислот; так, например, в случае уксусной кислоты ионизация ее представляется следующим образом:



В дальнейшем протон, т. е. атом водорода, лишенный электрона (H<sup>+</sup>), видимо, вступает в реакцию, используя при этом для образования гомеополярной связи необобщенную электронную пару атома кислорода неустойчивого соединения — метиленхлоридрина, образуя при этом воду и ион метилхлорида (CH<sub>3</sub>Cl<sup>+</sup>)



В свою очередь катион метилхлорида вступает в реакцию с анионом уксусной кислоты, образуя альфаалхорметиловый эфир уксусной кислоты:



С точки зрения современных представлений, подвижность хлора в альфаалхорметиловых эфирах карбоновых кислот можно объяснить нуклеофильностью гидроксильного кислорода, отдающего свои неподеленные электронные пары алкоксильной группе.

Однако, связь между карбоксильной и хлорметильной группами слабее, чем связь между алкоксильной и хлорметиленовой группами (в альфаалхорметилалкиловых эфирах).

п 17529

Альфахлорметиловые эфиры карбоновых кислот — жидкости с едким запахом, дымящие на воздухе, неустойчивы относительно температуры и разлагаются в водной среде на свои компоненты.

Характеристика выделенных альфахлорметиловых эфиров карбоновых кислот дается в таблице 1.

Таблица 1

Характеристика альфахлорметиловых эфиров карбоновых кислот

Альфахлорметиловые эфиры	$n_D^{20}$	$d_4^{20}$	$\sigma^{20}$	MR		(P)		Выход, %
				Найдено	Вычислено	Найдено	Вычислено	
Пропионовой кислоты	1,4295	1,1824	36,58	26,73	27,19	254,1	255,6	—
Масляной кислоты	1,4195	1,094	28,80	31,52	31,81	268,9	295,6	—
Изовалериановой кислоты	1,4140	1,0347	28,94	36,34	36,43	337,37	335,6	95,68
Капроновой кислоты	1,4212	1,0088	29,59	41,49	41,05	380,6	375	89,32
Энантовой кислоты	1,425	0,9967	30,11	45,84	45,67	419,53	415,6	98,61
Трихлоруксусной кислоты	1,4690	1,5619	34,98	37,79	37,17	330	328,4	88,68

2. Синтез гаммахлоралкиловых эфиров карбоновых кислот

Через охлажденную (лед+соль) реакционную смесь альфахлорметиловый эфир карбоновой кислоты пропускается сухой ток алкена (сушка хлористым кальцием).

В качестве алкена были взяты пропилен, бутен-1 и изобутилен.

Со вступлением алкена в реакцию в реакционной смеси происходит перемещение слоев жидкости с незначительным помутнением; спустя некоторое время на поверхности реакционной смеси образуется мутный слой, который, постепенно увеличиваясь, становится прозрачным.

После стояния реакционной смеси в течение суток она обрабатывалась 2 раза 10 % раствором  $\text{Na}_2\text{CO}_3$ , промывалась дистиллированной водой и высушивалась сульфатом натрия. Перегонка велась на ректификационной колонке в вакууме; собранные узкие фракции детально исследовались.

Изучение продукта алкилирования показало, что кроме основного продукта реакции алкилирования — гаммахлоралкилового эфира карбоновых кислот образуются монохлоралкил, сложный эфир метиленгликоля, хлоргидрин, гаммагаммаштрихихлордиалкиловый эфир. Образование этих побочных продуктов реакции зависит от условий проведения опытов, а также от природы алкенов.

Константы некоторых синтезированных сложных эфиров гаммахлоргидринов даются в таблице 2.

Синтезированные гаммахлоралкиловые эфиры карбоновых кислот представляют собой жидкости с приятным запахом. Все эти эфиры являются устойчивыми соединениями, от действия щелочи омыляются с образованием солей карбоновых кислот и гаммахлоргидринов.

В результате проведенного исследования выявлены пути синтеза гаммахлоралкиловых эфиров карбоновых кислот и синтезированы альфахлорметиловые эфиры карбоновых кислот на базе уксусной, пропионовой, масляной, изовалериановой, капроновой, энантовой и трихлор-

Таблица 2

Некоторые константы синтезированных гаммахлоралкиловых эфиров карбоновых кислот

Формула	Т-ра °C	Давле- ние м.м. рт. ст.	$n_D^{20}$	$d_{20}^{20}$	MR		Мол. вес.	(P)	Cl, %
					Найдено	Вычислено			
$\text{CH}_3\text{COOCH}_2\text{CH}_2\text{CH}_2\text{CHClCH}_3$	41—42,5	2	1,4320	1,0624	32,35	36,74	36,43	147,23	150,5
$\text{CH}_3\text{COOCH}_2\text{CH}_2\text{CHClCH}_2\text{CH}_3$	45,5—47	1	1,4380	1,0514	33,56	41,07	41,05	148,33	164,5
$\text{CH}_3\text{COOC}_2\text{CH}_2\text{CH}_2\text{CH}_2\text{C}_2\text{H}_5$	45—46,5	1,5	1,4365	1,0498	32,55	41,01	41,05	162,34	164,6
$\text{CH}_3\text{COOC}_2\text{CH}_2\text{CH}_2\text{CH}_2\text{C}_2\text{H}_5$	65—66,5	5	1,4270	1,0333	32,61	40,87	41,05	161,9	164,5
$\text{CH}_3(\text{CH}_2)_2\text{COOCH}_2\text{CH}_2\text{CH}_2\text{CH}_2\text{CH}_3$	69—70	1	1,4406	1,0083	32,15	50,37	50,28	193,7	192,5
$(\text{CH}_3)_2\text{CHCH}_2\text{COOCH}_2\text{CH}_2\text{CH}_2\text{CH}_2\text{CH}_3$	86—90	2	1,4400	11,9909	31,67	54,92	54,90	204,5	206,5
$\text{CH}_3(\text{CH})_2\text{COOCH}_2\text{CH}_2\text{CH}_2\text{CH}_2\text{CH}_3$	107—109	2	1,4440	1,9793	31,67	59,81	59,52	219,2	220,6
$\text{C}_2\text{H}_5\text{COOCH}_2\text{CH}_2\text{CH}_2\text{CH}_2\text{CH}_3$	94—96	2	1,4760	1,3420	40,82	56,32	55,65	266,7	262
								266,9	266,9

уксусной кислоты. Благодаря способности последних к алкилированию алкенами синтезировано и охарактеризовано восемь представителей гаммахлоралкиловых эфиров карбоновых кислот (см. табл. 2).

## ЛИТЕРАТУРА

1. Аллен Ч. и Спэнглер Ф. Синтез органических препаратов. Сб. 4, 538, 1953.
2. Гольдфарб Я. Л. и Сморконский Л. М. ЖОХ, т. 8, 1938.
3. Куниниц И. Л., Кильдишева О. В. и Босховская Э. ЖОХ, т. 19, 1949.
4. Курсанов Д. Н. и Сеткина В. Н. ЖПХ, т. XVI, в. 1—2, 1943.
5. Лихошерстов М. В. и Петров А. А. ЖПХ, т. V, 1935.
6. Лихошерстов М. В. и Петров А. А. ЖОХ, т. 9, 1939.
7. Лихошерстов М. В., Архангельская Р. А. и Шалеват В. ЖОХ, т. 9, 1939.
8. Мамедов Ш. и Пишиамазаде Б. Ф. "Изв. АН Азерб. ССР", № 6, 1947.
9. Петров А. А. ЖОХ, т. 8, 1938.
10. Пишиамазаде Б. Ф. Тр. Ин-та химии АН Азерб. ССР, т. XIII, 1954.
11. Пудовик А. Н. и Арбузов Б. А. "Изв. АН СССР" ОХН, № 4, 1946.
12. Сукневич И. Ф. и Чилингарян А. А. ЖПХ, т. 2, 1934.
13. Титов А. И. и Макляев Ф. А. ЖОХ, т. 24, 1954.
14. Тяжелова А. А. ЖОХ, т. 18, 1948.
15. Ушакова М. Н., Чистов В. О. и Шлосберг М. А. ЖОХ, т. 5, 1935.
16. Шостаковский М. Ф. Простые виниловые эфиры. Изд. АН СССР, М., 1952.
17. Compt. rend., 132, 1568, 1901.
18. Derick, Bissell I. Am. Chem. Soc., 38, 2483, 916.
19. Fred C. Weier, G. T. Hennion and R. R. Vogt. I. Am. Chem. Soc., 61, 1457, 1939.
20. Hengg. Ber., 26, 933, 1893.
21. Hengg. C. A., 1, 169, 1907.
22. Lespieau, Bull. Soc. Chim. France, 7, 254, 1940.
23. Litterscheid. Ann., 330, 109, 1904.

Институт нефти АН  
Азербайджанской ССР

Поступило 3. VII 1956

Б. Ф. Пишиамазадэ, Ш. Д. Гулиева

## Карбон туршулары алфахлорметил эфирләринин этилен карбонидрокенләри илә алкилләширилмәси

### ХҮЛÄСЭ

Буидан ғабаг дәрч олунмуш мәгаләмиздә садә алфахлорметил эфирләрindән алкилләшмәйолу илә гаммахлорэфирләре кечмәк үсулу верилмиши.

Бу мәгаләмиздә исә алфахлорметилалкил эфирләринин алкилләшмә үсулuna истинад әдәрәк биратомлу карбон туршуларындан алфахлорметил эфирләри алмагла, мүрәккәб гаммахлоралкил эфирләринин синтези гарышда дурур.

Буна көрә дә илк нөвбәдә мүрәккәб алфахлорметил эфирләринин алынма үсулunu мүәййәнләшдирилмәк вә тәкмилләшдирилмәк мәсәләси мәгаләдә әсас мәсәләләрдән бири олуб мүәййән башлыг алтында алынма үсулу гейд әдилмиши.

1-чи чәдвәлдә биратомлу мұхтәлиф карбон туршуларындан алынмыш алфахлорметил эфирләринин сабитләри верилмишdir.

Сиркә, пропион, яғ, изовалериан, капрон вә үчхлорлу сиркә туршуларындан алынмыш алфахлорметил эфирләри пропилен, изобутилен вә бутен-1 илә алкилләширилдикдә, алкилләшмә мәһсүлу олан мүрәккәб гаммахлорэфирләр алыныр ки, онларын да физики сабитләри 2-чи чәдвәлдә верилмишdir.

Алкилләшмә заманы алынмыш әлавә мәһсүлларын тәдгиги реакцияны кедишини вә алынан маддәләрин әмәлә кәлмә сәбәбини мүәййәнләшдирилмәйә имкан вермишdir.

Беләниклә, апарылан тәдгигат нәтичәсиндә мүрәккәб гаммахлорэфирләрин 8 нумайәндәси синтез әдилмишdir.

## КОЛЛОИДНАЯ ХИМИЯ

А. Г. МИСКАРЛИ, Т. Г. ГАСАНОВА

## ВЛИЯНИЕ ДОБАВКИ ХИМИЧЕСКИХ РЕАГЕНТОВ НА СТРУКТУРНО-МЕХАНИЧЕСКИЕ СВОЙСТВА ГЛИНИСТЫХ РАСТВОРОВ

(Представлено академиком АН Азербайджанской ССР М.-А. Кашиаем)

На большинстве нефтяных месторождений Азербайджана промывочные глинистые растворы приготавляются из небентонитовых кальциевых глин, затворенных на морской воде.

Для улучшения качества таких растворов широко применяется химическая обработка последних различными химическими реагентами — пептизаторами и стабилизаторами. Эти реагенты в значительной степени нейтрализуют коагулирующее действие солей морской воды и, адсорбируясь на поверхности глинистых частиц, часто изменяют состав обменного комплекса и тем самым изменяют величину и свойства адсорбционно-сольватных оболочек глинистых частиц, сильно гидрофилизируя последние. Благодаря этому глинистые агрегаты расходятся на более тонкие фракции — первичные глинистые частицы, которые обладают высокими коллоидно-химическими и структурообразующими свойствами в их водных суспензиях.

На основе исследований П. А. Ребиндера, К. Ф. Жигача, В. С. Барапова, Н. Н. Серб-Сербиной и их сотрудников [1, 2, 3, 4, 5, 6] в значительной степени выяснены механизм действия некоторых щелочных реагентов на водоотдачу и структурно-механические свойства глинистых растворов.

Следует отметить, что ввод химических реагентов и электролитов в глинистые растворы зачастую вызывает коренное изменение их свойств, особенно структурно-механических [3, 4]. Между тем до сих пор влияние добавок химических реагентов на пластично-вязкостные свойства промывочных глинистых растворов исследовано еще недостаточно.

В данной работе приведены результаты исследования действия различного рода химических реагентов на форму структурообразования и прочность возникающей структуры в глинистых растворах в зависимости от вида и концентрации химических реагентов, коллоидно-химической природы и минералогического состава глин.

## ЭКСПЕРИМЕНТАЛЬНАЯ ЧАСТЬ

Для изучения влияния добавок химических реагентов и электролитов на структурно-механические свойства глинистых растворов нами применялся следующий метод: в каждой серии опытов сначала приготавливались исходные глинистые растворы из заданных количеств

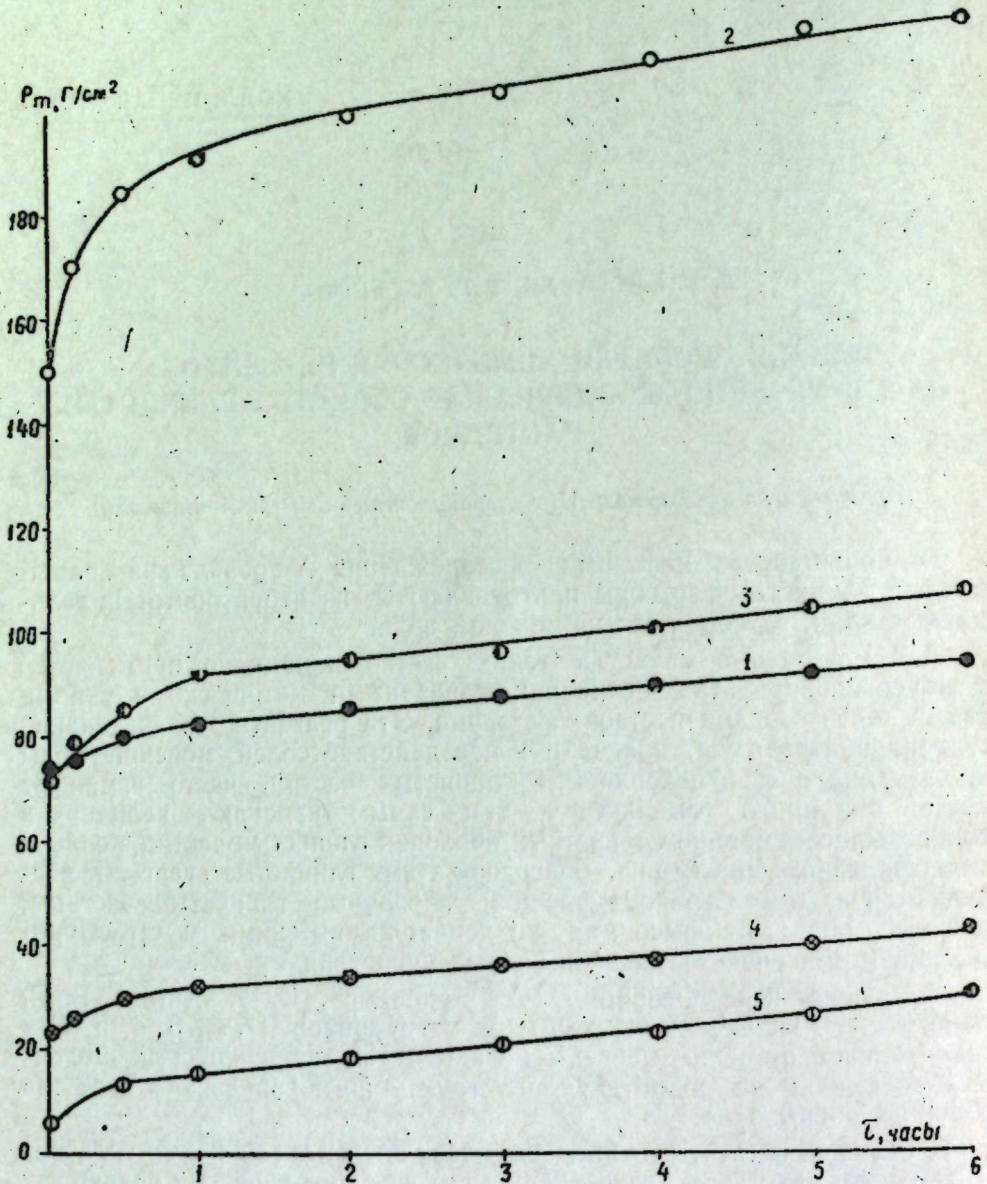


Рис. 1. 15% раствор гекмалинской глины

Кинетика структурообразования в глинистых растворах, содержащих добавки NaOH, %: 1—0; 2—0.5;

3—1.0; 4—1.5; 5—2.0.

глины и воды; затем, в следующих опытах этой серии изменялся только состав жидкой фазы (воды) путем ввода в ее состав необходимого количества исследуемого реагента, причем объем жидкой фазы глинистых растворов оставался неизменным. По нашему мнению, такая методика позволяет более четко выяснить действие исследуемых химических реагентов.

В качестве химических реагентов и электролитов применялись: углешелочный реагент (УЩР), сульфитно-спиртовая барда (ССБ), карбоксиметилцеллюлоза (КМЦ), гексаметаfosfat натрия (ГМФН) и едкий натр.

Для количественной характеристики тиксотропии и структурно-механических свойств исследуемых глинистых растворов по величине их предельного напряжения сдвига применялся видоизмененный нами конический пластометр.

Вкратце остановимся на полученных нами данных, которые характеризуют роль и значение отдельных реагентов в улучшении и регулировании тиксотропии и структурно-механических свойств глинистых растворов, приготовленных из натриевой бентонитовой гекмалинской или гидрослюдисто-каолиновой кальциевой зыхской глин.

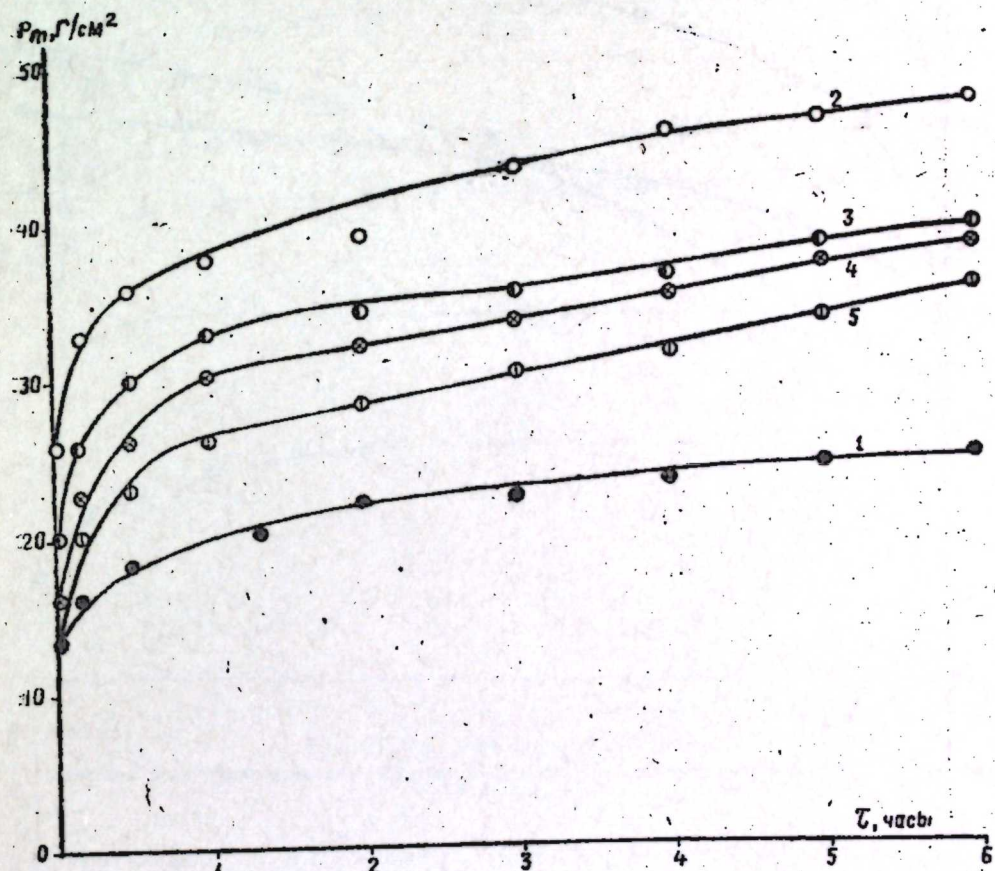


Рис. 2. 30% раствор зыхской глины

Кинетика структурообразования в глинистых растворах, содержащих NaOH, %: 1—0; 2—0.5; 3—1.0; 4—1.5; 5—2.0.

Кривые рисунков 1 и 2 характеризуют кинетику структурообразования в глинистых суспензиях из гекмалинской и зыхской глин в присутствии добавки едкого натра.

Из этих кривых следует, что характер действия и прочность структуры в исследуемых глинистых растворах в значительной степени зависят от концентрации едкого натра. Так, например, при малых концентрациях (0,5 %) щелочи обладают весьма сильно диспергирующим действием, в результате чего происходит гидрофильная коагу-

ляция, сопровождающаяся сильным тиксотропным структурообразованием в исследуемых глинистых растворах.

Однако дальнейшее увеличение концентрации едкого натра ( $>1\%$ ) приводит к резкому понижению прочности структуры с утратой тиксотропных свойств.

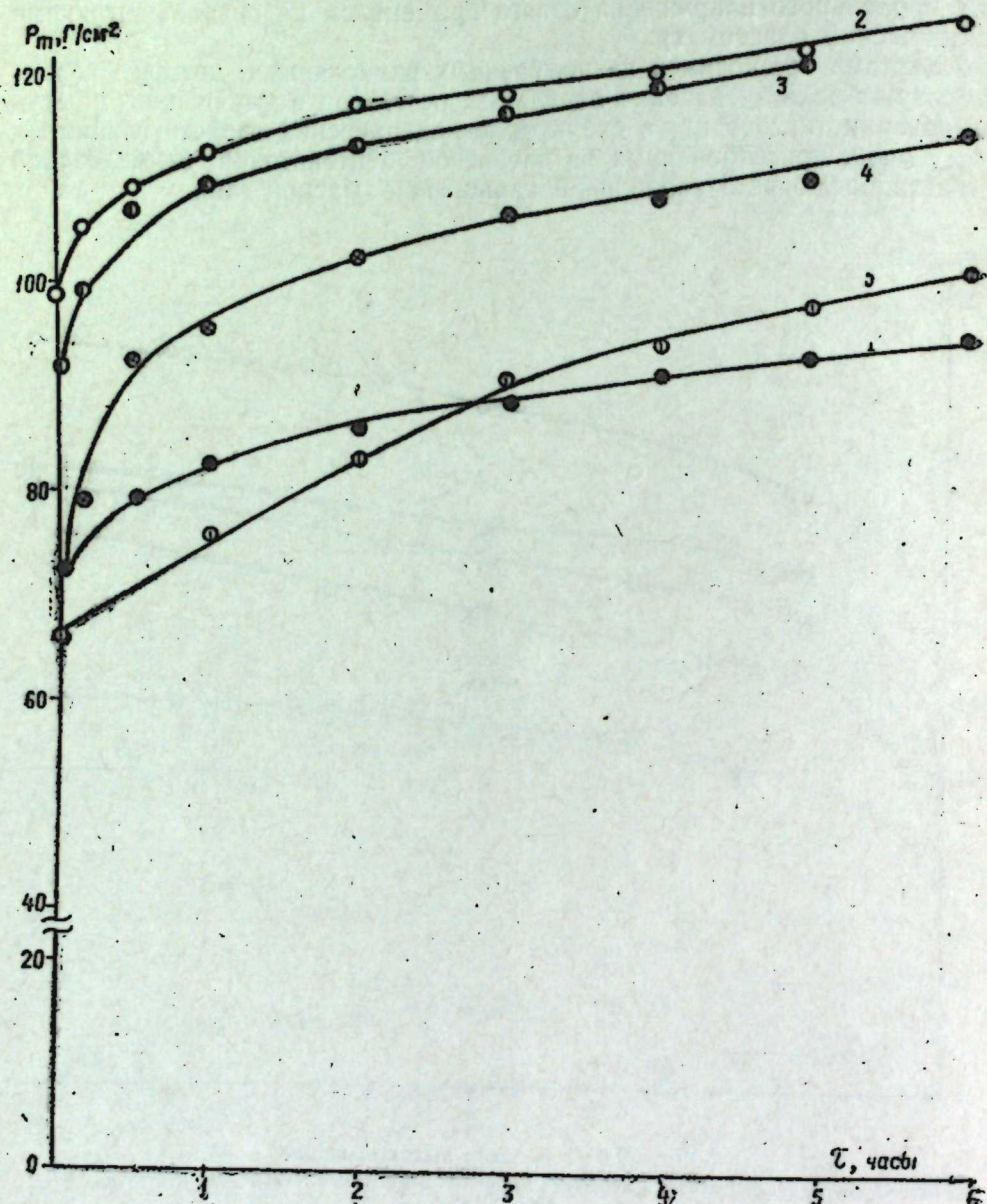


Рис. 3. 15% раствор гекмалинской глины

Кинетика структурообразования в глинистых растворах, содержащих добавки УЩР, %: 1—0; 2—0,5; 3—1,0; 4—1,5; 5—2,0.

Из кривых рисунков 1 и 2 также видно, что увеличение концентраций щелочи весьма резко понижает величины предельного напряжения сдвига супензий из бентонитовой гекмалинской глины в отличие от супензии кальциевой зыхской глины. Несмотря на то, что в исследуемых супензиях из зыхской глины содержание твердой фазы (глины) примерно в 2 раза больше, чем в супензиях гекмалинской

глины, прочность структуры первых, содержащих добавки едкого натра, в 2–3 раза слабее, чем прочность супензий из гекмалинской глины. Это указывает на ту существенную роль, которую играют минералогический состав и коллоидно-химическая природа исследуемых глин в процессе структурообразования в глинистых растворах.

Кривые рисунков 3 и 4 характеризуют кинетику структурообразования в глинистых растворах из гекмалинской и зыхской глин, содержащих различные концентрации гумата натрия.

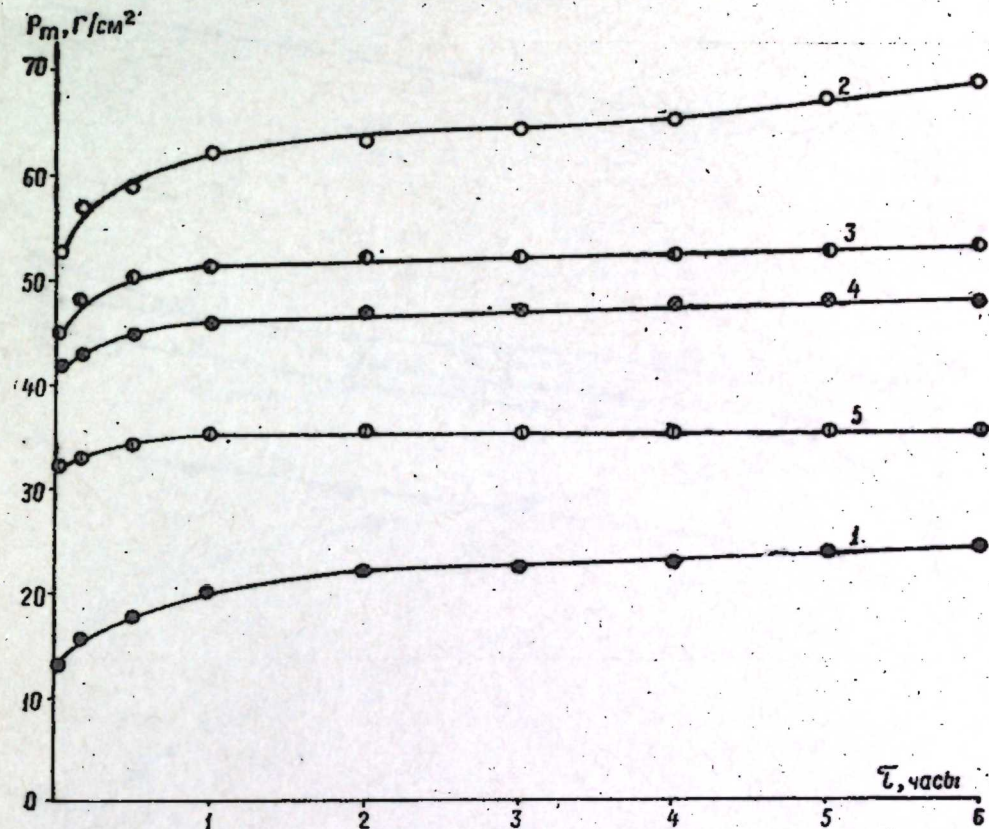


Рис. 4. 30% раствор зыхской глины  
Кинетика структурообразования в глинистых растворах, содержащих добавки УЩР, %: 1—0; 2—0,5;  
3—1,0; 4—1,5; 5—2,0.

Как видно из этих кривых, влияние добавки гумата натрия на величину предельного напряжения сдвига и форму структурообразования исследуемых глинистых растворов зависит прежде всего от концентрации гумата натрия. Добавки УЩР в оптимальных концентрациях (0,5–1,0 %) оказывают сильное пептизирующее действие на глинистые растворы и последние приобретают высокие тиксотропные свойства.

По мере увеличения концентрации УЩР закономерно уменьшается прочность структуры глинистых растворов. Это явление объясняется тем, что щелочные реагенты: УЩР, КМЦ и едкий натр в больших концентрациях способствуют блокировке активных центров сцепления глинистых частиц за счет утолщения сольватных оболочек и тем самым понижают прочность структуры и разжижают глинистые растворы.

На рисунках 5–8 приводятся кривые, показывающие действие ГМФН и ССБ на кинетику структурообразования глинистых растворов. Из этих кривых видно, что наиболее высокое значение предельного напряжения сдвига обнаруживается у высококонцентрированной суспензии из гекмалинской бентонитовой глины, содержащей небольшое количество ГМФН. Увеличение концентрации данного реагента способствует понижению прочности структуры глинистых растворов.

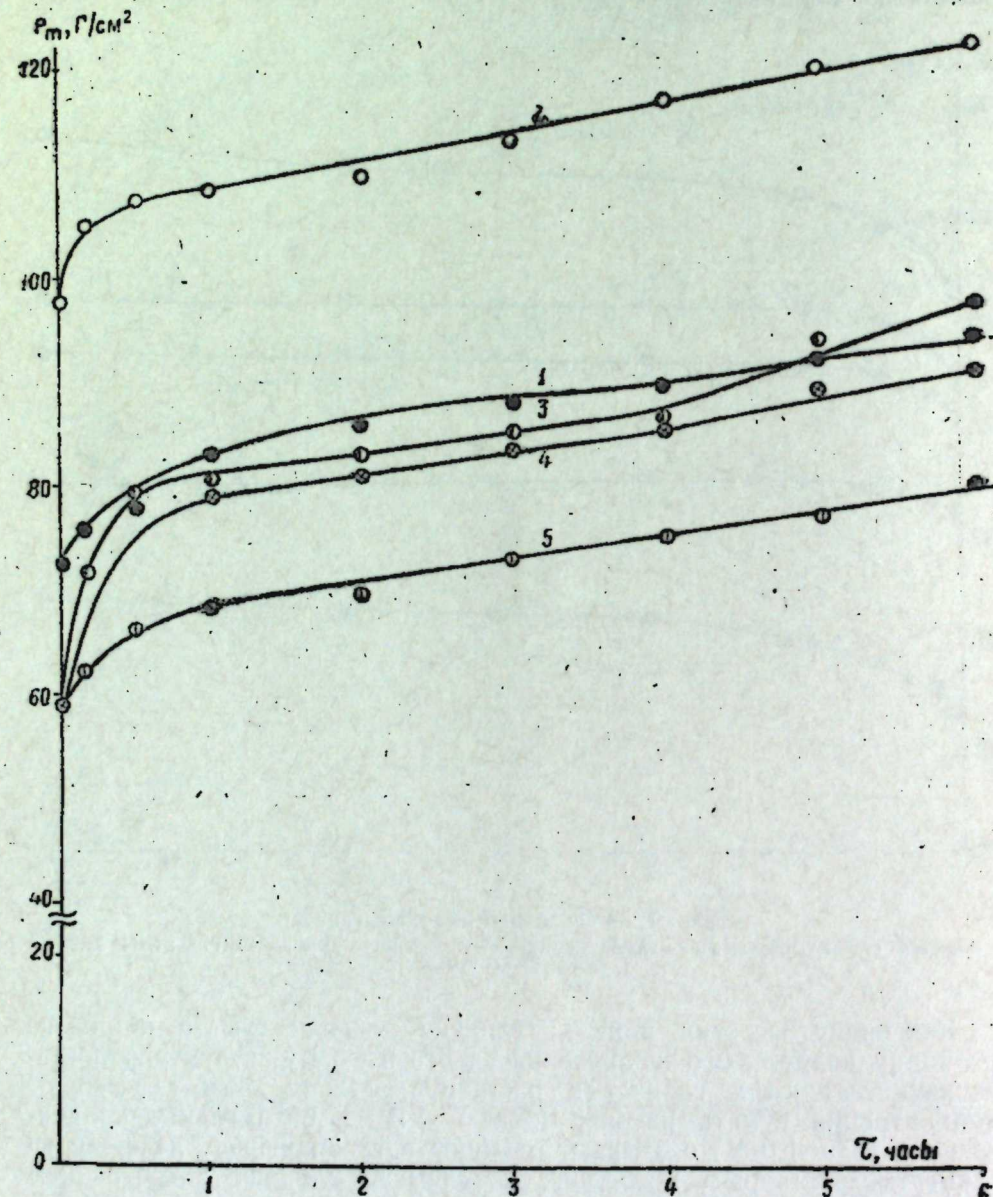


Рис. 5. 15% раствор гекмалинской глины

Кинетика структурообразования в глинистых растворах, содержащих добавки ГМФН, %:  
1—0; 2—0,5; 3—1,0; 4—1,5; 5—2,0.

Добавки ГМФН в глинистые растворы из зыхской глины во всех исследованных нами концентрациях реагента приводят к закономерному понижению прочности структуры, не изменяющейся во врем-

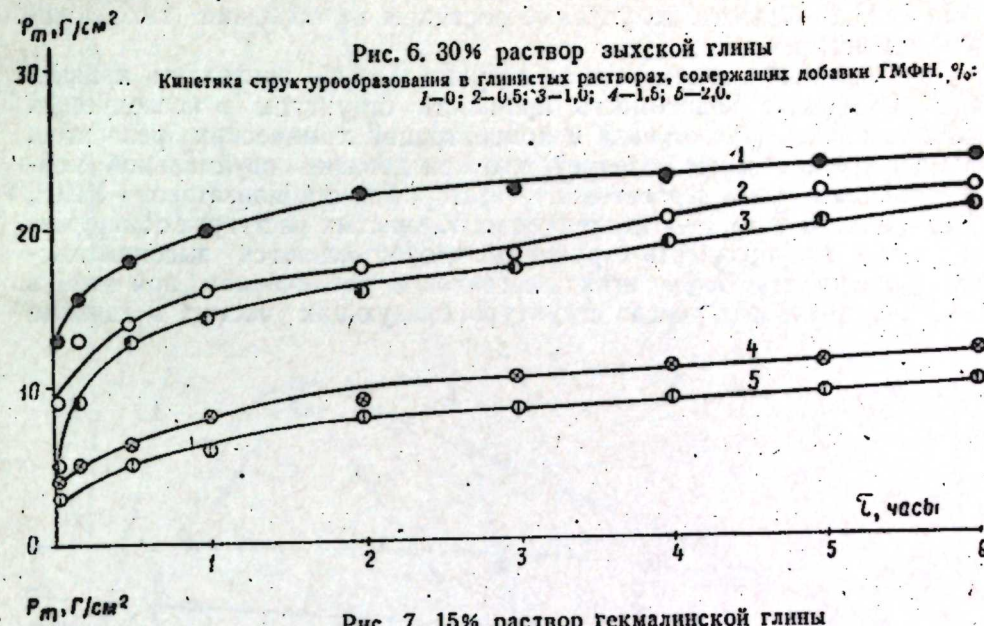


Рис. 6. 30% раствор зыхской глины

Кинетика структурообразования в глинистых растворах, содержащих добавки ГМФН, %:  
1—0; 2—0,5; 3—1,0; 4—1,5; 5—2,0.

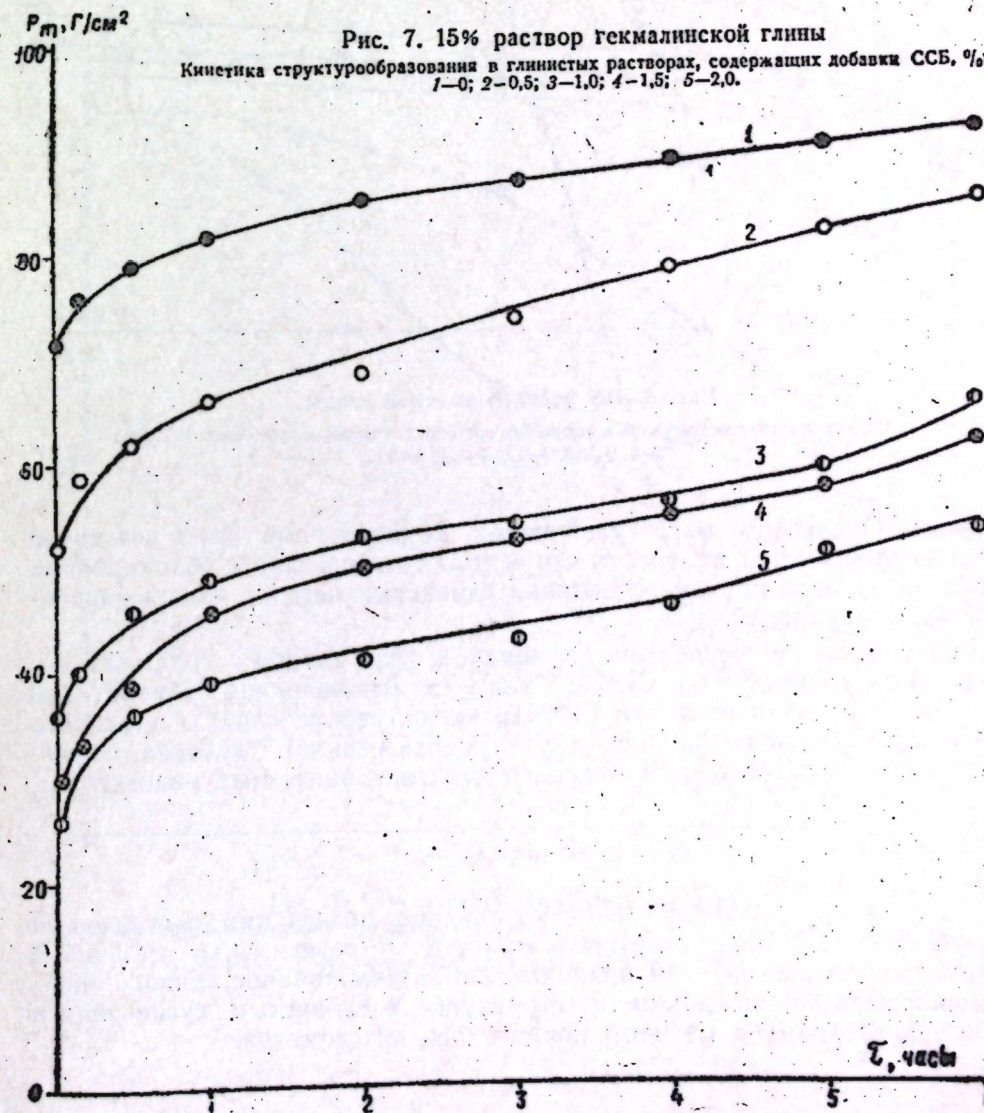


Рис. 7. 15% раствор гекмалинской глины

Кинетика структурообразования в глинистых растворах, содержащих добавки ССБ, %:  
1—0; 2—0,5; 3—1,0; 4—1,5; 5—2,0.

мени; следовательно, полученные растворы не обладают тиксотропными свойствами.

Для большей наглядности на рисунках 9 и 10 приведены кривые, характеризующие зависимость прочности структуры в исследуемых глинистых растворах от вида и концентрации химических реагентов. Из этих кривых также следует, что при добавке оптимальной концентрации щелочных реагентов: пептизаторов и стабилизаторов—УШР, КМЦ и едкого натра,—в исследуемых глинистых растворах обнаруживается высокая прочность структуры, что объясняется высоким диспергирующим действием этих реагентов и увеличением при этом в глинистых растворах числа структурообразующих частиц в единице

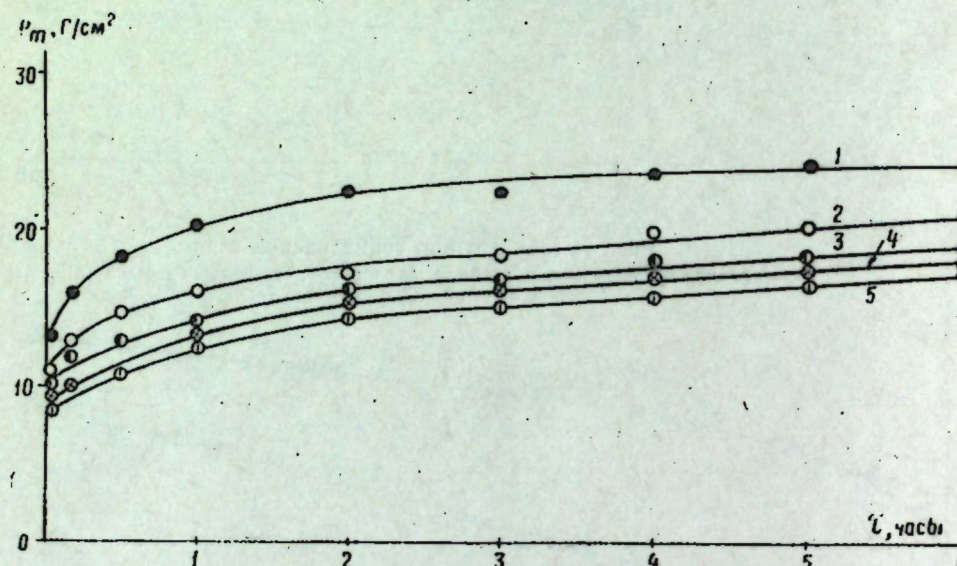


Рис. 8. 30% раствор зыхской глины

Кинетика структурообразования в глинистых растворах, содержащих добавки ССБ, %:  
1—0; 2—0,5; 3—1,0; 4—1,5; 5—2,0.

объема. Однако по мере увеличения концентрации этих реагентов сильно понижается прочность структуры, что связано с блокировкой коагуляционных центров сцепления глинистых частиц или гидрофобной их коагуляцией.

Глинистые же суспензии, в жидкой фазе которых содержатся в различной концентрации ССБ и ГМФН (за исключением бентонитовой суспензии с малой добавкой ГМФН), имеют весьма слабую прочность структуры (нетиксотропное структурообразование), которая объясняется отсутствием пептизирующего действия указанных реагентов.

### Выводы

1. В данной работе исследовано влияние химических реагентов на пластично-вязкостные свойства растворов, в зависимости от вида и концентраций реагентов и природы глини, путем количественного определения нарастания прочности структуры в глинистых суспензиях в функции от времени методом конического пластометра.

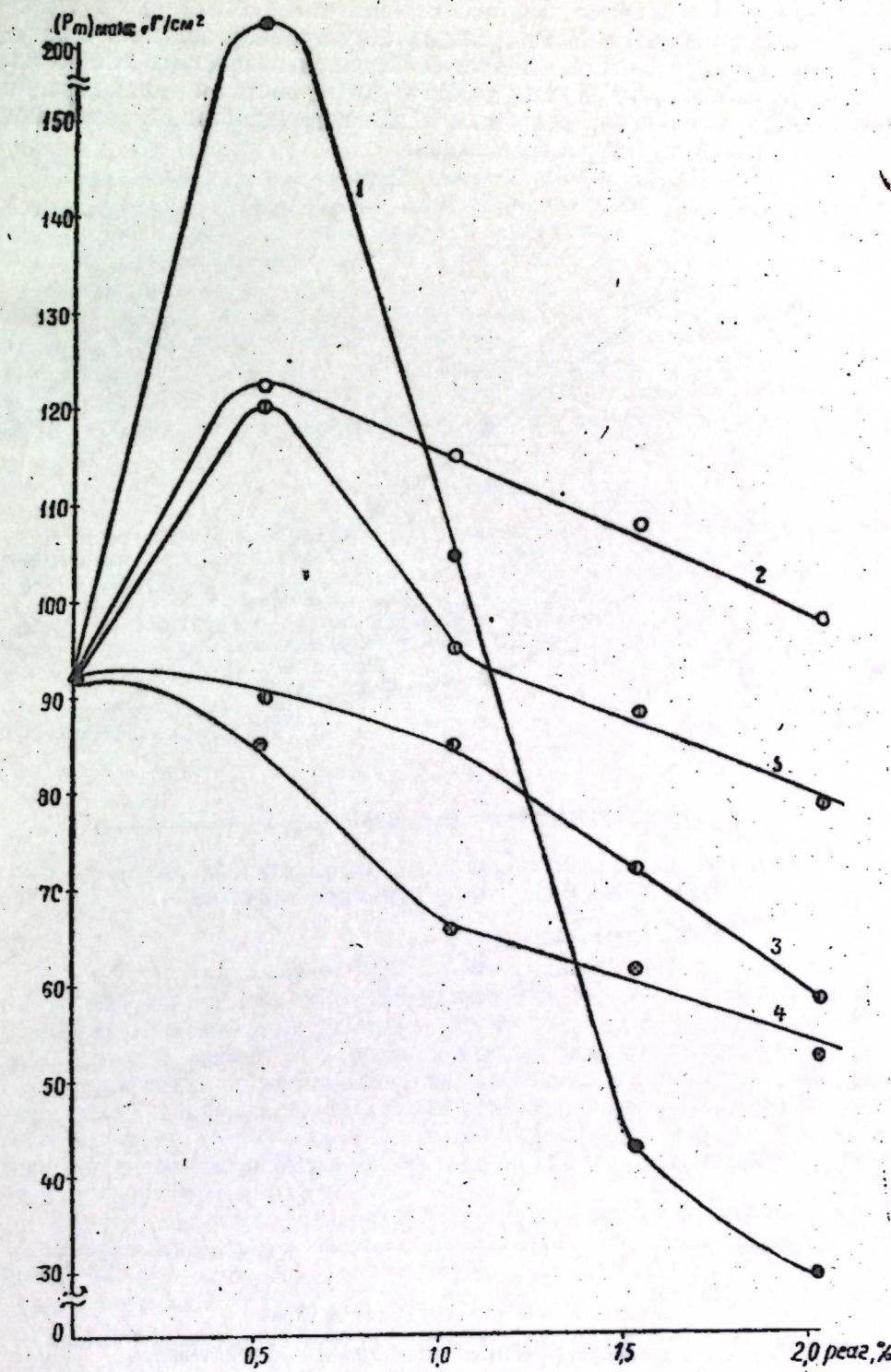


Рис. 9. 15% раствор гекматинской глины  
Зависимость предельного напряжения сдвига глинистых растворов от вида добавки реагента и его концентрации  
1—NaOH; 2—УШР; 3—КМЦ; 4—ССБ; 5—ГМФН.

Показано, что добавки химических реагентов позволяют в широких пределах управлять тиксотропным структурообразованием и регулировать структурно-механические свойства в глинистых растворах.

2. Установлено, что в зависимости от свойств и концентрации добавляемых химических реагентов в глинистых растворах возникают различные типы структурообразования:

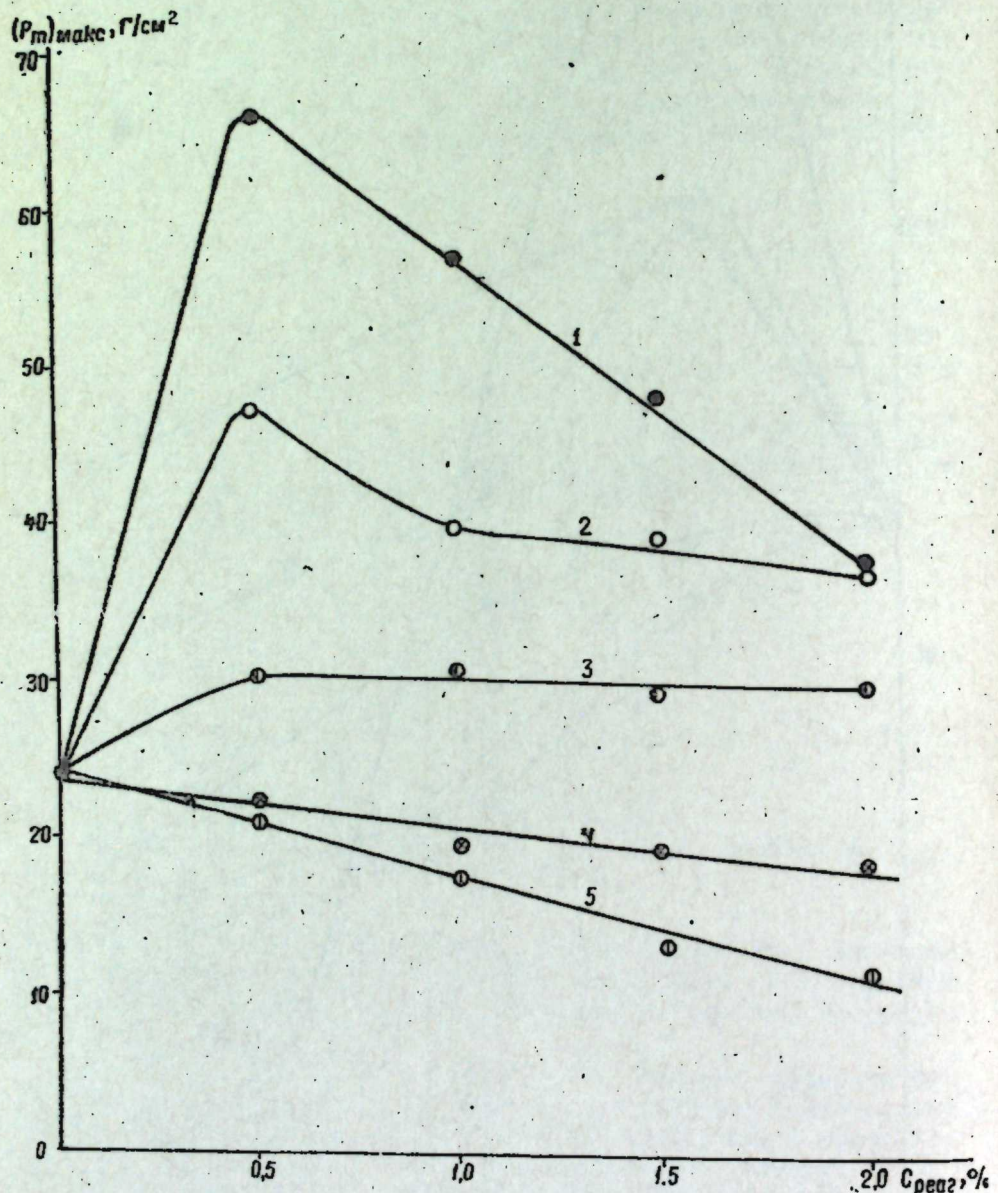


Рис. 10.30% раствор зыхской глины

Зависимость предельного напряжения сдвига глинистых растворов от вида добавки реагента и его концентрации: 1—NaOH; 2—УЩР; 3—КМЦ; 4—ССБ; 5—ГМФН.

а) исследованные в данной работе химические реагенты-стабилизаторы и пептизаторы: едкий натр, УЩР и КМЦ, добавленные в оптимальных количествах, оказывают диспергирующее действие на исследуемые глинистые растворы, при этом сильно увеличивается число структурообразующих частиц в единице объема, благодаря чему гли-

нистые растворы приобретают высокие тиксотропные свойства. Между тем, дальнейшее увеличение концентрации этих реагентов приводит к разрушению ранее образованной структуры и разжижению глинистых систем за счет резкого понижения предельного напряжения сдвига.

В отличие от высокого стабилизирующего действия УЩР и КМЦ более высокие концентрации едкого натра приводят к лиофобной коагуляции глинистых растворов, в результате чего у них начинает проявляться синерезис;

б) весьма слабое структурообразование обнаруживается в глинистых растворах, содержащих добавки ССБ и ГМФН. Глинистые суспензии, обработанные этими реагентами, обладают низкой величиной предельного напряжения сдвига. Такие дисперсные системы почти не имеют тиксотропных свойств, что можно объяснить отсутствием пептизирующего действия этих реагентов на глинистые частицы.

#### ЛИТЕРАТУРА

1. Баранов В. С. и Букс З. П. Химическая обработка глинистых растворов при бурении нефтяных скважин. Гостоптехиздат, 1945.
2. Жигач К. Ф. Докторская диссертация, 1942.
3. Мискари А. К. Тр. Ин-та химии АН Азерб. ССР, т. 9, 1952.
4. Мискари А. К. ДАН Азерб. ССР\*, т. VIII, № 4, 1952.
5. Ребиндер П. А. Статья в кн. «Новые о глинах и глинистых растворах, применяемых в бурении на нефть». Гостоптехиздат, 1940.
6. Серб-Сербина Н. Н. и Никитина С. А. «Колл. журн.», № 8, 1946.

Институт химии  
АН Азербайджанской ССР

Поступило 22. V 1956

А. Г. Мискари, Т. Н. Насирова

#### Килли мәһлүлларын структур-механики хассасында кимйәви реакентләrin тә'сири һагтында

#### ХУЛАСӘ

Килли мәһлүллара бә'зи үзви вә гейри-үзви кимйәви реакентләр әlavә этикдә онларын коллоидлий вә хүсусән бунлардан асылы олараг структур-механики хассасында әсаслы олараг дәйшилир.

Бу мәгаләдә бә'зи коллоид вә ярымколлоид кимйәви реакентләрин килли мәһлүлларда тиксотроп структур әмәлә кәтирмәси просесиндәki ролу тәдгиг әдилмишdir. Кимйәви реакентләrin концентрациясында вә хассасында асылы олараг килли мәһлүлларда мұхтәлиф типли структура әмәлә көлир.

Тәдгиг әдилмиш реакентләрдән һұмат-натриум, карбоксиметил-селлүлоза вә натриум әсасы оптималь концентрасияда килли мәһлүлларда йүксәк пептизәдичи тә'сир көстәриләр ки, бу да килли мәһлүлларда йүксәк тиксотроп структураларын әмәлә кәлмәсинә сәбәб олур. Һәмин реакентләrin максимал концентрасиясы килли мәһлүлларда әмәлә кәлән структураларын зәйфләшмәсінә сәбәб олур.

Килли мәһлүллара һексо-метаfosfat-натриум вә сулфит-селлүлоза реакентләри әlavә этикдә зәйф структура әмәлә көлир. Белә мәһлүллар өз тиксотроп хассасын итирир, бу да һәмин реакентләrin килләри пептизә эдә билмәдикләри илә изаһ әдилир.

ГИДРОДИНАМИКА

Ю. А. ИБАД-ЗАДЕ, С. П. КАЗАКОВ

ИССЛЕДОВАНИЯ ГИДРОМОНИТОРНЫХ СТРУЙ

(Представлено академиком АН Азербайджанской ССР З. И. Халиловым)

Гидромониторная струя имеет широкое производственное применение. К настоящему времени накоплено значительное количество эмпирических и полуэмпирических формул для расчета параметров струй. Однако решений, полностью удовлетворяющих практику, пока не имеется.

Задача настоящей статьи—до известной степени восполнить указанный пробел.

Исследование начнем с рассмотрения вертикальной компактной струи.

1. Применим к струе уравнение Бернулли

$$dz + \frac{dl}{\gamma} + d\left(\frac{v^2}{2g}\right) + Idz = 0. \quad (1)$$

Из опытов известно, что струя представляет собой среднестатистическое движение конечных жидких масс, пульсирующих и перемешивающихся между собой.

Уравнение (1) в данном случае должно учитывать макроскопическую картину этого среднестатистического движения конечных жидких масс. Поэтому под гидродинамическим давлением  $p$  в нашем случае нужно понимать давление среды, в которой происходит движение этих масс, т. е. атмосферное давление  $P_a$ .

Объемный вес  $\gamma$  также имеет здесь своеобразный смысл—это объемный вес конгломерата жидкого и воздушного вихревых потоков и поэтому имеет величину, отличную от обычно понимаемой в гидравлике. Примем эту величину постоянной вдоль струи и, тем самым, сохраним закон сплошности, непрерывности среднестатистического движения названных масс.

Наконец, гидравлический градиент примем изменяющимся вдоль струи и запишем его в форме:

$$I = 2A \frac{\lambda_o}{d_o} z, \text{ где} \quad (2)$$

$\lambda_o$ —коэффициент сопротивления по пути;

$d_o$ —диаметр насадки;

$A$ —коэффициент пропорциональности.

Таблица 1

Интегрируя уравнение (1) вдоль струи высотою  $S$  получим:

$$\int_0^S dz + \int_{P_0}^{P_a} \frac{dp}{\gamma} + \int_{v_0}^0 d \left( \frac{v^2}{2g} \right) + \int_0^S 2A \frac{\lambda_o}{d_o} z dz = 0,$$

откуда

$$S = \frac{v_0^2}{2g} - A \frac{\lambda_o}{d_o} S^2 \quad (3)$$

или

$$S = \frac{v_0^2}{2g} - IS; \quad (3')$$

$v_0$  — скорость при выходе из отверстия. Уравнение (3) является основным уравнением струи.

Исследуем уравнение (3):

а) при  $A=1$ , предположив

$$\frac{v_0^2}{2g} = \varphi H, \quad (4)$$

получим формулу высоты подъема струи в виде:

$$S = \varphi^2 H - \frac{\lambda_o}{d_o} S^2. \quad (5)$$

При  $\varphi = 1$  и  $\frac{\lambda_o}{d_o} = 0,0103$  из формулы (5) получим формулу Маринотта

$$H = S + 0,0103 S^2; \quad (6)$$

формулы (5) и (6) назовем формулами первого типа;

б) при  $A = \frac{H}{S}$

уравнение (3) дает:

$$S = \varphi^2 H - \frac{\lambda_o}{d_o} SH \quad (6')$$

или

$$S = H - \frac{\lambda_2}{d_o} SH, \quad (7)$$

где

$$\lambda_2 = \lambda_o \left( 1 + \frac{1 - \varphi^2}{\frac{\lambda_o}{d_o} S} \right). \quad (7')$$

Отсюда можно получить формулы Лобачева, Вейсбаха и Люгера. В самом деле, представив формулу (7) в виде:

$$S = \frac{H}{1 + \frac{\lambda_2}{d_o} H}, \quad (8)$$

получим формулу Лобачева [4], а при  $\frac{\lambda_2}{d_o} H = \eta$  получим формулу Вейсбаха:

$$S = \frac{H}{1 + \eta} = H \quad (8')$$

H	7	12	20	30,5
$\beta$	0,840	0,835	0,805	0,725

Значение  $\beta$  приведено в таблице 1.

Если предположить, что  $\frac{\lambda_2}{d_o} = \varphi_k$ , то из формулы (8) получим формулу Люгера:

$$S = \frac{H}{1 + \varphi_k H}, \quad (8'')$$

где

$$\varphi_k = \frac{\lambda_2}{d_o} = \frac{0,00025}{d_o + 1000 d_o^3},$$

или

$$\lambda_2 = \frac{0,00025}{1 + 1000 d^2}$$

формула Люгера имеет размерность  $[L^{-1}]$ .

Назовем формулы (7) и (8) формулами второго типа;

в) при

$$A = \varphi^2 \left( \frac{H}{S} \right)^2 \quad (4'')$$

уравнение (3) дает

$$S = H \left( \varphi^2 - \frac{\lambda_o}{d_o} \varphi^2 H \right)$$

или

$$S = H \left( 1 - \frac{\lambda_3}{d_o} H \right) \quad (9)$$

т. е. мы получили формулу Лобачева,

$$\text{где } \lambda_3 = \lambda_o \left( \varphi^2 - \frac{1 - \varphi^2}{\frac{\lambda_o}{d_o} H} \right). \quad (9')$$

Из этой формулы мы можем получить ряд формул, предложенных различными авторами в разное время.

В самом деле, положив  $\frac{\lambda_3}{d_o} = 0,0103$ , получим формулу Д'Обюиссона:

$$S = H - 0,0103 H^2; \quad (9'')$$

положив  $\lambda_3 = 0,00025$ , получим формулу Бокса:

$$S = H - 0,00025 \frac{H^2}{d_o}; \quad (9''')$$

положив  $\lambda_3 = 0,00113$  — формулу Фримана:

$$S = H - 0,00113 \frac{H^2}{d_o}; \quad (9''')$$

положив  $\lambda_3 = 0,000054$  — формулу Вейсбаха:

$$S = H - 0,000054 \frac{H^2}{d_o}; \quad (9''')$$

положив  $\frac{\lambda_3}{d_o} = 0,007$ —формулу Бернулли:

$$S = H - 0,007 H^2. \quad (9^V)$$

Назовем формулы (9) формулами *третьего типа*.

Как видно, все формулы укладываются в единую схему и вытекают из одного источника—основного уравнения вертикальной струи и являются, таким образом, частными случаями нашей общей формулы (3).

2. Подставляя в формулу (8) значения  $\lambda_2$  из (7), получим

$$S = \frac{H}{1 + \frac{\lambda_0}{d_o} H - \frac{1 - \varphi^2}{S} H^2}, \quad (10)$$

при

$$\frac{\lambda_0}{d_o} = 0,01158 \text{ и } \frac{1 - \varphi^2}{S} = 0,000582$$

будем иметь эмпирическую формулу Вейсбаха для тонкой, стенки, а при  $\frac{\lambda_0}{d_o} = 0,00048$  и  $\frac{1 - \varphi^2}{S} = 0,000956$ —для коноидальной насадки.

3. Сравнение формул (7') и (9) показывает, что

$$\frac{\lambda_3}{\lambda_2} = \frac{S}{H} < 1 \quad (11)$$

Совместное решение (7') и (9') дает

$$\frac{S}{H} = \varphi^2, \quad (12)$$

т. е. высота поднятия струи зависит от внутренних свойств насадки.

Взаимосвязь между  $\lambda_0$ ,  $\lambda_2$ ,  $\lambda_3$ ,  $S$  и  $H$  выражается следующими соотношениями:

$$\left. \begin{aligned} \frac{\lambda_2}{\lambda_0} &= \frac{S}{H} \\ \frac{\lambda_3}{\lambda_0} &= \frac{S^2}{H^2} \\ \frac{\lambda_3}{\lambda_2} &= \frac{S}{H} \end{aligned} \right\} \quad (13)$$

Пользуясь этими соотношениями, можно переходить от одного типа формул к другим. Например, из (13) и (12) получим:

$$\frac{\lambda_3}{\lambda_2} = \frac{\lambda_2}{\lambda_0} = \frac{S}{H} = \varphi^2 = \frac{1}{1 + \lambda_2 \frac{H}{d_o}} = \frac{1}{1 + \zeta} \quad (14)$$

$$\frac{\lambda_3}{\lambda_0} = \left( \frac{S}{H} \right)^2 = \varphi^4 \quad (15)$$

$$S = \frac{H}{1 + \zeta} \quad (17)$$

Сравнение (12) с формулами основного типа дает:

$$\text{для первого типа } \varphi_1 = \sqrt{\frac{\lambda_0 S^2}{1 + \frac{\lambda_0 S^2}{H d_o}}}, \quad (18)$$

$$\text{для второго типа } \varphi_2 = \sqrt{\frac{1}{1 + \frac{\lambda_2}{d_o} H}}, \quad (19)$$

$$\text{для третьего типа } \varphi_3 = \sqrt{\frac{1}{1 + \frac{\lambda_3}{d_o} H}} \quad (20)$$

Следует отметить, что различие в формулах всех трех типов заключается в том, к какому сечению исследователь отнесет учет потерь напора: перед насадкой или на вылете струи.

Так, в первом типе формул взята действующая длина струи и скоростной напор на вылете из насадки. Во втором—взята действующая длина струи и напор перед насадкой. В третьем—за высоту струи принят напор перед насадкой такой же, как и скоростной напор.

Следовательно, для получения одинаковых результатов нужно брать разные значения коэффициента трения, т. е. разное значение коэффициента скорости.

Применим полученные для вертикальной струи результаты к наклонной струе.

Уравнение второго типа с учетом угла наклона ( $\alpha$ ) примет вид:

$$S = \frac{H_t}{1 + \frac{\lambda_2}{d_o} H_t} = \frac{H \sin^2 \alpha}{1 + \frac{\lambda_2}{d_o} H \sin^2 \alpha} \quad (21)$$

при  $\alpha = 90^\circ$  получим формулу (8), и из (14)

$$\varphi_b^2 = \frac{S_b}{H} = \frac{\sin^2 \alpha}{1 + \frac{\lambda_2}{d_o} H \sin^2 \alpha} = \frac{\sin^2 \alpha}{1 + \zeta \sin^2 \alpha}, \quad (22)$$

где

$\varphi_b$ —приведенный коэффициент скорости,

$S_b$ —высота подъема струи.

Дальность боя наклонной струи равна:

$$S_x = \frac{2H \sin 2\alpha}{1 + \frac{\lambda_2}{d_o} 2H \sin 2\alpha} = \frac{2H \sin 2\alpha}{1 + \zeta 2 \sin 2\alpha} = \frac{H}{\frac{1}{2 \sin 2\alpha} + \zeta}. \quad (23)$$

Высота подъема наклонной струи определяется из формулы (22):

$$S_b = \frac{H}{\frac{1}{\sin^2 \alpha} + \zeta}. \quad (24)$$

При  $\lambda_2 = 0$ , т. е. при  $\zeta = 0$ , формулы (21), (22) есть ни что иное, как формулы для определения высоты и дальности боя струи без учета сопротивления воздуха, т. е.:

$$\left. \begin{aligned} S_b &= H \sin^2 \alpha \\ S_x &= 2H \sin^2 \alpha \end{aligned} \right\} \quad (25)$$

Отсюда следует, что максимальное значение дальности боя получается при  $\alpha=45^\circ$ , максимальный подъем—при  $\alpha=90^\circ$ . Указанное иллюстрируется на рисунке 1 для насадки  $d_0=1$  дюйму при напоре  $H=28,124$  м.

На рисунках 2 и 3 показано фактическое изменение высоты подъема и дальности боя струи при различных углах наклона и напорах для насадки  $d_0=1$  дюйм, откуда следует, что

- максимальная дальность боя ( $S_d$ ) получится при определенном угле наклона ( $\alpha$ ), изменяющемся с изменением напора;
- с увеличением напора увеличиваются и дальность боя и высота подъема струй:

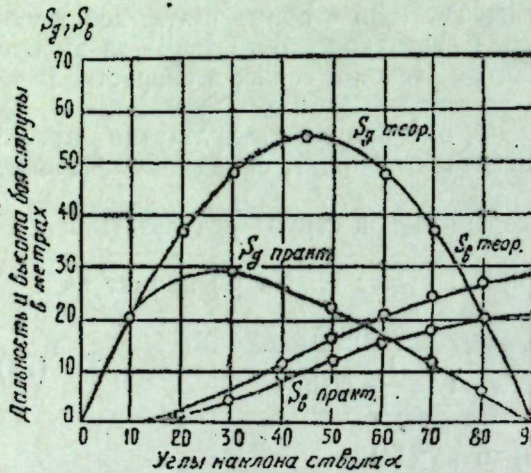


Рис. 1

График теоретической и практической высот  $S_b$ ,  $S_d$  и дальности боя струи  $S_d$  для насадки  $d=1"$  при напоре  $H=28,124$  м.

$$S_b \text{ теор} = H \sin^2 \alpha$$

$$S_d \text{ теор} = H 2 \sin 2 \alpha$$

- с увеличением угла наклона увеличивается и высота боя.

Коэффициент скорости  $\varphi$  для определения высоты наклонной струи будет

$$\varphi_b = \sqrt{\frac{1}{\frac{1}{\sin^2 \alpha} + \zeta}}, \quad (26)$$

а для определения дальности боя струи

$$\varphi_d = \sqrt{\frac{1}{\frac{1}{2 \sin 2 \alpha} + \zeta}} \quad (27)$$

Разность в дальности и высоте боя по теоретическим и практически полученным (рис. 2,3) данным будет давать потерю энергии струй, т. е.  $H \sin^2 \alpha - S_b$  или  $2H \sin 2 \alpha - S_d$ . Отношение этих данных к

фактической высоте или длине струй дает относительное укорочение струи:

$$\frac{H \sin^2 \alpha - S_b}{S_b} = \zeta \sin^2 \alpha$$

$$\frac{2H \sin 2 \alpha - S_d}{S_d} = \zeta 2 \sin 2 \alpha$$

откуда коэффициент сопротивления равен:

$$\frac{H}{S_b} - \frac{1}{\sin^2 \alpha} = \zeta \quad (28)$$

$$\frac{H}{S_d} - \frac{1}{2 \sin 2 \alpha} = \zeta. \quad (29)$$

Из формул (28) и (29) легко получить формулы (21) и (22).

Формула (14) показывает, что коэффициент скорости зависит как от напора и диаметра насадок, так и от коэффициента трения.

Для исследования этого вопроса, пользуясь опытными данными Элера, Марстона и Гавырина [3, 6] представим графическую зависимость  $\frac{S}{H} = f\left(\frac{H}{d}\right)$ . Из этих кривых (рис. 4) следует, что для определенного угла наклона на определенных расстояниях  $\frac{H}{d}$  отношение  $\frac{S}{H} = \varphi^2$  остается постоянным.

Так например, для угла наклона в  $30^\circ$  на расстоянии  $\frac{H}{d} < 800$  отношение

$\frac{S}{H}$  остается постоянным, а, следовательно, осевая скорость равна скорости истечения.

При  $\zeta=1$  из (16) находим  $\frac{H}{d_0} = \frac{1}{\lambda_2}$ , и, обозначая их через  $\varphi_0$ ,

$$\varphi_0 = \frac{H}{d_0} = \frac{1}{\lambda_2} \quad (30)$$

Подставляя значение  $\frac{H}{d_0}$  соответственно для каждого угла в уравнение (30), получим коэффициент  $\lambda_2$  для критической скорости сплошной струи (табл. 2).

Из (30) можно установить предельный диаметр насадок

$$d_0 = \frac{H}{\varphi_0} \quad (31)$$

или предельный напор

$$H = \varphi_0 d_0 \quad (32)$$

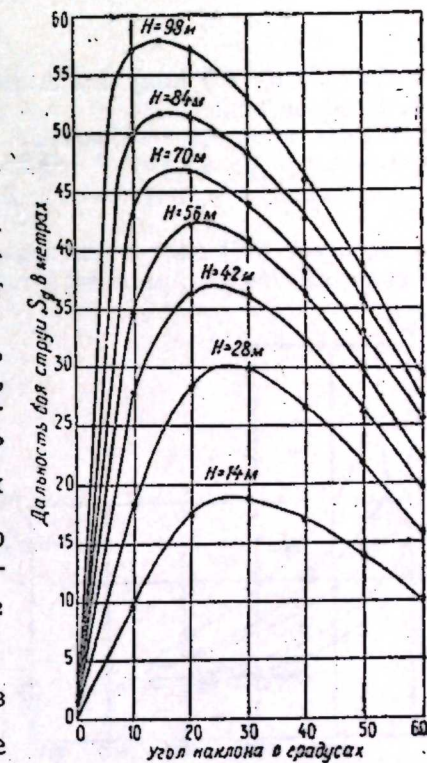


Рис. 3

Дальность боя струи от угла наклона для насадки  $d=1"$

Таблица 2

Угол наклона, °	$\varphi_0 = \frac{H}{d_0} = \frac{1}{\lambda_2}$	$\lambda_2$	$S = \varphi_0 \varphi^2 d_0$ при $\zeta = 1$
0	200	0,005	100 $d_0$
5	350	0,00287	175 $d_0$
10	500	0,002	250 $d_0$
15	650	0,00154	325 $d_0$
30	800	0,00125	400 $d_0$
90	817	0,00122	408,5 $d_0$

Из (15) и (20) получим длину струи, имеющую одинаковые скорости по ее оси:

$$H = \frac{S}{\varphi^2} = \varphi_0 d_0,$$

$$S = \varphi_0 \varphi^2 d_0. \quad (33)$$

Формула (33) дает возможность определить длину начального участка струй до ее распада, т. е. дает длину струи, где кончаются

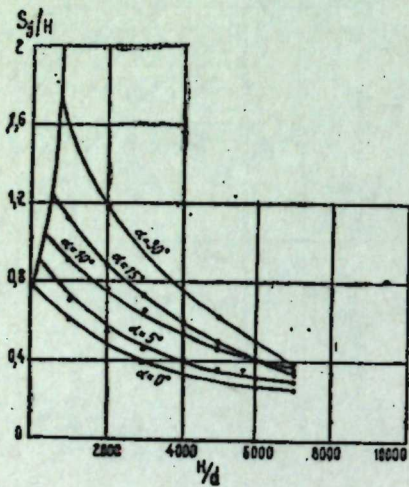


Рис. 4

Кривые изменения  $\frac{S}{H}$  от  $\frac{H}{d}$  для углов наклона 0, 5, 10, 15 и 30°

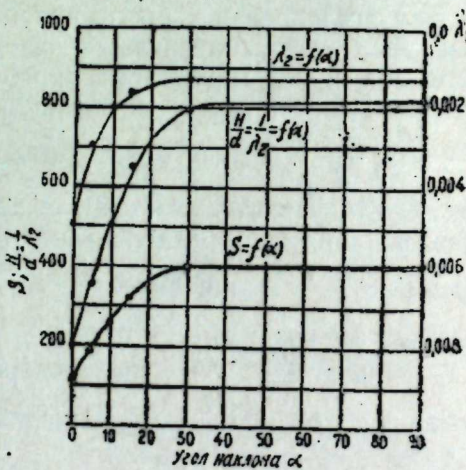


Рис. 5

График зависимости  $\frac{S}{d}$  и  $\lambda_2$  от угла  $d$  при  $\zeta(\varphi = 0,707)$

сплошность струи и постоянство скоростей. За пределами этой длины отсутствует ядро с постоянными скоростями по оси струи.

При  $\varphi_0 \varphi^2 = 6$  получаем формулу Миловича [5] для начального участка газовой струи, при  $\varphi_0 \varphi^2 = 300$  — формулу В. Я. Чичасова и при  $\varphi_0 \varphi^2 = 145$  — формулу Гавырина.

Значения  $S$  при  $\pi = 1$  приведены на рисунке 5 и в таблице 2.

График зависимости  $\frac{H}{d} = \frac{1}{\lambda_2} = \varphi_0 = f(a)$  (рис. 5) показывает, что влияние угла наклона распространяется примерно до  $32^\circ$ , поэтому эмпирическая формула Ф. И. Пикалова [2] верна в пределах  $\frac{H}{d} > 800$ , а формула Гавырина [2, 3] до углов наклона до  $32^\circ$ .

Из рисунков 2 и 3 следует, что дальность и высота боя струи при определенных условиях достигает максимума.

Для формул третьего типа величина достигает максимума при

$$\frac{dS}{dH} = 0 = 1 - 2\lambda_3 \frac{H}{d}$$

или

$$1 = 2\lambda_3 \frac{H}{d} = \frac{\lambda_3 v^2}{gd} = \lambda_3 F_r, \quad (34)$$

отсюда

$$v_{kp} = \sqrt{\frac{gd}{\lambda_3}}, \quad (35)$$

т. е. получили критическую скорость, называемую волновой, так как при  $v > v_{kp}$  всякое волновое возмущение будет распространяться вдоль струи до насадка. Первый случай соответствует бурному движению, а второй — спокойному.

Из формулы (34)  $d_{kp} = \frac{d_3}{g} v_{kp}^2$  при  $d > d_{kp}$  — бурное движение,  $d < d_{kp}$  — спокойное движение.

Для формул второго типа

$$\frac{dH}{dS} = 1 + \lambda_2 \frac{H}{d} = 0 \quad (36)$$

откуда

$$1 = \lambda_2 \frac{H}{d} = \lambda_2 \frac{v^2}{2gd} \frac{\lambda_2}{F_r} = 2 F_r \quad (37)$$

или

$$\frac{\lambda_2}{\lambda_3} = 2. \quad (38)$$

Следовательно, коэффициент  $\zeta$  есть функция числа Фруда

$$F_r = \frac{2\varphi}{\lambda_2}$$

Пользуясь опытами Генлейна при  $d_0 = 0,51$  мм со струей, имеющей сплошность, проверим выведенные формулы:

$$S = \varphi_0 \varphi^2 d_0 = 0,707^2 \cdot 200 \cdot 0,51 = 50 \text{ мм}; v_{kp} = \sqrt{\frac{2gd_0}{\lambda_2}} = \sqrt{\frac{2 \cdot 9,81 \cdot 0,0051}{0,005}} = 4,46 \text{ м/сек},$$

отсюда время распада сплошной струи

$$t = \frac{S}{v} = \frac{0,050}{4,46} = 0,0108 \text{ сек.}$$

по опытам Генлейна

$$t_{op} = 0,010 \text{ до } 0,017 \text{ сек.}$$

### Выводы

- Наша теоретическая формула (3) является более общей. Она обобщает в себе ряд эмпирических формул (приводимых до сих пор в справочниках и учебных пособиях), предложенных различными исследователями в разное время и для различных условий.

2. Формула (3) лучше отражает действительные условия протекания струи, и она свободна от произвольных коэффициентов типа формул Вейсбаха, Люгера, Бакса, Фридмана и др.

3. Наша формула проста в использовании. Зная величины  $\phi$  и приводимые в справочниках, можно определить все интересующие элементы струи.

4. Сопоставление жидкой струи с истечением из отверстия и насадок показывает, что они представляют одно неразрывное связное физическое явление.

5. Формула (33), вытекающая из нашей общей формулы (3) является общей формулой по определению длины компактной части струи и объединяет в себе формулы этого типа (Миловича, Чичасова, Гавырина и др.).

6. Наши теоретические выводы достаточно хорошо согласуются с опытными данными Гавырина, Элера, Генлейна, Фридмана, Вейсбаха и др.

#### ЛИТЕРАТУРА

1. Абрамович Г. Н. Турбулентные свободные струи жидкостей и газов. Тр. ЦАГИ, № 512, 1950.
2. Агронкин И. И., Дмитров Г. Т. и Пикалов Ф. И. Гидравлика. 1950.
3. Гавырин Н. П. Исследование работы гидромониторов. Диссертация, ВНИИГиМ, 1939.
4. Латышев А. М. и Лобачев В. Г. Гидравлика. 1945.
5. Милович А. Я. Гидродинамические основы газовой борьбы. 1918.
6. Элер Основные вопросы гидравлики дождевальных аппаратов, в особенности дальноструйных. "Дождевание" I, 1934.

Институт энергетики  
АН Азербайджанской ССР

Поступило 5. XI 1956

Ю. Э. Ибадзадә, С. П. Казаков

#### Гидромонитордан чыхан мае лүләсинин тәдгиги

#### ХҮЛАСӘ

1. Гидромонитордан чыхан мае лүләсинин истеңсалат үчүн мүхум әһәмийәти вардыр.

2. Мае лүләсинә Бернулли тәнлийини тәтбиг әдиб (1-чи тәнлик) гидравлик майлийәти 2-чи тәнликдә көстәрилдий кими гәбул этсәк мае лүләсинин әсас тәнлийини (3-чу тәнлик) алышырг.

Бу тәнликтән Лобачевин, Вейсбахын, Лючерин, Мариоттун вә и. а. эмпирик тәнликләрини аларыг (6—9-чу тәнликләр).

3. Әсас тәнлик мұхтәлиф эмпирик әмсаллардан азаддыры. Бу тәнлик соң садәдир.  $\phi$  вә ү гиймәтләре мә'лумса, онда мае лүләсинин бүтүн элементләрини тапа биләрик.

4. Майл мае лүләси үчүн әсас тәнликтән 21-чи тәнлийи аларыг. Бу ахырынчы тәнлийин тәдгиги (22—29-чу тәнликләр) майл мае лүләсинин бүтүн элементләрини тапмага имкан верир.

5. Маенин бүтөв һиссәсинин узунлуғу 33-чу тәнликлә ифадә олунмушдур. Бу тәнликтән Миловичин, Пикаловун, Чичасовун, Гавыринин вә гейриләринин формулалары хүсуси нал кими чыхыр.

6. Мәгаләдә көстәрилән тәнликләрин нәтичәләрини Гавырин, Элер, Генлейн вә башгаларынын тәчрүбеләри тәсдиг әди (1—5-чи шәкилләр).

#### ТЕРМОДИНАМИКА

А. М. ХИТЕЕВ

#### РАСТВОРИМОСТЬ ЭТАНА И ПРОПАНА В НЕФЯХ

(Представлено академиком АН Азербайджанской ССР В. С. Гутырев)

1. Описание экспериментальной установки и методики проведения опыта. Принципиальная схема безртутной установки [1], на которой производились опыты по растворимости этана и пропана, представлена на рисунке 1.

Согласно схеме, этан с давлением 15 атм из газового баллона 1 направлялся в дожимной контейнер 2, где с помощью гидравлического насоса 10 дожимался до  $P=110$  атм при  $t=50^\circ\text{C}$ .

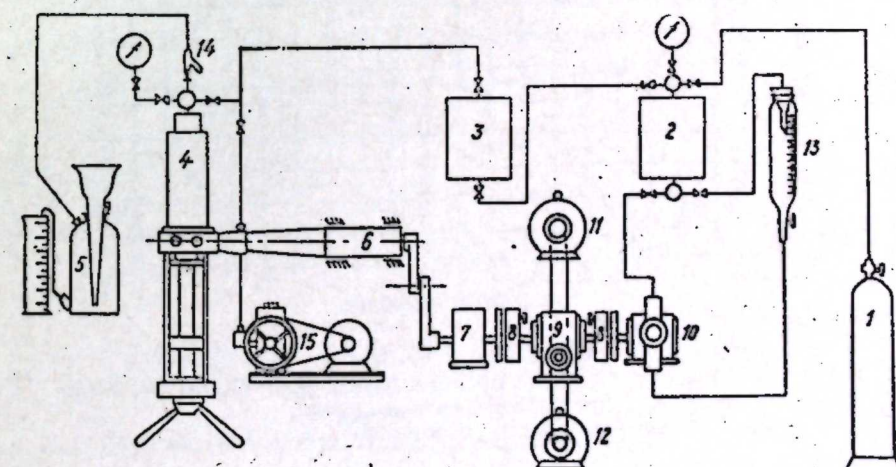


Рис. 1

Схема экспериментальной установки безртутного способа исследования растворимости газов в нефтях

1—газовый баллон; 2—дожимной контейнер; 4—плунжерная бомба; 5—газометр; 6—вал для раскачки плунжерной бомбы; 7—трансмиссия; 8—муфта сцепления; 9—редуктор; 10—гидравлический насос; 11—электромотор для привода гидравлического насоса; 12—электромотор для привода плунжерной бомбы; 13—делительная воронка для контроля закачиваемой насосом волны; 14—ловушка; 15—вакуум насос.

Момент появления водо-газового раздела на выходе из контейнера 2 определяется электроконтактом. Этажный газ высокого давления ( $\sim 120$  атм) перепускался в контейнер 3, откуда направлялся через хлоркальциевую трубку в плунжерную бомбу 4, где путем раскачки растворялся в испытуемой нефти.

Для предупреждения образования воздушной подушки в манометрическом узле образцовый манометр, по которому брались показания давления равновесия, устанавливался ниже уровня выходных каналов плунжерной бомбы. Манометр соединялся с одним из выходов игольчатого вентиля, а другой конец его—посредством стальной капиллярной трубочки—со штуцером вентиля на плунжерной бомбе. Стальная трубочка и полость манометрической пружины заполнялись соленой водой под вакуумом.

При вакуумировании системы капиллярная трубка с манометром отключалась путем закрытия игольчатого вентиля.

При изучении растворимости пропана, последний набирался из баллона 1 в контейнер 2 в жидком виде, а затем подогревался до  $t=50-60^{\circ}\text{C}$ . Таким путем создавался пропановый газ с повышенным давлением  $P=50-60 \text{ atm}$ , который и вводился в плунжерную бомбу 4 для растворения его в нефти. Растворение этана, а также пропана производилось в течение 10 качаний, что в соответствии с кривыми темпа растворения, представленными на рисунке 2, вполне было достаточно для достижения стабильного давления—давления насыщения.

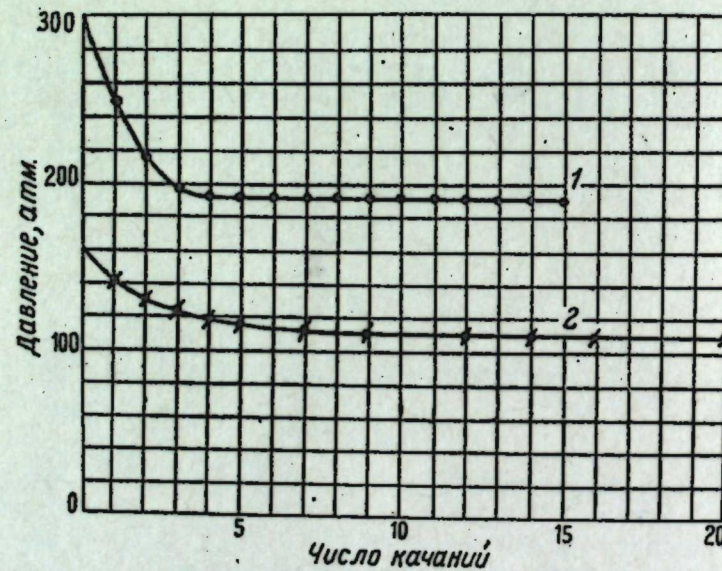


Рис. 2

Изменение давления от числа качаний плунжерной бомбы  $PVT$  при растворении газа в нефти  
1—этан при  $t=53^{\circ}\text{C}$ , нефть  $d_{20}=0,865$ ; 2—метан при  $t=85^{\circ}\text{C}$ , нефть  $d_{20}=0,865$ .

Интенсивное растворение газа достигалось путем помещения стальных шариков в плунжерную бомбу.

Дегазация этан-нефтяного раствора производилась ступенями при снижении давления на 10—15 атм. При дегазации пропан-нефтяной смеси давление снижалось на 2—3 атм. Объем выделившегося газа замерялся посредством газометра и мензурки 5.

При вытеснении газовой фазы из плунжерной бомбы давление в ней поддерживалось выше давления равновесия на 0,1—1 атм.

Момент окончания вытеснения газовой фазы из плунжерной бомбы контролировался по манометру, по струе воды, вытекающей из газометра, и по контрольной ловушке 14.

2. Растворимость этана была изучена в сурханских нефтях удельного веса 0,842; 0,847; 0,853 и 0,894. Характеристика нефтей представлена в работе [2].

Химический состав исходного этанового газа (%):

этан—94

пропан—2

бутан—4

Плотность исходного этанового газа составляла 1,039 по воздуху. Давление этана—15 атм.

Растворимость пропана изучалась в сурханских нефтях удельного веса 0,842; 0,853 и 0,894 [2].

Пропан доставлялся из Новобакинского нефтеперерабатывающего завода под давлением 12 атм. Пропановый газ состоял из 98 % пропана. Плотность его по воздуху составляла 1,600.

3. Результаты исследования растворимости этана в упомянутых нефтях в интервалах давлений 0+100 атм и температур 56—85°С представлены в таблицах 1—4. Из этих таблиц видно, что повышение давления вызывает резкое увеличение количества выделяющегося газа.

Таблица 1

Растворимость этана в нефти удельного веса  $d_{20}=0,842$

Давление, атм	Растворимость				Увеличение объема нефти, мл/мл		Плотность выделяющегося газа (по воздуху)		
	мл/мл. атм	мол. долях		56°C	86°C	56°C	86°C	56°C	86°C
56°C	86°C	56°C	86°C	56°C	86°C	56°C	86°C	56°C	86°C
63,5	108,0	4,061	4,341	0,763	—	—	1,670	—	1,062
54,0	100,6	3,211	3,943	0,683	—	0,514	1,283	1,087	1,051
42,0	86,5	2,337	3,260	0,550	—	0,372	0,876	1,062	1,048
31,5	66,5	1,796	2,606	0,413	—	0,262	0,550	1,048	1,047
23,0	49,0	1,728	2,142	0,330	—	0,185	0,228	1,049	1,049
12,5	33,5	1,516	1,862	0,191	—	0,085	0,137	1,048	1,047
—	28,5	—	1,584	—	—	—	0,060	—	1,048
—	8,0	—	1,212	—	—	—	—	—	—

Таблица 2

Растворимость этана в нефти удельного веса  $d_{20}=0,847$

Давление, атм	Растворимость				Увеличение объема нефти, мл/мл		Плотность выделяющегося газа (по воздуху)		
	мл/мл. атм	мол. долях		56°C	74°C	84°C	56°C	74°C	84°C
56°C	74,5°C	84°C	56°C	74°C	84°C	56°C	74°C	84°C	
66	112,0	129,0	3,461	5,250	3,221	0,733	0,886	0,844	—
60	102,5	110,0	3,188	5,122	3,594	0,697	0,875	0,835	1,698
51	100,3	96,5	2,658	3,739	3,155	0,619	0,833	0,795	0,774
40	84,0	81,5	2,157	3,176	2,732	0,508	0,779	0,740	0,447
33	63,5	66,0	2,121	2,630	2,288	0,456	0,690	0,668	0,321
21	45,5	51,0	1,905	2,174	2,065	0,324	0,567	0,567	0,165
11	32,5	37,0	1,530	1,981	1,767	0,151	0,461	0,450	0,075
—	19,0	23,0	—	1,910	1,565	—	0,325	0,311	—
—	7,5	11,0	—	2,000	1,327	—	0,195	0,153	—

925

Таблица 3

Растворимость этана в нефти удельного веса  $d_{20}=0,853$ 

Давление, атм	Растворимость						Увеличение объема нефти, мл/мл	Плотность выделяющегося газа (по воздуху)						
	мл/мл. атм		мол. долях		56°C	72,5°C	84°C							
56°C	72,5°C	84°C	56°C	72,5°C	84°C	56°C	72,5°C	84°C						
63,5	78,1	117,0	2,957	2,898	2,855	0,687	0,727	0,806	—	1,563	1,438	—	1,048	1,048
60,0	65,0	107,0	3,008	2,417	2,776	0,684	0,653	0,777	0,927	0,675	1,108	1,050	1,049	1,048
52,0	55,0	92,0	2,971	2,227	2,515	0,649	0,595	0,730	0,63	0,483	0,843	1,048	1,048	1,048
42,0	40,0	68,0	2,468	1,915	1,969	0,559	0,478	0,612	0,437	0,326	0,481	1,049	1,048	1,047
32,0	29,0	58,0	2,331	1,730	1,814	0,476	0,575	0,552	0,316	0,231	0,341	1,048	1,048	1,048
22,0	17,5	42,5	2,187	1,610	1,638	0,366	0,252	0,450	0,173	0,120	0,241	1,048	1,049	1,049
9,5	10,0	30,5	1,938	1,550	1,465	0,181	0,237	0,345	0,061	0,071	0,150	—	—	1,048
—	—	18,0	—	—	1,305	—	—	0,215	—	—	0,102	—	—	1,048
—	—	10,0	—	—	1,060	—	—	0,106	—	—	0,058	—	—	—

Таблица 4

Растворимость этана в нефти удельного веса  $d_{20}=0,894$ 

Давление, атм	Растворимость						Увеличение объема нефти, мл/мл	Плотность выделяющегося газа (по воздуху)
	мл/мл. атм		мол. долях		56°C	84,5°C		
56°C	84,5°C	56°C	84,5°C	56°C	84,5°C	56°C	84,5°C	56°C
56,0	96,0	2,858	1,177	0,674	0,592	—	—	—
46,0	82,0	2,440	1,097	0,592	0,537	0,436	1,432	1,048
34,0	70,5	1,981	1,035	0,466	0,434	0,301	0,730	1,048
23,5	52,5	1,727	0,952	0,344	0,391	0,222	0,348	1,048
12,0	29,0	1,310	0,827	0,169	0,236	0,112	0,138	1,048
6,0	12,5	0,987	0,840	0,071	0,098	0,105	0,042	1,048

Резкое увеличение плотности выделяющегося газа при повышенных давлениях объясняется растворением жидкой фазы в газовой. Повышение температуры увеличивает интервал давления, при котором плотность выделяющегося газа сохраняется неизменной и равной плотности исходного этана. В интервале давления, при котором плотность выделяющегося газа остается неизменной и равной плотности исходного газа, практически можно считать процесс дегазации адекватным процессу растворения.

Сравнение коэффициентов растворимости этана в зависимости от давления, температуры и удельного веса нефти приведено на графиках (рис. 3 и 4). Из указанных графиков видно, что уменьшение удельного веса нефти при одной и той же температуре приводит к более резкому увеличению коэффициента растворимости с повышением давления. Так при изменении давления от 30 до 60 атм при температуре 72,5°C коэффициент растворимости этана в нефти удельного веса 0,894 растет от 1,46 до 1,96, т. е. на 0,5 мл/мл. атм, в то время как для более легкой нефти удельного веса 0,842 эта разница составляет 1,07 мл/мл. атм (см. рис. 3).

При температуре 72,5°C прямолинейная зависимость коэффициента растворимости от удельного веса нефти сохраняется до  $P=50$  атм. При  $P=60$  атм нефти удельного веса 0,850 и меньше имеют повышенный коэффициент растворимости.

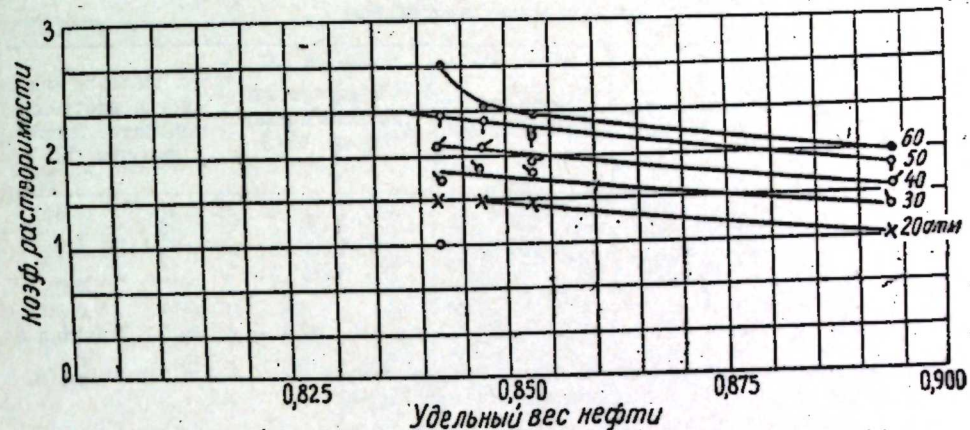


Рис. 3

Зависимость коэффициента растворимости этана от удельного веса при  $t=72,5^{\circ}\text{C}$ .

Изобары растворимости этана при температуре 85°C представлены на рисунке 4, из которого видно, что резкое повышение коэффициента растворимости этана замечается уже при давлениях 30 атм для нефти удельного веса 0,860 и меньше.



Рис. 4

Зависимость коэффициента растворимости этана от удельного веса нефти при  $t=85^{\circ}\text{C}$ .

Как видно из рисунков 3 и 4, повышение температуры уменьшает участок прямолинейной зависимости коэффициента растворимости от удельного веса нефти. Это значит, что при повышении температуры и давления обратному испарению будут подвержены более тяжелые нефти.

<sup>1</sup> Коэффициент дегазации практически принимается адекватным коэффициенту растворимости.

В таблицах 5 и 6 представлено сравнение влияния температуры на коэффициент растворимости этана в нефтях удельного веса 0,894 и 0,853.

Таблица 5

Сравнение растворимости этана в нефти удельного веса  $d_{20}=0,853$  в зависимости от изменения температуры

Давление, атм	Температура, °C	Растворимость этана, мл/мл	Коэффициент растворимости, мл/мл. атм	% уменьшения коэф. раств. с повышен. температуры, °C
50	56	136	2,72	—
50	72,5	104	2,08	24
50	84,0	85	1,70	38

Таблица 6

Сравнение растворимости этана в нефти удельного веса  $d_{20}=0,894$  в зависимости от изменения температуры

Давление, атм	Температура, °C	Растворимость, мл/мл	Коэффициент растворимости, мл/мл. атм	% уменьшения коэф. раств. с повышен. температуры, °C
50	56,0	124	2,48	—
50	74,2	92	1,84	26
50	84,5	45	0,90	62

Как видно из таблицы 5, повышение температуры на 28° С при давлении 50 атм для нефти удельного веса 0,853 вызывает уменьшение коэффициента растворимости этана от 2,72 до 1,7, т. е. на 1,02 мл/мл. атм, в то время, как для нефти удельного веса 0,894 при тех же условиях коэффициент растворимости уменьшается от 2,48 до 0,90, т. е. на 1,58 мл/мл. атм.

Таким образом, в отличие от метана, влияние температуры на растворимость этана в нефтях тем больше, чем больше удельный вес нефти.

Из приведенных примеров видно, что как на количественную, так и на качественную стороны растворимости газов оказывает существенное влияние и качество нефти.

Таким образом, увеличение интервала давления, необходимого для растворения одного и того же количества этана при повышении температуры, а также удельного веса должно существенно сказываться на характере кривой растворимости газа сложного состава в нефтях, выпрямляя ее.

Растворимость пропана в нефтях изучалась в интервалах давления 0÷25 атм и температуры 40÷85° С (см. табл. 7—9).

Как показали опыты, растворимость пропана с повышением давления резко возрастает и при давлении точки росы становится неограниченной.

Из таблиц 7, 8 и 9 видно, что при повышенных давлениях наблюдается увеличение плотности газа, выделяющегося из раствора, что объясняется интенсивным растворением жидкой фазы в газовой.

Таблица 7

Растворимость пропана в нефти удельного веса  $d_{20}=0,842$

Давление, атм		Растворимость				Увеличение объема нефти, мл/мл		Плотность выделяющегося газа (по воздуху)	
		мл/мл. атм	мол. долях	66°C	85°C				
66°C	85°C	66°C	85°C	66°C	85°C	66°C	85°C	66°C	85°C
16,0	24,0	14,5	8,5	0,743	0,717	0,753	0,880	—	—
15,1	20,0	14,2	7,4	0,729	0,647	0,682	0,718	0,655	1,602
14,1	16,0	13,2	6,2	0,706	0,552	0,585	0,605	1,649	1,600
13,0	14,0	12,3	5,4	0,664	0,496	0,436	0,390	1,603	1,600
10,0	12,0	9,7	5,0	0,551	0,430	0,250	0,234	1,600	1,600
8,5	10,0	8,7	4,5	0,475	0,360	0,191	0,225	1,600	1,600
7,0	7,0	7,7	3,4	0,401	0,227	0,052	0,173	1,600	1,600
6,3	—	7,0	—	0,354	—	0,034	—	1,600	1,600

Таблица 8

Растворимость пропана в нефти удельного веса  $d_{20}=0,853$

Давление, атм		Растворимость				Увеличение объема нефти, мл/мл		Плотность выделяющегося газа (по воздуху)			
		мл/мл. атм	мол. долях	40°C	66°C						
40°C	66°C	85°C	40°C	66°C	85°C	40°C	66°C	85°C	40°C	66°C	85°C
13,0	11,8	25,5	18,8	6,5	8,1	0,750	0,494	0,724	—	0,362	—
12,0	10,0	24,0	12,8	6,2	7,2	0,663	0,441	0,687	0,525	0,265	0,682
11,0	8,9	22,2	12,1	4,7	6,3	0,629	0,391	0,641	0,475	0,222	0,593
10,0	7,5	20,0	10,2	5,3	5,6	0,564	0,336	0,590	0,402	0,169	0,513
8,0	6,9	18,0	8,8	4,5	5,1	0,475	0,280	0,440	0,305	0,161	0,423
—	5,8	16,0	—	4,0	4,5	—	0,216	0,378	—	0,112	0,341
—	—	10,2	—	—	3,2	—	—	0,293	—	0,165	—
—	—	7,0	—	—	2,8	—	—	0,237	—	0,102	—
—	—	6,5	—	—	2,3	—	—	0,162	—	0,081	—

Таблица 9

Растворимость пропана в нефти удельного веса  $d_{20}=0,894$

Давление, атм		Растворимость				Увеличение объема нефти, мл/мл		Плотность выделяющегося газа (по воздуху)	
		мл/мл. атм	мол. долях	40°C	66°C				
66°C	85°C	66°C	85°C	66°C	85°C	66°C	85°C	66°C	85°C
19,0	26,0	18,9	4,3	—	—	—	—	—	—
18,0	22,8	16,0	3,8	0,805	0,526	2,492	—	—	1,613
17,0	20,0	15,8	3,3	0,797	0,462	1,176	0,400	1,674	1,606
15,0	16,0	13,1	2,8	0,735	0,369	1,103	0,208	1,623	1,600
14,0	14,0	11,23	2,5	0,694	0,315	0,804	0,154	1,613	1,600
12,0	11,0	8,80	2,4	0,610	0,451	0,622	0,119	1,600	1,600
10,0	8,0	7,50	1,8	0,537	0,174	0,449	0,094	1,600	1,600
5,0	5,0	5,0	1,6	0,491	0,092	0,270	0,054	1,600	1,600

Сравнение растворимости пропана в зависимости от изменения удельного веса нефти и давления при температуре  $85^{\circ}\text{C}$  приведено в таблице 10. Из этой таблицы видно, что с повышением давления от 3 до 23 атм при температуре  $85^{\circ}\text{C}$  коэффициент растворимости пропана в нефти удельного веса 0,894 увеличивается от 1,0 до 3,5 мл/мл. атм, т. е. на 2,65 мл/мл. атм, в то время как для нефти удельного веса 0,842 коэффициент растворимости пропана при тех же условиях увеличивается на 6,03 мл/мл. атм.

Таблица 10

Сравнение растворимости пропана в зависимости от изменения удельного веса нефти и давления при температуре  $85^{\circ}\text{C}$

№ скважин	Уд. вес нефти	Коэффициент растворимости										
		$P=3 \text{ атм}$	$P=5 \text{ атм}$	$P=7 \text{ атм}$	$P=9 \text{ атм}$	$P=11 \text{ атм}$	$P=13 \text{ атм}$	$P=15 \text{ атм}$	$P=17 \text{ атм}$	$P=19 \text{ атм}$	$P=21 \text{ атм}$	
210	0,842	2,33	2,8	3,48	4,00	4,72	5,38	6,00	6,53	7,15	7,66	8,26
374	0,853	1,2	1,6	2,48	2,73	3,27	3,84	4,33	4,82	5,26	5,95	7,43
892	0,894	1,0	1,4	1,85	2,22	2,45	2,61	2,73	2,94	3,16	3,43	3,65

Сравнение коэффициентов растворимости пропана в зависимости от давления и температуры нефти приведено в таблицах 11 и 12, из которых видно, что повышение температуры на  $19^{\circ}\text{C}$  вызывает уменьшение коэффициента растворимости пропана в нефти удельного веса  $d_{20}=0,842$  в  $2,2 \div 2,7$  раза (см. табл. 11), а для нефти удельного веса 0,894 (см. табл. 12) — в  $3,16 \div 4,67$  раза в зависимости от давления.

Таблица 11

Сравнение растворимости пропана в нефти удельного веса  $d_{20}=0,842$  в зависимости от изменения температуры и давления

Температура, $^{\circ}\text{C}$	Коэффициент растворимости пропана							
	$P=3 \text{ атм}$	$P=5 \text{ атм}$	$P=7 \text{ атм}$	$P=9 \text{ атм}$	$P=11 \text{ атм}$	$P=13 \text{ атм}$	$P=15 \text{ атм}$	
66	5,7	6,54	7,71	8,88	10,27	12,08	14,10	
85	2,1	2,8	3,28	4,00	4,67	5,33	6,00	
Относительное уменьшение коэффициента растворимости от повышения $P$ и $t$	2,7	2,34	2,35	2,2	2,2	2,32	2,35	

Из таблиц 11 и 12 видно, что относительное уменьшение коэффициента растворимости пропана при повышении температуры с повышением давления уменьшается, доходя до минимума, а затем увеличивается по мере повышения давления. Например, для нефти  $d_{20}=0,842$  относительное уменьшение коэффициента растворимости пропана при  $P=3 \text{ атм}$  составляет 2,7, затем при  $P=9 \text{--} 11 \text{ атм}$  умень-

шается до 2,2 и при  $P=15 \text{ атм}$  вновь возрастает до 2,35. Аналогичное имеет место и для нефти  $d_{20}=0,894$ ; относительное уменьшение коэффициента растворимости пропана при  $P=3 \text{ атм}$  составляет 4,67, затем при  $P=7 \text{ атм}$  уменьшается до 3,16 и при  $P=15 \text{ атм}$  возрастает до 4,60.

Таблица 12

Сравнение растворимости пропана в нефти удельного веса  $d_{20}=0,894$  в зависимости от изменения температуры и давления

Температура, $^{\circ}\text{C}$	Коэффициент растворимости пропана						
	$P=3 \text{ атм}$	$P=5 \text{ атм}$	$P=7 \text{ атм}$	$P=9 \text{ атм}$	$P=11 \text{ атм}$	$P=13 \text{ атм}$	$P=15 \text{ атм}$
66	4,67	5,2	5,85	6,67	8,18	10,80	12,67
85	1,00	1,4	1,85	2,10	2,38	2,61	2,75
Относительное уменьшение коэффициента растворимости от повышения $P$ и $t$	4,67	3,7	3,16	3,17	3,44	4,15	4,60

Уменьшение коэффициента растворимости пропана, вызванное повышением температуры, вначале компенсируется увеличением растворимости с повышением давления в системе пропан—нефть. В дальнейшем более резкий рост коэффициента растворимости пропана при  $66^{\circ}\text{C}$  по сравнению с  $85^{\circ}\text{C}$  приводит снова к увеличению отношения растворимости пропана в нефти при отмеченных температурах. Это является следствием того, что точка росы пропана при температуре  $66^{\circ}$  определяется меньшим давлением по сравнению с температурой  $85^{\circ}\text{C}$ .

На рисунке 5 представлена зависимость коэффициента растворимости пропана при температуре  $85^{\circ}\text{C}$  в функции удельного веса нефти при различных давлениях.

Из таблицы 10 и рисунка 5 видно, что повышение давления вызывает резкое увеличение коэффициента растворимости пропана в изученных нефтях, причем это увеличение тем больше, чем меньше удельный вес нефти..

Из рисунка 5 также видно, что кривые «коэффициент растворимости — удельный вес» выпрямляются с увеличением давления и при  $P=23 \text{ атм}$  определяются прямолинейной зависимостью.

Как известно, неограниченная растворимость газа имеет место при достижении его точки росы, когда газ конденсируется изобарно или с незначительным приложением давления.

В таблице 13 приведены давления и температуры, при которых мы наблюдали неограниченную растворимость пропана в нефтях. Попытка дегазации раствора нефть—пропан при отмеченных в таблице 13 давлениях приводила во всех случаях к выделению из бомбы пара, дающего затем в ловушке светло-коричневый конденсат.

Из таблицы 13 видно, что:

1) с увеличением удельного веса нефти увеличивается давление, при котором достигается неограниченная растворимость пропана в нефти;

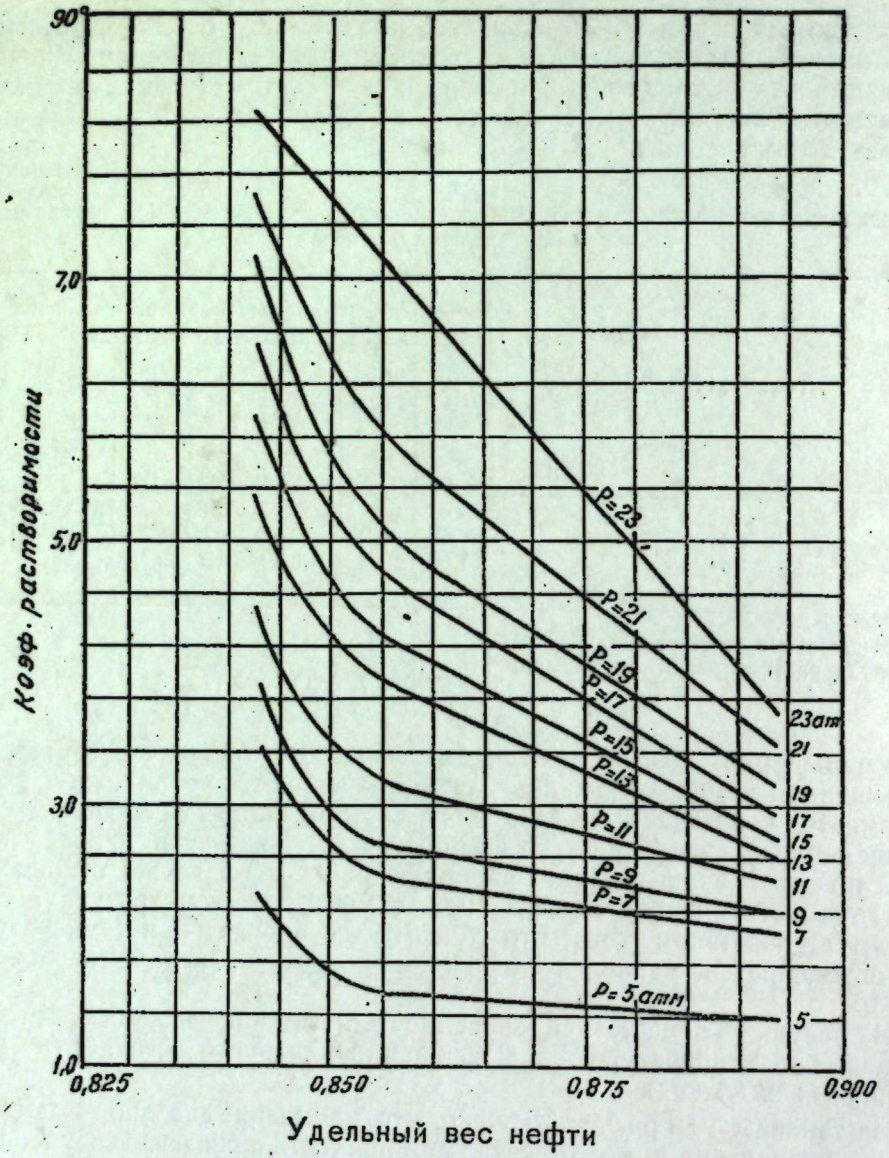


Рис. 5

Сравнение растворимости пропана при  $t=85^\circ\text{C}$ .

Таблица 13

Неограниченная растворимость пропана при растворении его в нефтях

$d_{20}$	$t, ^\circ\text{C}$	$P, \text{атм}$	Раство- римость, $\text{мл}/\text{мл}$	Раство- римость, мол. %	Примечание
0,842	66	15	232	75	Светло-коричневый конденсат
	85	24	203	72	
0,853	40	17	423	74	
	85	25	206	72	
0,894	66	19	359	72	
	85	26	112	59	

2) повышение температуры вызывает увеличение давления для достижения неограниченной растворимости пропана в нефти;

3) с повышением удельного веса нефти уменьшается мольная концентрация пропана в нефти при наступлении неограниченной растворимости его.

### Выводы

1. Исследована растворимость: этана—в 4 нефтях в интервалах давления 0–100 атм и температуры 56–86° С; пропана—в 3 нефтях в интервалах давления 0–25 атм и температуры 66–85° С.

2. Исследование растворимости этана проведено при давлении и температуре выше критических для чистого этана. Однако при повышенных давлениях (~100 атм) резко возрастающая растворимость его в нефти внешне сходна с неограниченной растворимостью.

3. В отличие от метана, влияние температуры на растворимость этана и пропана в нефтях тем больше, чем больше удельный вес нефти.

4. Увеличение удельного веса нефти, при одной и той же температуре, приводит к более резкому уменьшению растворимости этана и пропана в нефти в зависимости от давления по сравнению с метаном.

### ЛИТЕРАТУРА

1. Хитеев А. М. Труды Нефтяной экспедиции АН Азерб. ССР, т. I, 1953.  
2. Хитеев А. М. „Изв. АН Азерб. ССР“, № 11, 1956.

А. М. Хитеев

Этан вэ пропанын нефтдэ һэлл олмасы

### ХУЛАСЭ

Этан вэ пропанын һэлл олмасынын принципиал схемдэ верилмишдир.

Схемэ кэрэ этан 15 атм газ балонундан (1), хүсуси сыхычы контейнерэ (2) верилэрэк, орада 120 атм-э кими һидравлик насосун (10), көмэйилэ 50 С°-дэ сыхылыр. Су-газ сэрхэддэ контейнер (2) чыжышиnda электрик тохундуручу көмэйилэ тэйин эдилir. 120 атм тэйинг алтда олан этан контейнер 3-э верилэрэк, орадан чыхан газ тэйин алтда олан этан контейнер (1) верилэрэк, орада этан газы тэйинг алтдан нефтдэ һэлл эдилir. Газ нефтдэ яхши һэлл олсун дейэ, бомбая поладдан һэлл эдилir. Манометр вентиллэ, вентил исэ плунжер бомбасына (4) верилir ки, орада этан газы тэйинг алтдан нефтдэ һэлл эдилir. Газ нефтдэ яхши һэлл олсун дейэ, бомбая поладдан һэлл эдилir. Нава падушкасы эмэлэ кэлмэсин дейэ, манометрик ше'бэдэ, плунжер бомбадан ашагы сэвиййэдэ нүүмнэви манометр ерлэшдирлир. Манометр вентиллэ, вентил исэ плунжер бомбасы илэ капиляр полад илэ элағэлэндирлир. Полад капиляр вэ манометрин дахили пружину вакуум алтда шир су илэ додлуулур. Системдэ бошлуг эмэлэ кэтирэн заман капиляр борусу манометрлэ ийнэли вентилин көмэйилэ бағланылыр.

Пропанын һэлл олмасыны өйрэнмэк үчүн, пропаны балон 1-дэн контейнерэ (2) мае шэкилдэ верэлэрэк орада 50–60 С° гыздырылыр. Белэликлэ, албан пропан газы 50–60 атм тэйингэ чата билир. Пропан газы сонра плунжер бомбая (4) верилir, орада тэйинг алтда пропан нефтдэ гатышдырылмагла һэлл эдилir.

Этан вэ пропанын һэлл олмасыны, нефти 10 дэфэ чалхалатмагла сона чатдырмаг олур ки, буун һэллолма эйрисинин темпинэ эсасэн

2-чи шәкилдә көрмәк олар. Беләликлә дә мұвазинәт һалыны—сабит тәзийгли һал әдирик. Этанын нефтдән айрылмасы пилләләрлә апарылараг, һәр дәфә 10—15 атм азалтмагла сона чатдырылып. Пропанда исә тәзийги һәр дәфә 2—3 атм азалтмагла пропаны нефтдән айрымаг олур. Айрылан газлар газ өлчән чиңаздан вә мензуркадан (5) (1-чи шәклә бах) кечәрәк өлчүлүр.

Плүнжер бомбасындан газ фазаны чыхаран заман бомбада тәзийг мұвазинәт вәзиййәтдә өлан тәзийгдән 0,1—1 атм йүксәк олмалысы. Газ фазасынын плүнжер бомбасындан чыхарылмасынын сону: манометрин, суюн мигдарынын вә контрол тутучунун көмәклийилә (14) (1-чи шәклә бах) мүәййәнләшир. Этанын хүсуси чәкиләри: 0,842, 0,847, 0,853, 0,894 өлан нефтләрдә 0—100 атм тәзийгләрдә вә 56—85°C һәлл олмасынын нәтичәләри 1-чи вә 4-чу чәдвәлләрдә верилир. 1, 4-чу чәдвәлләрдән көрүндүйүнә көрә тәзийгин артмасы илә нефтдән айрылан этанын мигдары артыр. Этанын тәзийгдән, температурдан вә нефтин хүсуси чәкисиндән һәллолма әмсалынын асылылығынын мүгайисәси 5,6-чи чәдвәлләрдә верилир.

Чәдвәлләрдән көрүнүр ки, әйни температурда нефтин хүсуси чәкисинин азалмасы тәзийгин артмасы илә һәллолма әмсалынын кәскин сурәтдә артмасына сәбәб олур: 3,4 шәкилләрдән көрүндүйүнә көрә температурин артмасы һәллолма әмсалынын дүз хәтлә ифадә олунан асылылығынын белмәсини нефтин хүсуси чәкисиндән асылы олараг азалды. Бу о демәкдир ки, температурин вә тәзийгин артмасы илә, бухарланмая нефтин даһа ағыр һиссәләри мә'рүз галыр.

7,8-чи чәдвәлләрдә хүсуси чәкиси 0,894 вә 0,853 өлан нефтләр үчүн этанын һәллолма әмсалына температурин тә'сиринин мүгайисәси верилир. Метаандан фәргли олараг этанын нефтләрдә һәлл олмасына температурин тә'сири нефтин хүсуси чәкисинин чох олмасы һалларында көзә чарпыр (7,8-чи чәдвәлләрдә бах).

Пропанын (3) нефтдә һәлл олмасынын тәдгигатынын нәтичәләри 9,10, 11-чи чәдвәлләрдә верилир. Пропанын нефтин хүсуси чәкисиндән вә тәзийгдән асылы олараг һәлл олмасынын 85°C-дә мүгайисәси 12-чи чәдвәлдә верилир. Пропанын һәллолма әмсалларынын тәзийгдән вә температурдан асылылығы 13 вә 14-чу чәдвәлләрдә верилир.

13, 14-чу чәдвәлләрдән көрүндүйү кими, температуралын 19°C артмасы пропанын һәллолма әмсалынын хүсуси чәкиси 0,812 өлан нефтдә 2,2—2,7 дәфәйә (13-чу чәдвәлә бах) хүсуси чәкиси 0,894 өлан нефтдә 3,16—4,67 дәфәйә кими (14-чу чәдвәлә бах), тәзийгдән асылы олараг азалды.

12-чи чәдвәлдән вә 6-чи шәкиллән көрүндүйү кими тәзийгин артмамасы пропанын нефтдә һәллолма әмсалы кәскин сурәтдә артыр вә һәм дә, бу артым, нефтин хүсуси чәкиси аз оланда көзә чарпыр.

Газын айрылмасынын әмсалы һәлл олмасынын әмсалына бара-бәрdir.

Н. Н. КРЕМЕНЕЦКИЙ

## К РАСЧЕТУ ЗАТОПЛЕННЫХ ТУРБУЛЕНТНЫХ СТРУЙ

(Представлено академиком АН Азербайджанской ССР М. Ф. Нагиевым)

Вопрос о растекании турбулентной затопленной струи представляет большой теоретический и практический интерес.

Работы советских ученых Ф. И. Пикалова, Г. Н. Абрамовича, Е. А. Замарина, А. Я. Миловича, Н. А. Ржаницына и других показывают, что удовлетворительное решение таких проблем, как гашение энергии при затопленном нижнем бьефе, расчет консольных перепадов, расчет водоструйных насосов, гидромеханизация подводных работ и ряда других, тесно связано с растеканием турбулентной затопленной струи.

Растекание затопленной струи в безграничной массе покоящейся жидкости изучено довольно подробно [1, 4], однако этого нельзя сказать о растекании струи в потоках, как безграничных, так и ограниченных.

На рис. 1 показана схема растекания турбулентной затопленной струи в потоке жидкости, рассмотренная автором. Там же даны все обозначения, которыми будем пользоваться при изложении полученных результатов.

Расчет затопленной струи в первую очередь сводится к определению:

1) распределения продольных скоростей по поперечным сечениям струи и

2) размеров струи и ее границ.

Знание указанных величин позволяет установить остальные характеристики струи, как-то: расход, количество движения, запас кинетической энергии и среднюю скорость в любом сечении струи.

Рассматривая растекание турбулентной затопленной струи в потоке жидкости тех же физических свойств, что и вещество струи, как вероятностный процесс перемешивания молей жидкости в поле скоростей, мы, исходя из дифференциальных уравнений А. Н. Колмогорова [3], получили формулу распределения продольных скоростей по сечениям следующего вида:

$$U_x = V_n + \frac{(V_0 - V_n) \cdot F(\sigma)}{2\pi\sigma} \int_{-R_0}^{R_0} dz \int_{-R_0^2 - z^2}^{R_0^2 - z^2} e^{-\frac{(y-z)^2}{2\sigma^2}} dy, \quad (1)$$

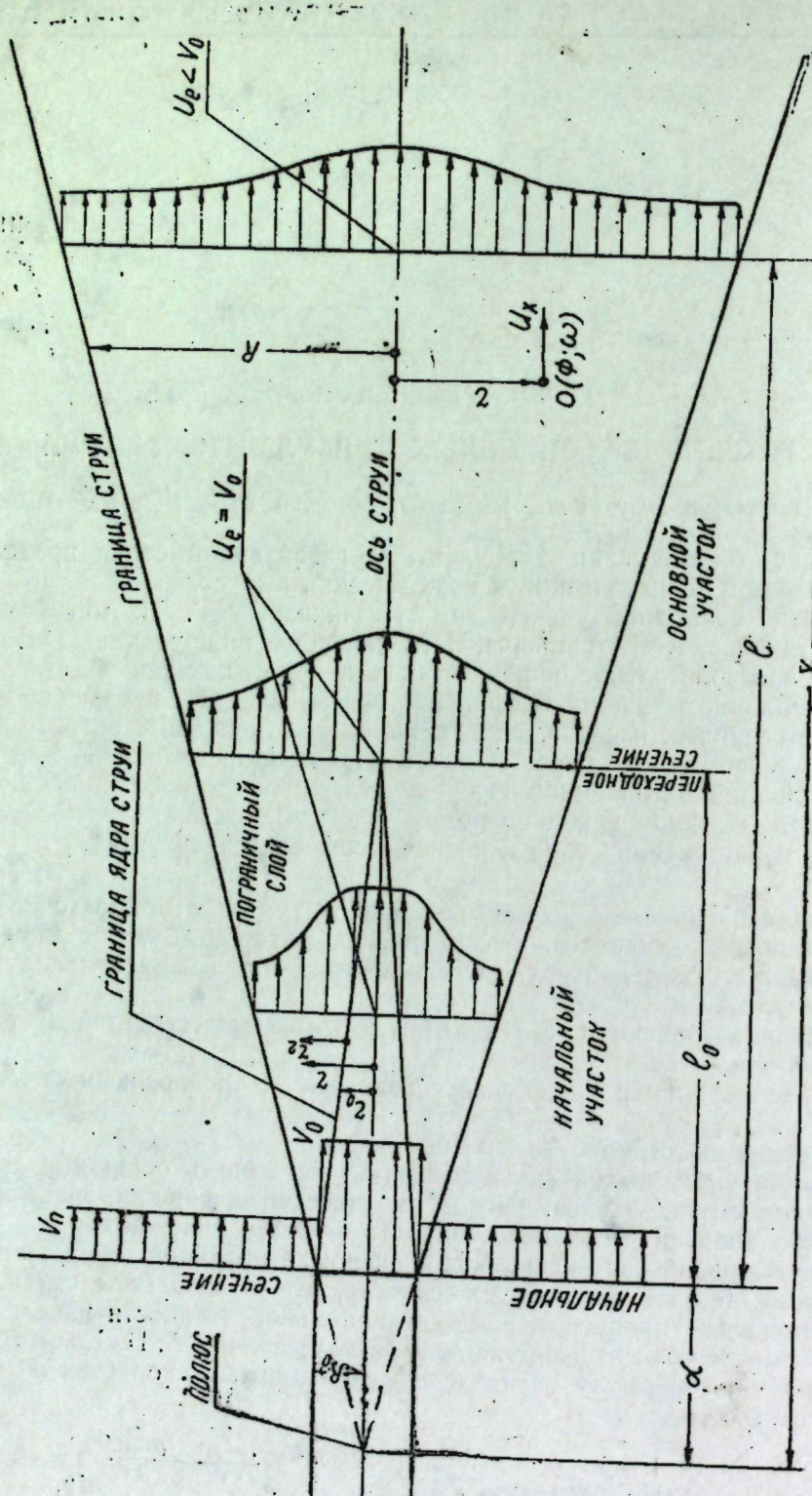


Рис. 1 Схема растекания струи

где  $\phi$  и  $\omega$ —вертикальная и поперечная координаты точки, в которой определяется скорость  $U_x$ ;  
 $\sigma$ —линейная функция расстояния от насадки  $l$ ;  
 $F(\sigma)$ —функция, вид которой определяется из условия

$$\int_{-\infty}^{+\infty} \int_{-\infty}^{+\infty} \rho U_x^2 dy dz = \text{const.}$$

Практическое использование формулы (1) затруднительно ввиду сложности и громоздкости расчетных зависимостей, получающихся после интегрирования правой части формулы (1). В связи с этим предлагается пользоваться упрощенными зависимостями, получающимися после интегрирования формулы (1) для случая точечного источника, расположенного в полосе струи (см. рис. 1). При этом расчет ведется отдельно для начального и основного участков струи.

Опуская промежуточные преобразования, приведем окончательные зависимости.

### Основной участок

Распределение скоростей в поперечных сечениях основного участка определяется формулой:

$$\frac{U_x}{V_0} - \beta = 2 \left( \sqrt{\beta^2 + (1 - \beta^2) \frac{R_o^2}{4 z^2}} - \beta \right) e^{-\frac{r^2}{2 z^2}}, \quad (2)$$

где

$$\beta = \frac{V_n}{V_0}.$$

Выражение для функции  $\sigma$  при растекании водяных струй было установлено нами путем обобщения многочисленных опытных данных [2, 5–7]:

$$\sigma = \frac{0,097}{1 + 2,55V\beta} (l + nR_o), \quad (3)$$

где  $n = 17,3 - 13,3 \frac{U_o}{V_0}$ ;

$U_o$ —скорость на оси струи в начальном сечении, при неравномерном распределении скоростей в этом сечении.

Границная поверхность струи в пределах начального участка описывается уравнением:

$$R = 0,208 \frac{l + nR_o}{1 + 2,55V\beta}, \quad (3)$$

вытекающим из условия, что для всех точек границной поверхности сохраняется, установленное на основании анализа опытных данных ряда автором [2, 5–7], равенство:

$$\frac{U_x - V_n}{U_e - V_n} = 0,1.$$

Пользуясь формулами (2) и (4), можно найти любую характеристику струи в сечении на расстоянии  $l$ , исходя из очевидных равенств:

$$Q_e = 2\pi \int_0^R U_x \cdot r \cdot dr \quad (\text{расход})$$

$$M_e = 2\pi \rho \int_0^R U_x^2 \cdot r \cdot dr \quad (\text{количество движения}) \quad (5)$$

$$E_e = \frac{\pi \nu}{g} \int_0^R U_x^3 \cdot r \cdot dr \quad (\text{кинетическая энергия})$$

Например, относительная величина расхода равна:

$$\frac{Q_e}{Q_o} = \frac{0,0338 \left( \frac{l}{R_o} + n \right)^2}{(1 + 2,55\sqrt{\beta})^2} (B + 1,29\beta), \quad (6)$$

где

$$B = \sqrt{\beta^2 + \frac{(1 - \beta^2)(1 + 2,55\sqrt{\beta})^2}{0,0376 \left( \frac{l}{R_o} + n \right)^2}} - \beta,$$

а относительный запас кинетической энергии равен:

$$\frac{E_e}{E_o} = \frac{0,0188 \left( \frac{l}{R_o} + n \right)^2}{(1 + 2,55\sqrt{\beta})^2} (2,67 \cdot B^3 + 5,93 B^2 \cdot \beta + 5,40 B \cdot \beta^2 + 2,31 \beta^3). \quad (7)$$

Отметим, что в частном случае расгекания струи в неподвижной неограниченной массе жидкости ( $V_n=0$ ), рекомендуемая нами формула (2) совпадает с формулой И. М. Коновалова [4], хорошо отвечающей опытным данным по растеканию как водяных, так и воздушных струй в неподвижной среде.

### Начальный участок

Принятая нами схема начального участка струи приведена на рисунке 2. Длина начального участка определяется из условия, что в переходном сечении  $U_e = V_o$ .

Тогда:

$$l_o = R_o \left[ 10,3(1 + 2,55\sqrt{\beta}) \sqrt{\frac{1 + \beta}{1 + 3\beta}} - n \right]. \quad (8)$$

Исходя из допущения, что в пределах пограничного слоя распределение скоростей соответствует формуле (2), получаем, согласно схеме (рис. 2):

а) для точек сечения в пределах ядра ( $r \leq r_o$ )

$$U_x = V_o;$$

б) для точек сечения в пределах пограничного слоя ( $r > r_o$ )

$$\frac{U_x}{V_o} - \beta = (1 - \beta) e^{-\frac{(r - R_o + \frac{1}{M})^2}{2} \frac{M^2}{P_m}}, \quad (9)$$

где

$$m = \sqrt{\frac{1 + \beta}{1 + 3\beta}}; \quad M = 10,3(1 + 2,55\sqrt{\beta}) \sqrt{\frac{1 + \beta}{1 + 3\beta}} - n.$$

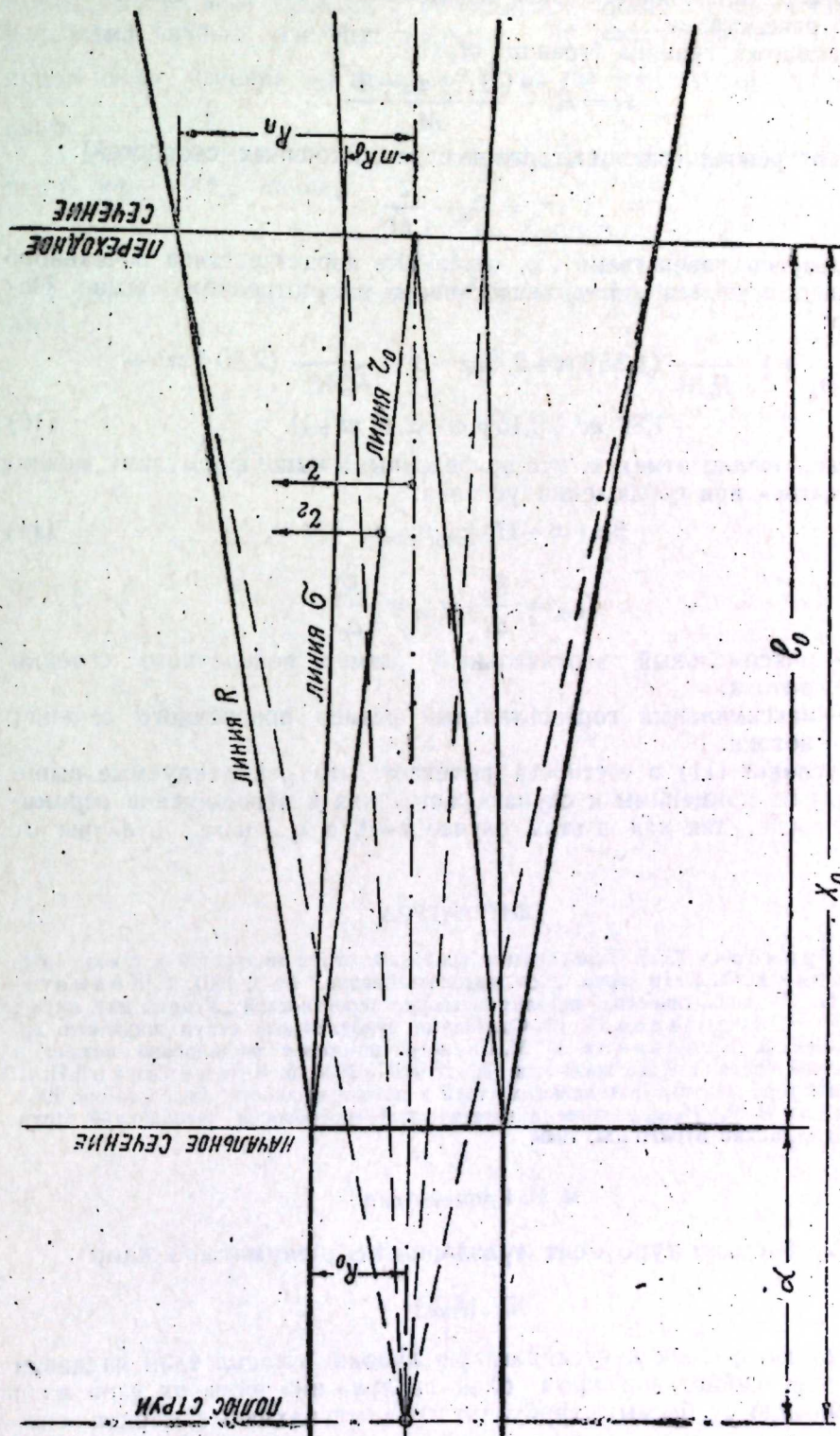


Рис. 2  
Схема начального участка струи

Границы пограничного слоя определяются, согласно формуле (4) и рис. 2, равенствами:

а) внешняя граница (граница струи):

$$R = R_o + \frac{2,14 m - 1}{M} \cdot l;$$

б) внутренняя граница (граница ядра постоянных скоростей):

$$r_o = R_o - \frac{l}{M}.$$

Пользуясь равенствами (5), остальные характеристики начального участка получаются путем, аналогичным рассмотренному выше. Например:

$$\begin{aligned} \frac{Q_e}{Q_o} = 1 + \frac{l}{R_o M} (1,85 \beta m + 2,43 m - 2) + \frac{l^2}{R_o^2 M^2} (2,80 \beta m^2 + \\ + 1,80 \cdot m^2 + 0,15 \beta m - 2,43 m + 1). \end{aligned} \quad (10)$$

В заключение отметим, что приведенными выше формулами можно пользоваться при соблюдении условия:

$$\beta > (16 - 17) \chi_{\text{вер}} : \chi_{\text{гор}}, \quad (11)$$

где

$$\chi_{\text{вер}} = \frac{R_o}{a_1}; \quad \chi_{\text{гор}} = \frac{R_o}{a_2};$$

$a_1$  — максимальный вертикальный размер поперечного сечения потока;

$a_2$  — максимальный горизонтальный размер поперечного сечения потока.

Из условия (11) в частности вытекает, что рекомендуемые выше формулы не применимы к случаю растекания в неподвижной ограниченной среде, так как в этом случае  $\beta = 0$ , а  $\chi_{\text{вер}}$  и  $\chi_{\text{гор}}$  отличны от нуля.

#### ЛИТЕРАТУРА

1. Абрамович Г. Н. Турбулентные свободные струи жидкостей и газов, 1948.
2. Замарин Е. А. Удар струи. „Соц. водопользование.“ № 2, 1931. 3. Колмогоров А. Н. Об аналитических методах в теории вероятностей „Успехи мат. наук“, № 5, 1938. 4. Коновалов И. М. Свободные турбулентные струи жидкости. Тр. ЛИИВТ, 1947. 5. Коновалов И. М. Симметрично-осевое расширение потока в безграничной среде той же жидкости. Тр. ЛИИВТ, 1938. 6. Кременецкий Н. Н. Растекание турбулентных затопленных струй в потоке жидкости. Диссертация, 1952. 7. Чичасов В. Я. Исследование энергетической способности затопленной струи. Диссертация, архив ВНИГиМ, 1949.

Н. Н. Кременецки

Су басмыш турбулент лүләләрин һесабланмасына даир

#### ХУЛАСЭ

Мэгаләдә, физики хүсусийэтләри лүләни тәшкىл әдән маддәнин физики хүсусийэтләри кими олан вә лүлә илә әйни ох үзрә ахан мае ахынында су басмыш турбулент лүләләрин ахмасы нәзәрдән кечириләр.

Стохастик просесләр нәзәрийәсинин тәтбиғи эсас һесаблама асылығыны—лүләнин ән кәсийндә узунуна сүр'этин  $U_x(1)$  бөлүнмәси формулуну тапмаға имкан вермишdir.

Буны практикада тәтбиғ әтмәкдән өтүр айры-айрылыгда лүләнин башланғыч вә эсас саһәләри үчүн садәләшдирилмиш формулалар үзрә һесаблама апармаг мәсләһәт көрүлүр. Бу вахт лүләнин ән кәсийндә нисби узунуна сүр'этләр  $\frac{U_x}{V_o}$  (2) вә (9) формулалары илә тә'йин олунур.

Лүләнин эсас вә башланғыч саһәләринин сәрһәдләри ашағыдакы шартта көрә тә'йин әдилер:

$$\frac{U_x - V_n}{U_e - V_n} = 0,1$$

Галан һесаблама формулалары исә әзвәлки формулалардан чыхарылышы.

А. Ф. КАСИМОВ

К ВЫТЕСНЕНИЮ ОДНОЙ ВЯЗКОЙ ЖИДКОСТИ ДРУГОЙ  
В ГОРИЗОНТАЛЬНОЙ КРУГЛОЙ ЦИЛИНДРИЧЕСКОЙ ТРУБЕ  
ПРИ ТУРБУЛЕНТНОМ РЕЖИМЕ ДВИЖЕНИЯ

(Представлено академиком АН Азербайджанской ССР З. И. Халиловым)

Последовательные движения двух вязких жидкостей встречаются при перекачке различных жидкостей по одному трубопроводу, при выталкивании застывших нефте продуктов [3, 7], при гидравлическом разрыве нефтяных пластов [2] и т. д. Поэтому рассмотрение теоретической задачи, указанной в заглавии, имеет и определенный практический интерес.

Ранее вытеснение одной вязкой жидкости другой в горизонтальной трубе при турбулентном режиме движения было рассмотрено без учета различия их вязкостей [7]. Так как точное гидродинамическое решение указанной в заглавии задачи затруднительно, нами использован приближенный метод решения, с помощью которого ранее был решен ряд задач последовательной перекачки двух вязких жидкостей при ламинарном режиме движения [1, 4].

В горизонтальной круглой цилиндрической трубе общее выражение для скорости любой точки живого сечения жидкости при турбулентном режиме движения будет:

$$U = \frac{dx}{dt} = k \left( \frac{\tau g}{\tau} \right)^{\frac{1+n}{2}} \left( \frac{R-r}{v} \right)^n, \quad (1)$$

где  $R$ —радиус трубы,

$r$ —расстояние точки от оси трубы,

$\tau$ —напряжение сдвига,

$\tau$ —объемный вес,

$v$ —кинематическая вязкость,

$k$ —число, зависящее от показателя  $n$ ,

$n$ —показатель, зависящий от значения числа Рейнольдса.

Значение  $n$  меняется в пределах  $\frac{1}{7} \div \frac{1}{10}$ . При законе Блазиуса

$(Re \ll 10^5) \cdot n = \frac{1}{7}$ . С увеличением  $Re$  число  $n$  уменьшается. Отметим,

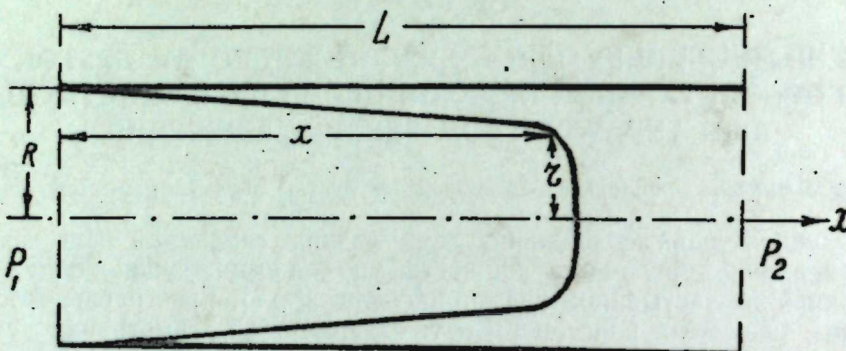
что в опытах Никурадзе при наибольшем значении  $Re$  т. е. при  $Re = 3,24 \cdot 10^6$ , значение  $n$  было равно всего лишь  $\frac{1}{10}$  [5].

При вытеснении одной вязкой жидкости другой выражения для скорости любой точки живого сечения для вытесняющей и вытесняемой жидкостей будут:

$$U_1 = k \left( \frac{\gamma_1 g}{\gamma_1} \right)^{\frac{1+n}{2}} \left( \frac{R-r}{v_1} \right)^n \quad (2)$$

$$U_2 = k \left( \frac{\gamma_2 \epsilon}{\gamma_2} \right)^{\frac{1+n}{2}} \left( \frac{R-r}{v_2} \right)^n \quad (3)$$

Здесь величины с индексами 1 относятся к вытесняющей жидкости, а с индексами 2—вытесняемой.



Давление на концах трубопровода принимаем постоянными. Пренебрегаем гравитационными силами, а также влиянием начального участка. Эпюру распределения скоростей обоих жидкостей—вытесняющей и вытесняемой—принимаем такой же, как и при движении однородной жидкости при тех же граничных условиях.

Напряжение сдвига жидкости, равномерно распределенное на поверхности цилиндра, определится из условия равновесия:

$$\tau_1 = \frac{P_1 - P}{2x} R \quad (4)$$

$$\tau_2 = \frac{P - P_2}{2(L-x)} R, \quad (5)$$

где  $P_1, P_2$ —давление в начале и конце трубопровода.

$P$ —давление в линии контакта жидкостей<sup>1</sup>.

Подставляя значения  $\tau_1$  и  $\tau_2$  из (4) и (5) в (2) и (3) и приравнивая последние, получим выражение давления в линии контакта:

$$P = \frac{P_1 \gamma_2 v_2^{\frac{1+n}{2}} (L-x) + P_2 \gamma_1 v_1^{\frac{1+n}{2}} x}{\gamma_1 v_1^{\frac{1+n}{2}} x + \gamma_2 v_2^{\frac{1+n}{2}} (L-x)} \quad (6)$$

<sup>1</sup> Отмечаем, что под давлением и скоростью подразумеваются их средние значения во времени в направлении главного потока, отвлекаясь от накладывающихся на него периодических колебаний, связанных со смешением за счет вихрей.

или

$$P = \frac{P_1(1-y) + P_2 \epsilon y}{1 + (\epsilon - 1)y}, \quad (7)$$

где введены обозначения:  $\frac{x}{L} = y$ ,  $\frac{\gamma_2}{\gamma_1} = \epsilon$ ,  $\left( \frac{v_2}{v_1} \right)^{\frac{1+n}{2}} = \beta$ ,  $(\epsilon, \beta)^{-1} = z$ .

Используя (2), (4) и (7), получим выражение для скорости в безразмерных величинах:

$$\frac{dy}{dT} = \left[ \frac{i \epsilon}{1 + y(z-1)} \right]^{\frac{1+n}{2}} (1-z)^n, \quad (8)$$

где  $z = \frac{r}{R}$ ,  $i = \frac{P_1 - P_2}{\gamma_1 L}$ , а безразмерное время  $T = 2^{-\frac{1+n}{2}} kg^{\frac{1+n}{2}} L^{-\frac{1+3n}{2}} v_1^{-n} t$ .

Интегрируем выражение (8), имея начальные условия: при  $T=0, y=0$ .

$$\int_0^y [1 + (z-1)y]^{\frac{1+n}{2}} dy = (i \epsilon)^{\frac{1+n}{2}} (1-z)^n \int_0^T dT,$$

откуда

$$T = \frac{2}{3+n} \frac{1 - [1 + (z-1)y]^{\frac{1+n}{2}}}{(1-z)(i \epsilon)^{\frac{1+n}{2}} (1-z)^n}. \quad (9)$$

Время появления вытесняющей жидкости на концевом сечении трубопровода, т. е. для точки  $z=0, y=1$ , будет

$$T_0 = \frac{2}{3+n} \frac{1 - z^{\frac{1+n}{2}}}{(1-z)(i \epsilon)^{\frac{1+n}{2}}}. \quad (10)$$

За время  $T_0$  из первоначального объема вытесняемой жидкости ( $w$ ) часть выйдет из трубопровода, а остальная часть ( $\Delta w$ ) останется в нем. Определение отношения:

$$\frac{\Delta w}{w} = f(R, L, v_1, v_2, \gamma_1, \gamma_2, P_1, P_2)$$

представляет практический и теоретический интерес.

$$\frac{\Delta w}{w} = 1 - \int_0^1 z^2 dy. \quad (11)$$

Из (9) получим зависимость  $z=z(y)$ .

$$z = 1 - \left[ \frac{2}{3+n} \frac{1 - [1 + (z-1)y]^{\frac{1+n}{2}}}{(1-z)(i \epsilon)^{\frac{1+n}{2}} T} \right]^{\frac{1}{n}}. \quad (12)$$

При  $T = T_0$  последнее выражение примет вид:

$$z = 1 - \left[ \frac{1 - [1 + (\varepsilon - 1)y]^{\frac{3+n}{2}}}{1 - \varepsilon^{\frac{3+n}{2}}} \right]^{\frac{1}{n}}. \quad (13)$$

Подставляя значение  $z$  из (13) в (11), определим отношение  $\frac{\Delta w}{w}$ :

$$\frac{\Delta w}{w} = 1 - \int_0^1 \left\{ 1 - \left[ \frac{1 - [1 + (\varepsilon - 1)y]^{\frac{3+n}{2}}}{1 - \varepsilon^{\frac{3+n}{2}}} \right]^{\frac{1}{n}} \right\} dy. \quad (14)$$

Интегрирование (14) дает:

$$\frac{\Delta w}{w} = (\varepsilon - 1)^{-1} \left( 1 - \varepsilon^{\frac{3+n}{2}} \right)^{-\frac{1}{n}} \left\{ 2(\varepsilon - 1) + 4 \sum_{j=1}^{\frac{1}{n}} (-1)^j \frac{C_1^j}{(3+n)j+2} \left( \varepsilon^{\frac{(3+n)j+2}{2}} - 1 \right) - \right. \\ \left. - \left( 1 - \varepsilon^{\frac{3+n}{2}} \right)^{-\frac{1}{n}} \left[ \varepsilon - 1 + 2 \sum_{j=\frac{2}{n}}^1 (-1)^j \frac{C_2^j}{(3+n)j+2} \left( \varepsilon^{\frac{(3+n)j+2}{2}} - 1 \right) \right] \right\} \quad (15)$$

Для случая  $R_e \ll 10^5$  (закон Блазиуса)  $n = \frac{1}{7}$  выражение (15) примет следующий вид:

$$\frac{\Delta w}{w} = 2(\varepsilon - 1)^{-1} \left( 1 - \varepsilon^{\frac{11}{7}} \right)^{-7} \left[ \varepsilon - 1 + \sum_{j=1}^7 (-1)^j \frac{7 C_7^j}{11j+7} \left( \varepsilon^{\frac{11}{7}j+1} - 1 \right) \right] - \\ - (\varepsilon - 1)^{-1} \left( 1 - \varepsilon^{\frac{11}{7}} \right)^{-14} \left[ \varepsilon - 1 + \sum_{j=1}^{14} (-1)^j \frac{7 C_{14}^j}{11j+7} \left( \varepsilon^{\frac{11}{7}j+1} - 1 \right) \right]. \quad (16)$$

Определение расходов жидкостей во времени производится аналогично способу, изложенному в [6].

#### ЛИТЕРАТУРА

- Аббасов А. А., Касимов А. Ф., Мирзаджанзаде А. Х. О вытеснении вязкой жидкости другой в вертикальной круглой цилиндрической трубе при ламинарном режиме движения. Изв. АН СССР, ОТН, № 3, 1956.
- Абдулаев М. А., Велибеков А. А., Карапетов К. А., Меликбеков А. С. Гидравлический разрыв пласта. Азнефтездат, 1956.
- Григорян Г. М., Черникян В. И. Подогрев нефтяных продуктов. Гостоптехиздат, 1947.
- Касимов А. Ф. Последовательное движение двух вязких жидкостей в трубе при ламинарном режиме движения. Техн. отч. АзНИИ ДН, 1956.
- Рихтер Гуго. Гидравлика трубопроводов. ОНТИ, НКПТ СССР, 1935.
- Чарый И. А. Методы расчета перемещения границы раздела нефти и воды в пластах. Изв. АН СССР, ОТН, № 4, 1954.
- Яблонский В. С. Смещение нефтепродуктов при последовательной перекачке по одному трубопроводу. НХ, № 2, 1946.

Э. Ф. Гасымов

Үфүги даирәви силиндрик боруда турбулент режимдә бир нечә өзлү маенин ардычыл ахымына даир

#### ХУЛАСӘ

Өзлү маеләрин ардычыл ахымына техникины мұхтәлиф саһәсүндә, о чүмләдән чүрбәчүр нефт мәңсулуунун бир кәмәрдән ахыдылmasында, нефт лайынын һидравлик ярылмасында вә с. налларда раст кәлмәк олур.

Бу вахта гәдәр турбулент режимдә ардычыл ахынты мәсәләсилә мәшгүл оланлар маеләрин ән мүһум физики хассәләрнән бири олан өзлүлүйү нәзәрә алмайыблар. Бу мәгаләдә исә һәмин хассә, истәр итәләйән, истәрсә дә итәләнән маенин өзлүлүкләри нәзәрә алынышдыр. Эслинде сәрлөвһәдә көстәрілән мәсәләнин дәғиг һидродинамик һәлли хейли чәтиндир. Буна көрә тәгреби үсулдан истифадә олунмушудур.

Әкәр итәләнән маенин борудақы илк һәчми  $w$  идисә, итәләйән мае борунун ахырына чатаңда бу һәчм  $\Delta w$  олур.  $\frac{\Delta w}{w}$  нисбәтинин тапылмасы һәм нәзәри, һәм дә әмәли чәһәтдән әһәмийәтлидир. Бу нисбәт  $\frac{\Delta w}{w} = f(R, L_1, v_1, v_2, \gamma_1, \gamma_2, P_1, P_2)$  асылылығы шәклиндә тапылмушдыр. Бурада  $R$  — борунун дахили радиусу,  $L$  — борунун узунлугу,  $v_1, v_2$  — итәләйән вә итәләнән маеләрин кинематик өзлүлүйү,  $\gamma_1, \gamma_2$  — һәмин маеләрин һәчм чәкиләри,  $P_1, P_2$  — борунун әввәлиндә вә ахырындакы тәзийгидир.

$\frac{\Delta w}{w}$  нисбәти дүстүру турбулент режимдә һәм үмуми шәкилдә, йә'ни Рейнолдс әдәдинин бүтүн гийметләри үчүн, һәм дә хүсуси шәкилдә — Блазиус ғанууны чөрчүвәсендә ( $Re \ll 10^5$ ) тапылмушдыр.

И. И. ГЮЛЬМАМЕДОВ

РАСЧЕТ СТАТИЧЕСКИХ ХАРАКТЕРИСТИК ДИЗЕЛЬ-  
ЭЛЕКТРИЧЕСКОГО ПРИВОДА ПЕРЕМЕННОГО ТОКА

(Представлено академиком АН Азербайджанской ССР М. Ф. Нагиевым)

При проектировании дизель-электрического привода переменного тока для бурения нефтяных скважин необходимо иметь статические характеристики всего агрегата в целом.

До настоящего времени статические характеристики дизель-электрического привода переменного тока строились графо-аналитическим методом. Однако трудности, связанные со снятием значительного числа характеристик отдельных элементов агрегата и с графическими построениями, ограничивают возможности этого метода.

При аналитическом построении статических характеристик дизель-электрического привода переменного тока заданными величинами являются скорость вращения первичного двигателя (дизеля) при холостом ходе и сопротивление в цепи возбуждения возбудителя.

Известно [2], что для машин постоянного и, переменного тока можно использовать так называемую универсальную характеристику холостого хода для номинальной скорости вращения ротора, построенную в относительной системе единиц. В литературе [1] имеется ряд эмпирических выражений, описывающих данную кривую с той или иной степенью точности. В предлагаемом методе использовано выражение

$$e = \frac{1 + A}{1 + Ai_b} i_b, \quad (1)$$

где  $A$ —постоянный коэффициент, равный 1,21.

С помощью уравнения (1) представляется возможным определить зависимость напряжения на зажимах возбудителя от сопротивления в цепи возбуждения и скорости вращения его ротора.

Если скорость первичного двигателя изменилась от 1 до  $v$ , то при том же сопротивлении в обмотке возбуждения возбудителя напряжение его определится точкой  $a$  (рис. 1). Как следует из чертежа

$$e_{ab} = \frac{1}{A} [(1 + A)v - r_b], \quad (2)$$

где

$$r_b = \frac{e_{ab}}{i_{b1}}.$$

По величине найденной э. д. с. определяется ток в обмотке ротора синхронного генератора.

Напряжение холостого хода синхронного генератора может быть определено двояко—для машин с ненасыщенной и насыщенной магнитными системами.

Для ненасыщенных машин, что в основном имеет место при работе асинхронного двигателя от синхронного генератора соизмеримой мощности, определение напряжения холостого хода генератора производится по спрямленной универсальной характеристике холостого хода, для любой скорости которой справедливо:  $E_{1p} = 1,2 i_{p1} v$ .

Для насыщенных машин э. д. с. холостого хода синхронного генератора находится с помощью выражения (1).

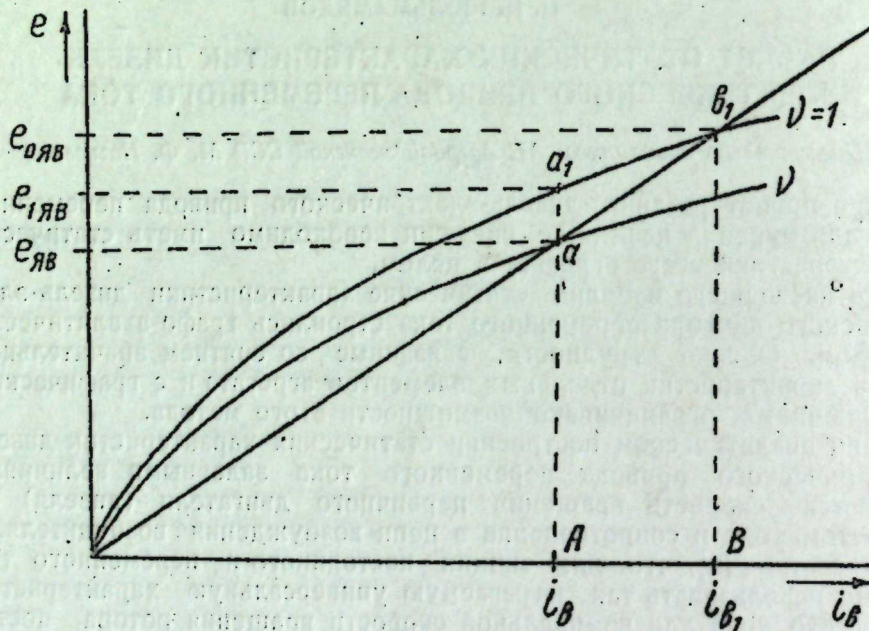


Рис. 1

При скорости вращения ротора, равной 1, найденному значению тока возбуждения генератора соответствует э. д. с.  $E_{01}$ , а при скорости вращения  $v - E_{0H}$  (рис. 2). Как следует из чертежа:

$$E_{0H} = v \frac{1 + A}{1 + A i_{p1}} i_{p1}. \quad (3)$$

Связь между э. д. с. холостого хода синхронного генератора и напряжением его при нагрузке устанавливается из векторной диаграммы и построений на ней (рис. 3):

$$U = E_{0H} \frac{\sqrt{r^2 + x^2}}{r^2 + (x + x_d)(x + x_q)} \sqrt{r^2 + (x + x_d)^2}. \quad (4)$$

Полученное соотношение (4) позволяет вывести уравнение для момента асинхронного двигателя, питающегося от автономного синхронного генератора.

Исходным уравнением для вывода искомого выражения является известное выражение момента асинхронного двигателя:

$$M = \frac{3 U_\Phi^2 r_2^1}{9,81 \omega s \left[ \left( r_1 + c \frac{r_2^1}{s} \right)^2 + (x_1 + cx_2')^2 \right]}; \quad (5)$$

здесь  $U_\Phi$ —фазное напряжение на зажимах двигателя;  
 $r_1, r_2$ —активное сопротивление статорной обмотки и приведенное к статору активное сопротивление роторной обмотки;  
 $x_1, x_2'$ —индуктивное сопротивление статорной обмотки и приведенное к статору индуктивное сопротивление роторной обмотки;  
 $s$ —скольжение;  
 $\omega$ —угловая скорость вращающегося поля.

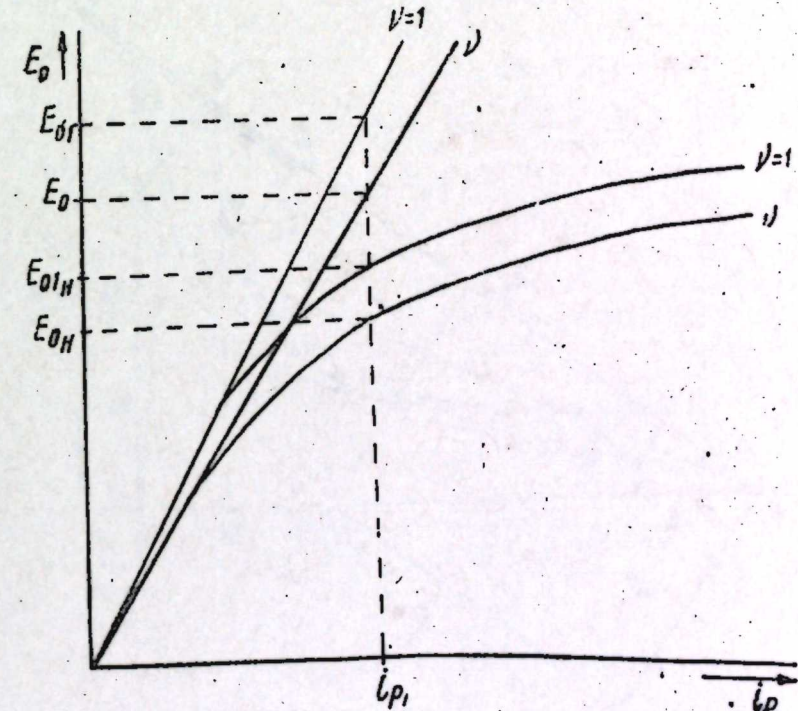


Рис. 2

Как следует из схемы замещения асинхронного двигателя, приведенный ток ротора равен:

$$I_2' = \frac{U_\Phi z_m}{\left( z_1 + \frac{z_m z_2}{z_m + z_2} \right) (z_m + z_2')} = \frac{U_\Phi}{z_1 + c z_2'}, \quad (6)$$

где  $z_1$ —сопротивление статорной цепи;  
 $z_2$ —приведенное сопротивление роторной цепи;  
 $z_m$ —сопротивление контура намагничивания;

$$C = 1 + \frac{z_1}{z_m} \approx 1.$$

Подставляя в формулу момента (5) значение напряжения (4) и имея в виду сказанное выше для приведенного тока ротора, имеем:

$$M = \frac{3E_{\text{on}}^2 \left[ \left( r_1 + \frac{r'_2}{s} \right)^2 + (x + x_q)^2 \right] r'_2}{9,81 \omega s \left[ \left( r_1 + \frac{r'_2}{s} \right)^2 + (x + x_q)(x + x_d) \right]^2} \times \\ \times \frac{r_m^2 + x_m^2}{\left( r_m + \frac{r'_2}{s} \right)^2 + (x_m + x_2')^2}, \quad (7)$$

где  $x$ —эквивалентное реактивное сопротивление нагрузки, равное  $x_1 + cx'_2$ .

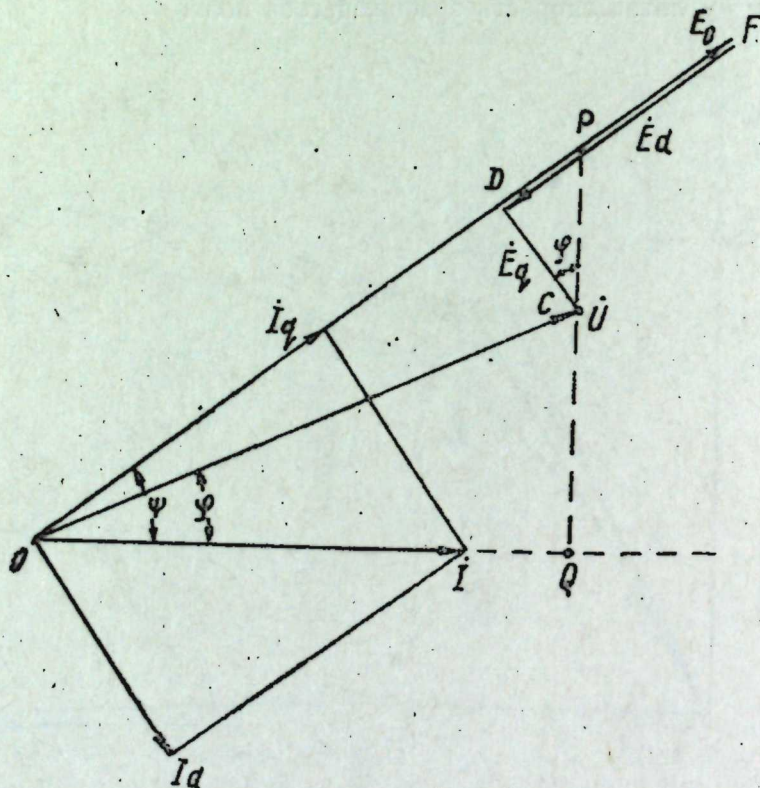


Рис. 3.

Потребляемый двигателем ток определяется как

$$I = \frac{U}{|z|} = \frac{E_{\text{on}} V r^2 + (x + x_q)^2}{r^2 + (x + x_d)(x + x_q)}, \quad (8)$$

где  $z$ —сопротивление двигателя, а потребляемая мощность

$$P_c = 3U_\phi I_\phi \cos \varphi = E_{\text{on}}^2 \frac{[r^2 + (x + x_q)^2] r}{[r^2 + (x + x_q)(x + x_d)]^2}, \quad (9)$$

где

$$\cos \varphi = \frac{r}{\sqrt{r^2 + x^2}}. \quad (10)$$

Полученные зависимости являются более общими, чем известные в литературе, выведенные для случая питания асинхронного двигателя от сети бесконечной мощности, т. е. при  $x_d = x_q = 0$  и  $E_{\text{on}} = U$ .

Предлагаемая выше методика расчета статических характеристик основана на предположении, что скорость первичного двигателя (дизеля) остается постоянной, так как практическая механическая характеристика дизеля достаточно жесткая. Однако в тех случаях, когда бывает необходимо учесть изменение скорости дизеля, можно воспользоваться методом последовательных приближений.

Определенный по формуле (7) момент, при известной начальной скорости вращения вала дизеля, переносится как нагрузка на дизель.

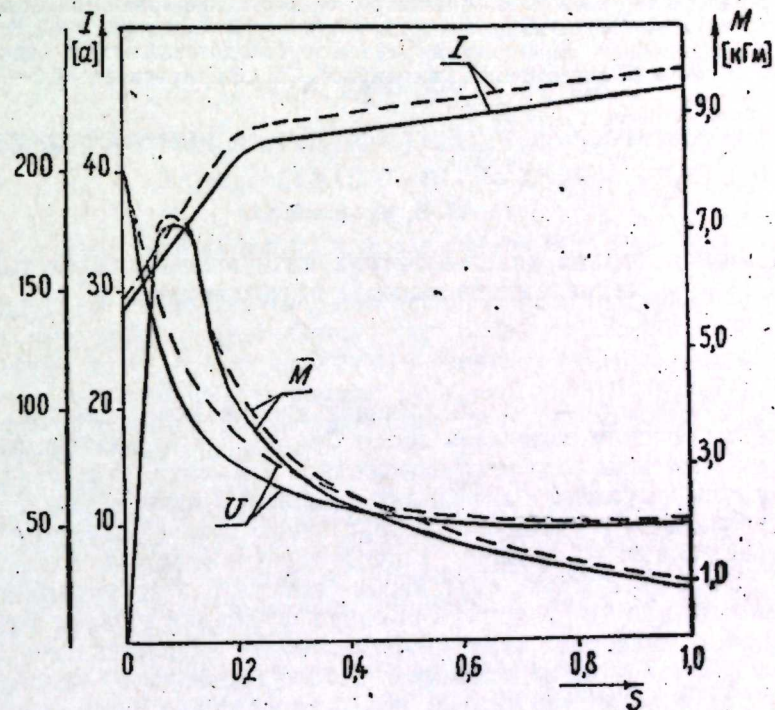


Рис. 4

— эксперимент; — — расчет

Иными словами, без учета потерь в передачах, мощность на валу асинхронного двигателя приблизительно равна мощности на валу дизеля  $P_{\text{ад}} \approx P_{\text{диз}}$  или  $M_{\text{ад}} n_{\text{ад}} \approx M_{\text{диз}} n_{\text{диз}}$ .

Рабочая часть механической характеристики дизеля представляет собой почти прямую линию:  $n_{\text{диз}} = n_{\text{одиз}} - k P_{\text{диз}}$ , где  $k$ —угловой коэффициент:  $n_{\text{одиз}}$ —скорость вращения вала дизеля на холостом ходу.

Отсюда, найдя скорость  $n_{\text{диз}}$  при передаче на него нагрузки  $P_{\text{ад}} = P_{\text{диз}}$ , определяют частоту, напряжение холостого хода генератора, уточняют значения реактивных сопротивлений и вновь по формуле (7) вычисляют момент.

На рисунке 4 представлены вычисленные по изложенному методу и экспериментально снятые характеристики для двигателя МТ-41-8, мощностью 11 квт, при ПВ=25 % с закороченными кольцами ротора, при питании его от установки с синхронным генератором МСА-72/4А, мощностью 15 ква.

Как видно из приведенных кривых, разница между рассчитанным и экспериментальными кривыми не превышает 6–7 %.

В итоге проделанной работы предложен метод расчета статических характеристик аналитическим способом, при отсутствии стабилизирующих цепей генератора устройства. Построенные характеристики позволяют судить о том, насколько отличны характеристики асинхронного двигателя в данном случае от таковых, получаемых при питании от шин бесконечной мощности, и о том, удовлетворяют ли они требованиям объекта.

## ЛИТЕРАТУРА

1. А рхангельский Б. И. Аналитическое выражение кривой намагничивания электрических машин. Журн. «Электричество», № 3, 1950.
2. Т ольвийский В. А. Универсальная приведенная характеристика генераторного холостого хода динамоэлектрических машин и ее аналитическое выражение. Сб. «Электросила», № 2–3, 1945.

Институт энергетики  
АН Азербайджанской ССР

Поступило 27. VIII 1956

И. И. Кулмеммадов

Дэйишэн чэрэян дизел-электрик интигалинын статистик  
характеристикасынын несабланмасы

## ХУЛАСЭ

Нефт гуюлары газмаг учун дэйишэн чэрэян дизел-электрик интигалинын лайнэсими назырлайи заман бүгүнлүкэл агрегатын статистик характеристикасыны элдэ этмэк зэруридир. Мэгалэдэ, статистик характеристиканы мүэллиф тэрэфиндэн ишлэнилийг назырланмыш анализ несабланмасы үсүлундан истифадэ этмэк тэклиф олунур.

Оядырычынын вэ синхрон кенераторунун электрик нэрэктэг гуввесини тэйин этмэктэн өтгүү, нисби ваидлэрдэ вэ эмпирик гейдэг назырланмыш машын роторунун номинал фырланма сүрэти учун бош фырланманын универсал характеристикасындан истифадэ олунур.

Мэгалэдэ, доймуш вэ доймамыш магнит системлэри учун синхрон кенераторунун электрик нэрэктэг гуввесини тэйин этмэк үсүлүү көстэрилж. Синхрон кенераторунун сыхачларында кэркинлий тэйин этмэк учун онун вектор диаграммын анистифадэ олунур.

Алыныш нисбэтлэр сэргээст синхрон кенераторундан чэрэян алан асинхрон мүнхэррикинин моменти учун тэнлиг гурмаа, мүнхэррикин сыхачларындаки кэркинлий, сэргээж олунан чэрэяны вэ күчү тэйин этмэйэ имкан верир.

4-чу шэкилдэ тэклиф олунмуш үсулла несабланмасы вэ тэчрүбэйолу илэ алыныш характеристика көстэрилж. Мүгайисэдэн көрүнчдүү кими алыныш нэтичэлэр гэнаэтбэхшидир.

Элдээдилмиш асылылыглар, асинхрон мүнхэррикин күчү һэдсиз олан шебэкэдэн чэрэян верилмэсн һалы учун өдөбийтдан мэлум олан асылылыглара нисбэтэн даха үмумидир.

## ПЕТРОГРАФИЯ

А. И. МАМЕДОВ

### ПЕТРОГРАФИЧЕСКАЯ ХАРАКТЕРИСТИКА РОГОВИКОВ ДАЛИДАГСКОГО ИНТРУЗИВА

(Представлено академиком АН Азербайджанской ССР М.-А. Кашиаем)

Далидагский однофазный многофациальный интрузив является наиболее крупным в центральной части Малого Кавказа. Южная и юго-западная части его скрыты под четвертичными лавами, а остальная часть контактирует с породами различного литологического состава, в связи с чем и характеризуется своеобразными контакт-метасоматическими образованиями.

В опубликованных работах [1, 2] были описаны шесть типов скарновых образований и более двадцати контактных минералов в ореоле Далидагского интрузива. Дальнейшее исследование контактных пород позволило нам выявить ряд типов роговиков, а также установить причины наличия скарновых образований лишь на Багырсахском участке и на Гаранлыгдере.

Прежде чем перейти к описанию роговиков мы попытаемся объяснить природы приуроченности скарновых образований к этим участкам массива.

Вопросы о степени распространения метасоматических образований, в зависимости от определенных факторов, детально рассматривались в работах Д. С. Коржинского [3]. Глубоко анализируя эти процессы, указанный автор приходит к выводу, что диффузионный метасоматоз, несмотря на его широкое распространение в природе, всегда имеет местный характер. Региональное действие метасоматоза при метаморфизме горных пород связано только с инфильтрационным метасоматозом.

Выше отмечено, что скарновые образования в ореоле Далидагского интрузива, в основном, встречаются на Багырсахском участке и в Гаранлыгдере, т. е. на юго-восточной и северо-западной перифериях массива, где выступает огромная толща сенонских известняков, слагающая ядро Гаранлыг-Багырса-Гарахачской антиклинали. Внедрение интрузива по разлому в осевой части этой антиклинальной структуры обусловило ряд тектонических смещений во вмещающих породах северного крыла. Эти ослабленные зоны образовались в указанных участках и служили пугами для циркуляции восходящих растворов, давших околотрещинный диффузионный метасоматоз, в связи с чем и

скарны приурочены к этим участкам. В остальных контактовых полосах интрузива, где не имеются тектонические разрывы, изменение подобных известняков выражено мраморизацией.

Узость зоны скарновых образований в ореоле данного массива связана: 1) с окологречинным диффузионным метасоматозом, имевшим наиболее интенсивное действие в двух указанных контактовых участках массива; 2) с быстрым выделением летучих компонентов при гипабиссальных условиях кристаллизации гранитоидного интрузива и 3) с изменением физико-химических условий кристаллизации магмы, близкой к эвтектической. Приближение кристаллизации магмы к эвтектической значительно способствовало понижению температуры вблизи контакта.

Все перечисленные процессы в той или иной степени являются определяющими факторами локальности скарновых образований в ореоле Далидагского интрузива.

В ореоле Далидагского интрузива по минералогическому составу нами [1] выделяются шесть типов роговиков:

- 1) силлиманито-лимонито-плагиоклазовый,
- 2) пироксено-гранатовый,
- 3) пироксено-плагиоклазовый,
- 4) кордиерито-эпидотовый,
- 5) плагиоклазо-биотитовый,
- 6) гранато-кордиеритовый.

Ниже дается их петрографическое описание.

Силлиманито-лиманито-плагиоклазовые роговики имеют незначительное развитие в Гаранлыгдере. По внешнему виду породы серые с буроватым оттенком, тонко зернистые.

Порода состоит из мелкозернистой плагиоклазовой массы, лимонита, образующего часто сплошные поля, спорадически рассеянного доломита с кристалликами ромбического очертания, зерен силлиманита и реже граната.

Силлиманит призматической формы со слабыми трещинами спайности, рельеф высокий. Размеры зерен  $0,102 \times 0,063$  мм; удлинение положительное  $N_g - N_p = 0,021 - 0,023$  (по компенсатору Берека). Интерференционная окраска первого порядка; плеохроизм отсутствует, иногда слабо заметен, погасание прямое (рис. 1).

Гранат встречается в подчиненном количестве в виде неправильных форм зерен. Рельеф высокий, изотропный.

Пироксеново-гранатовый роговик имеет небольшое развитие в Гаранлыгдере, где он залегает в толще мраморов. Порода темноокрашенная, мелкозернистая, плотная.

Пироксен—существенный компонент породы—встречается часто в форме довольно крупных зерен, обычно мелкой округленной формы; он распределается более или менее равномерно. Пироксен представлен двумя разновидностями: пижонитом и авгитом. Пижонит бесцветный, иногда слабо плеохроирует. Интерференционная окраска низкая. Удлинение положительное.  $CNg = 28^\circ$ ;  $N_g - N_p = 0,023$ . Авгит окрашен в слабобуровый цвет  $CNg = 45$ ,  $N_g - N_p = 0,022$  (по компенсатору Берека).

Гранат—второй существенный компонент породы—образует сплошные поля с неотделяющимися контурами кристаллов. Он, в основном, изотропный, участками наблюдается аномалия, связанная с деформацией кристаллов (рис. 2).

Отмечаются также мелкие зерна эпитода, характеризующиеся бледно-зеленым плеохроизмом и высокой шагреневой поверхностью. Эпидот спорадически рассеян в основной массе породы.

Пироксеново-плагиоклазовый роговик получил наибольшее распространение, в основном, к западу от Кечи-бели, у хребта Мыхтокян. Роговик темносерый, с желтовато-бурым оттенком, тонкозернистый. Он образовался за счет андезитовых туфов (рис. 3).

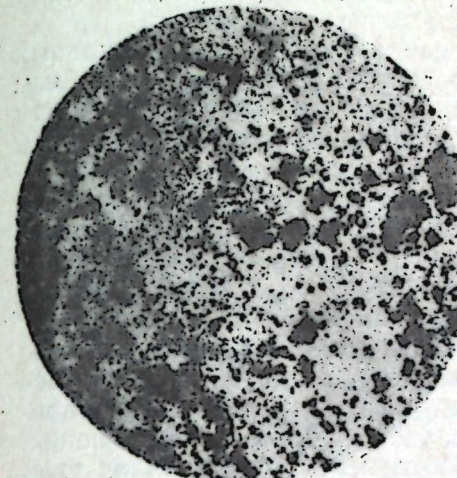


Рис. 1

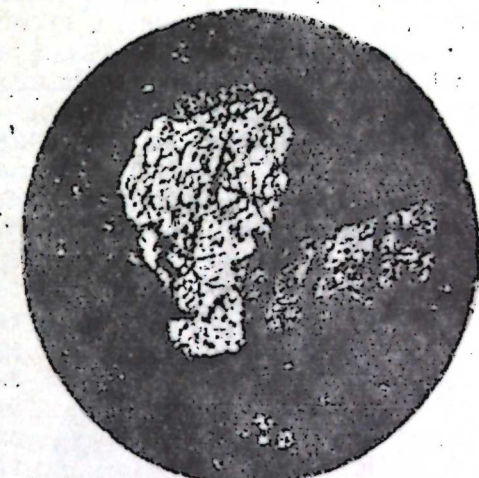


Рис. 2

Структура микрогранобластовая. Порода состоит из микроскопических кристаллобластовых зерен плагиоклаза, пироксена и рудного минерала; размеры зерен—от 0,03 до 0,08 мм. Зерна имеют неправильные, а участками более или менее изометрические формы, плотно соприкасающиеся друг с другом.

Полевой шпат составляет около 60% породы. В единичных случаях у полевого шпата обнаруживается двойниковое строение. Рельеф сравнительно высокий, коэффициент преломления больше, чем у канадского бальзама; зональный, в симметричной зоне погасания.

$1M/010 CNg = 20^\circ$ , определяется как андезин  $N = 40$

$N_g = 23$

$D - Nm = 66$  закон /010,  $N = 40$

$N_p = 84$

Зернышки пироксена различных размеров, обычно мелкие, округлой формы; распределяются они в породе более или менее равномерно, местами срастаются между собой, образуя агрегатное скопление. Встречаются бесцветные таблички пироксена с константами  $CNg = 43 - 45$ ;  $N_g - N_p = 0,025$ . Пироксена в породе около 40%.

Кальцит местами заполняет пустоты породы. Изредка наблюдаются мелкие зернышки сфена. Отмечаются также единичные мелкие таблички апатита, который от пироксена отличается низким рельефом.

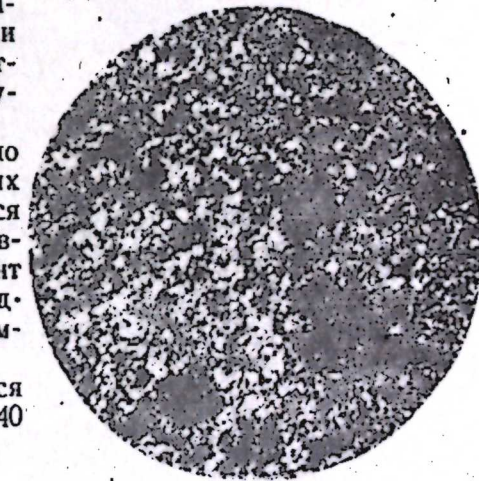


Рис. 3

**Кордиерито-эпидотовый роговик.** Эти породы имеют развитие на Мынтокянском хребте, вдоль северной контактовой полосы интрузива. Являются продуктами изменения андезитов. Макроскопически окрашены в темно-серый цвет с зеленым оттенком, тонко-зернистые. Порода состоит из зерен эпидота, цоизита, образующих часто агрегатное скопление, а также кордиерита и карбоната.

Эпидот встречается в виде призматических и неправильных зерен различной величины. Размер зерен — от 0,108 до 0,180 мм;  $Ng-Np=0,024$ . Погасание прямое. Он находится в тесном контакте с цоизитом. От последнего отличается высокой интерференционной окраской.

Цоизит в шлифе бесцветный; образует призматические кристаллы с ясными трещинами спайности. Интерференционная окраска первого порядка,  $Ng-Np=0,007$ . Величина зерен — от 0,126 до 0,360 мм, погасание прямое.

Кордиерит прозрачный, обычно заполняет пустоты и находится между кристаллами эпидота и цоизита. Встречается в виде неправильных зерен; в кристаллах углы корродированы.  $Ng-Np=0,070$  мм. Часто содержит включения с большими показателями преломления. От кварца отличается двупреломлением и, двуосностью. Наряду с этими минералами в породе в значительном количестве имеется карбонат. Обычно он образует неправильные зерна. Иногда проявляется в виде тонких прожилочек. По времени образования является последним.

**Плагиоклазо-биотитовый роговик** имеет развитие на Багырсагском участке. По внешнему облику порода темно-серая с черным оттенком, мелкозернистая. Образуется за счет туфогенной толщи (рис. 4).

Структура микрогранобластовая, текстура полосчатая. Порода состоит из полевого шпата, биотита, рудного минерала и — в подчиненном количестве — апатита.

Полевой шпат состоит из тесно сросшихся, не индивидуализированных частиц. Местами отмечаются листы без двойникового сложения, более или менее разъединенные по краям, обычно затронутые соссюритизацией и реже серицитизацией. Коэффициент преломления полевого шпата равен канадскому бальзаму. Также отмечаются агрегатные скопления с характерным зональным погасанием.

Листочки биотита различной величины, обычно мелкие, удлиненной формы распределяются во всех частях породы более или менее равномерно, но иногда срастаются между собой, образуя небольшие скопления. В породе содержится около 20% биотита. Биотит сравнительно свежий, но участками отмечается хлоритизация его; характеризуется слабо зеленоватым плеохризмом.

Рудные минералы с зернами различной величины спорадически рассеяны по всей массе породы и представлены магнетитом, ильменитом. Помимо того, намечается ориентированное расположение мелких зерен рудного минерала.

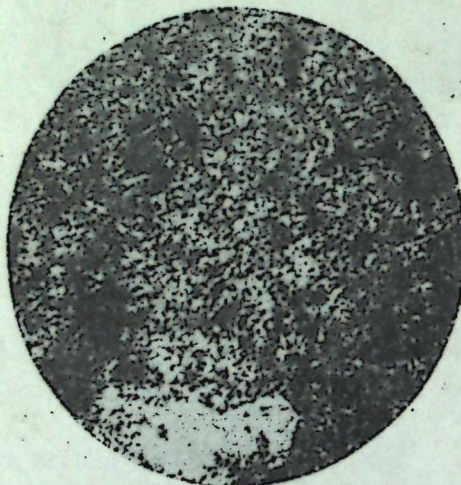


Рис. 4

Апатит образует таблитчатые формы и отличается от плагиоклаза высоким рельефом.

**Гранато-кордиеритовый роговик** развит на Багырсагском участке, где он залегает в вулканогенной толще эоценена. Обычно это тонкозернистая зеленовато-серая порода, состоящая из 60% карбоната.

Кордиерит — зерна неправильной формы с извилистыми очертаниями, как бы заполняет промежутки между кристаллами граната. Спайность отсутствует. В шлифе бесцветен, двуосный. Величина двупреломления  $Ng-Np=0,010$  (по компенсатору Берека). На поверхности зерен его наблюдаются высокодвупреломляющие чешуйки, относящиеся, по-видимому, к тальку. Помимо этого, он содержит многочисленные включения высокодвупреломляющих минералов, представленных гранатом и частично шпинелью. По содержанию гранат в породе является вторым минералом. Он образует хорошо выраженные шестигранные кристаллы, а иногда рельефно кубические формы. В основном изотропен, но иногда наблюдаются слегка просвечивающиеся кристаллы. Гранат находится в тесной ассоциации со шпинелью. Последняя отличается от граната характерными четырех- и трехгранными очертаниями. Иногда шпинель встречается в виде совершенно неправильных зерен. В шлифе бесцветный или слабо зеленоватый; слегка просвечивает.

Помимо указанных минералов, имеется кварц. По происхождению он является вторичным, образуется за счет кварцитизации мелких прожилочек аплита.

#### ЛИТЕРАТУРА

1. Кашкай М. А. и Мамедов А. И. С контакт-метасоматических изменениях в ореоле Далидагской интрузии. *Изв. АН СССР*, № 5, 1954.
2. Кашкай М. А. и Мамедов А. И. Истисун — новый минерал из скварновой зоны Далидагского интрузива. *ДАН Азерб. ССР*, т. XI, № 1, 1955.
3. Коржинский Д. С. Факторы равновесия при метасоматозе. *Изв. АН СССР*, сер. геол. № 3, 1950.

Институт геологии АН  
Азербайджанской ССР им. И. М. Губкина

Поступило 28. V 1956

А. И. Мамедов

**Дәлидағ интрузиви әтрафында бүйнүздашы сұхурларының  
петрографик сәчиййесинә даир**

#### ХҮЛАСӘ

Бу мәгаләдә, бирфазалы өхөфасиялы Дәлидағ интрузивинин контакт зонасында скарин сұхурларының ялныз Гаранлыг дәре-вә Бағырсаг саһәләринде яйылмасы изаһ әдилләр.

Мүәллиф һәмин интрузивин әтрафында скарин сұхурларының аз саһәдә яйылмасыны ашағыдақы дәлилләрлә изаһ әдир:

1) чатыны диффузиони метасоматоз просеси; 2) гронтонидин аз дәринликдә союмасы илә әлагәдар олараг, магмадан учучу компонентләрин тез айрылмасы вә 3) кристаллашан һәмин магманың физики-химийәви шәрәнтичин әвтектик мәрһәләйә яхынлашмасы. Бундан башга минераложи тәркибләринә көрә Дәлидағ интрузивинин контакт зонасында: силлиманит-лимонит-плакиоклаз; пироксен-гранат; пироксен-плакиоклаз; кордиерит-эпидот; плакиоклаз-биотит вә гранат-кордиерит бүйнүздашы нөвләрини тәсвир әдир.

ИНЖЕНЕРНАЯ ГЕОЛОГИЯ

И. С. БАШИНДЖАГЯН

О СДВИГЕ В ГРУНТАХ СО СЛОИСТОЙ ТЕКСТУРОЙ

(Представлено академиком АН Азербайджанской ССР М. В. Абрамовичем)

Сопротивление грунтов сдвигу является одной из важнейших механических характеристик, которой пользуются при расчетах устойчивости сооружений, откосов, при определении давления грунта на подпорные стенки и т. д.

Исследования, проведенные советскими учеными [2, 4], показали, что основным фактором, характеризующим сопротивляемость грунтов сдвигу, является их плотность, определяемая коэффициентом пористости. В связных грунтах со слоистой текстурой на сопротивляемость сдвига оказывает влияние также ориентировка плоскости сдвига к направлению слоистости. В литературе имеются некоторые высказывания по этому вопросу. В. А. Приклонский [3] отмечает, что угол внутреннего трения ленточных глин одного из северных районов СССР, определенный в интервале давлений от 1 до 2 кг/см<sup>2</sup> параллельно слоистости, оказался равным: для глинистых слоев—11–12°, для пылеватых—15–19° и для песчаных слоев—около 24°, при сдвиге перпендикулярно слоистости—16°. Н. Н. Маслов [1] указывает, что с увеличением угла между плоскостью среза и поверхностью напластования сопротивление сдвигу увеличивается.

Однако незначительность сведений и общий характер высказываний показывают, что вопрос этот требует дальнейшего изучения, а наличие на Апшеронском полуострове глинистых грунтов со слоистой текстурой, залегающих под различными углами к горизонтальной поверхности и часто служащих основанием или средой для различных сооружений, придает ему особый интерес. С этой целью были проведены специальные исследования, результаты которых приводятся ниже.

Для испытаний были выбраны глинистые грунты различного геологического возраста—понтического, акчагыльского и апшеронского ярусов, имеющие большое территориальное распространение на Апшеронском полуострове. При выборе объектов исследования руководствовались и тем, что по текстурным признакам выбранные глины весьма характерны: глина акчагыльского яруса отличается ясной и резкой слоистой текстурой, глина понтического яруса имеет ясную, но не резкую слоистую текстуру, а глина апшеронского яруса характеризуется слабо выраженной слоистостью. В дальнейшем для краткости изложения глина акчагыльского яруса именуется грунтом I, глина пон-

тического яруса—грунтом II, глина ашеронского яруса—грунтом III. В таблице 1 приводятся результаты определения физических свойств исследованных грунтов.

Таблица 1

Наименование грунта	Гранулометрический состав, %					Удельный вес	Естественная влажность, %	Объемный вес, $m^3/m^3$	Пористость, %	Коэффициент пористости	Коэффициент водонасыщенности						
	Фракции, мм																
	0,25— —0,05	0,05— —0,01	0,01— —0,005	0,005— —0,001	< 0,001												
I. Глина ачагальского яруса	< 0,25	< 0,05	< 0,01	< 0,005	< 0,001												
II. Глина поитического яруса	1	10	30	22	37	2,75	19,3	2,04	37,9	0,61	0,87						
	100	99	89	59	37												
	2	23	26	20	29	2,78	17,4	2,10	35,5	0,55	0,88						
	100	98	75	49	29												
III. Глина ашеронского яруса	2	17	44	15	22	2,77	17,9	2,14	34,6	0,53	0,93						
	100	98	81	37	22												

Грунты I и II испытывались в образцах, направление слоистости в которых составляло с горизонтальной плоскостью угол (угол слоистости  $\alpha$ ), равный 0, 45° и 90°, а для грунта III—0 и 90°. Испытания велись в двух условиях: в водной среде и при естественной влажности (см. табл. 1). Определение сдвигающих напряжений производилось при четырех вертикальных нагрузках—1, 2, 3, 4  $kg/cm^2$ . Для исключения возможности получения случайных результатов каждое испытание повторялось три раза.

На рисунке представлены графики зависимостей сдвигающих напряжений от нормальных давлений для грунтов I, II, III с различно ориентированными плоскостями сдвига относительно направления слоистости. Как видно из графиков, зависимость  $\tau=f(\sigma)$  изображается в виде прямой, отсекающей на оси ординат отрезки тем большие, чем больший угол слоистости  $\alpha$  имеют испытанные образцы. Подобный характер расположения указывает на то, что с увеличением угла между плоскостью сдвига и направлением слоистости коэффициент внутреннего трения и сцепление в грунтах возрастают. Результаты испытаний приведены в таблице 2.

С уменьшением влажности сопротивляемость грунтов сдвигу, как известно, увеличивается. Если в грунте I при испытаниях в водной среде в трех направлениях  $f=0,29; 0,33; 0,40$ , то в испытаниях при естественной влажности  $f=0,32; 0,36; 0,42$ . В других исследованных грунтах с уменьшением влажности изменение коэффициентов трения

Коэффициент внутреннего трения и сцепления	Грунт I			Грунт II			Грунт III	
	Угол $\alpha$			Угол $\alpha$			Угол $\alpha$	
	0	45°	90°	0	45°	90°	0	90°
Испытания в водной среде								
$f$	0,29	0,33	0,40	0,33	0,37	0,43	0,39	0,45
$c$	0,80	1,92	1,08	0,74	0,80	0,95	0,65	0,77
Испытания при естественной влажности								
$f$	0,32	0,36	0,41	0,36	0,39	0,44	0,41	0,46
$c$	1,15	1,21	1,32	0,90	0,96	1,07	0,75	0,83

такого же порядка. Незначительное увеличение коэффициентов объясняется, очевидно, тем, что влажность, соответствующая полной влагоемкости, незначительно отличалась от естественной. Вместе с тем можно отметить, что с уменьшением влажности уменьшается разность между коэффициентами трения в образцах с  $\alpha=90^\circ$  и  $\alpha=0$ . Так, в грунте I при испытаниях в водной среде эта разность равна 0,11, а при естественной влажности—0,09, в грунте II соответственно—0,10 и 0,08 и в грунте III—0,06 и 0,05. Как видно, уменьшение разности коэффициентов трения наблюдается не только с уменьшением влажности, но и от грунта I к грунту III, т. е. с изменением степени выражения слоистой текстуры.

Записанные в процессе сдвига горизонтальные деформации хорошо согласовывались с поверхностями сдвигов. Главному характеру деформаций образцов, сдвинутых параллельно слоистости, соответствовали довольно гладкие поверхности сдвигов, а неровному течению деформаций образцов, сдвинутых перпендикулярно слоистости,—поверхности со значительными неровностями.

Принимая во внимание отмеченные выше факты и различную степень выражения слоистой текстуры исследованных грунтов, можно сделать несколько выводов:

1. В связных грунтах со слоистой текстурой с увеличением угла между направлением слоистости и плоскостью сдвига сопротивляемость сдвигу возрастает. Значения коэффициентов внутреннего трения в сдвигу превысили на 15—38 % значения, полученные при сдвиге параллельно слоистости.

2. Влияние слоистости на сопротивляемость сдвигу уменьшается с уменьшением влажности и возрастает с более ясным выражением слоистости.

Таблица 3

Угол слоистости, $\alpha$	Испытания в водной среде			Испытания при естественной влажности		
	грунт I	грунт II	грунт III	грунт I	грунт II	грунт III
0	1	1	1	1	1	1
30°	1,09	1,06	1,04	1,05	1,05	1,03
45°	1,14	1,10	1,06	1,08	1,07	1,04
60°	1,21	1,15	1,09	1,12	1,11	1,06
90°	1,36	1,29	1,17	1,20	1,21	1,12

В таблице 3 приводятся значения коэффициентов  $A_\alpha$  для различных углов слоистости.

Для выяснения возможности практического применения результатов исследований на основе полученных данных было проведено несколько расчетов устойчивости фундаментов. Рассматривались три случая: 1) направление слоистости в грунте основания параллельно горизонтальной поверхности; 2) направление слоистости ориентировано под углом 45° к горизонтальной поверхности; 3) направление слоистости ориентировано под углом 90° к горизонтальной поверхности. Расчеты показали, что с увеличением угла слоистости в грунте основания величина допускаемого давления на грунт увеличивается. Так, для грунта I, при полном насыщении водой, допускаемое давление во втором случае было на 23 %, а в третьем случае на 68% больше, чем в первом. Из этого следует, что отмеченные свойства оснований со слоистой текстурой позволяют в известных условиях увеличивать допускаемые напряжения на грунт и тем самым уменьшать площадь фундаментов.

#### ЛИТЕРАТУРА

1. Маслов И. Н. Прикладная механика грунтов. Машстройиздат. 1949.
2. Ничипорович А. А. Сопротивление связных грунтов сдвигу при расчете гидротехнических сооружений на устойчивость. Стройиздат, 1948.
3. Приклонский В. А. Грунтоведение. Госгеониздат, 1949.
4. Саваренский Ф. П. К вопросу об определении величины трения и сцепления в связных грунтах. Тр. ГИИ АН СССР, т. II, 1939.

И. С. Башинчагян

Лай гуруулушлу сүхурларын сүрүшүб айрылмасы нағында

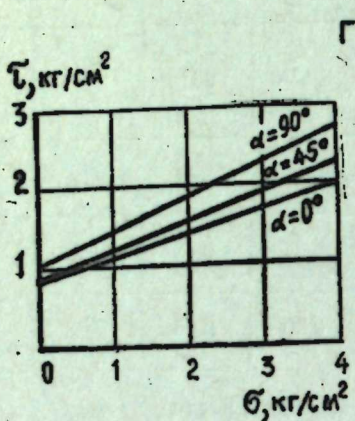
#### ХҮЛАСЭ

Совет алимләринин тәдгигатлары [1, 2] көстәрмишdir ки, сүхурларын сүрүшүб айрылма мүгавимәтинә онларын сыйхлығы хейли дәрәчәдә тәсир көстәрир. Лай гуруулушлу килли сүхурларда сүрүшүб айрылмага гарыш мүгавимәтә, набелә лайларын истигамәтинин сүрүшүб айрылма мүстәвисинә нисбәтән ориентирләнмәси дә тәсир эдир. Бу мәсәләйә даир әдәбийттә айры-айры мәлumatlar вардыр [3, 4]. Лакин бүтүн дейиләнләрдән айдын олур ки, бу мәсәләниң һәлә дә өйрәнмәк лазымдыр. Бу мәгсәдлә дә хүсуси тәдгигат ишләри апарылышынан.

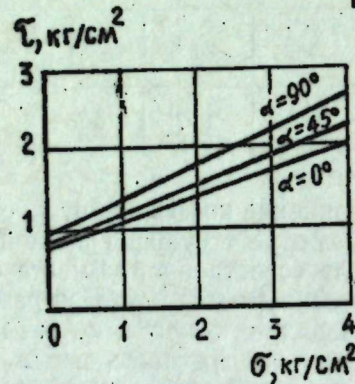
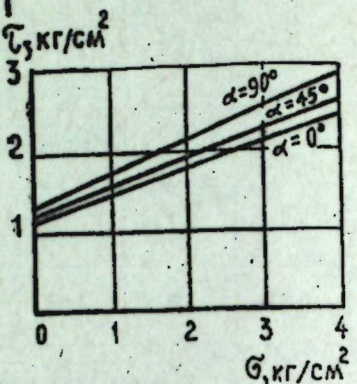
Сынаг үчүн Абшерон ярымадасында эн чох яйымыш вә лайлашынын дәрәчәсинә көрә бир-бириндән фәргләнән ағзакил, понтик вә

Полученные экспериментальные данные позволили учесть влияние направления слоистости на сопротивляемость грунтов сдвигу введением в зависимость между сдвигающим напряжением и нормальным давлением коэффициента  $A_\alpha$ .

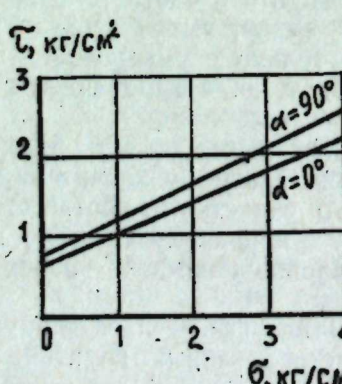
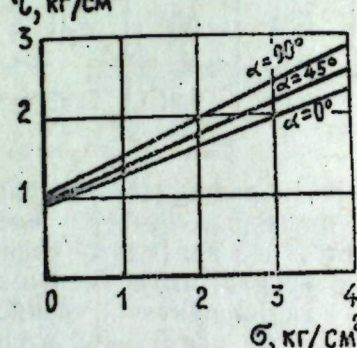
$$\tau = (f \sigma + C) \cdot A_\alpha$$



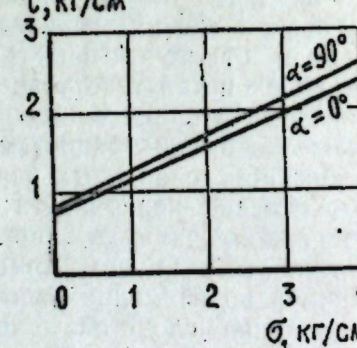
ГРУНТ I



ГРУНТ II



ГРУНТ III



Испытания в водной среде

Испытания при естественной влажности

где  $\tau$ —сдвигающее напряжение грунта с углом слоистости в пределах от 0 до 90°;

$A_\alpha$ —коэффициент, соответствующий углу слоистости испытуемого образца;

$f$  и  $C$ —коэффициент внутреннего трения и сцепление грунта с углом слоистости, равным 0.

абшерон мәртәбәләриндән кил көтүрүлмүшдүр. Кәләчәкдә ағчакил мәртәбәсинин кили—I сүхур, понтик мәртәбәсинин кили—II сүхур вә абшерон мәртәбәсичин кили—III сүхур адландырылачагдыр. 1-чи чәдвәлдә сүхурларының физики хүсусийәт көстәричиләри верилир.

I вә II сүхурларының сыйнанан ердә лайларының истигамати һоризонтал мүстәви илә ардычыл олараг 0, 45° вә 90° бучаг (лай бучагы  $\alpha$ ), III сүхур сыйнанан ердә исә 0 вә 90° бучаг тәшкүл эдиради. Сынаг, су мүһиттәндә вә тәбин нәмлик шәраиттән апарылышадыр. Сүрүшүб айрылма кәркиниләйинин I, II, III сүхурлар үчүн нормал тәзигдән асылылығы графики 1-чи шәкилдә көстәрилмишdir.  $t=f(\alpha)$  асылылығы дуз хәтт шәклиндә верилмишdir ки, бу хәтт сынаг нүмүнәсинин лай бучагы ( $\alpha$ ) бейік олдугча ординат охуну даңа чох кәсир. Лайларының истигамати сүрүшүб айрылма мүстәвисине нисбәтән мұхтәлиф шәкилдә ориентиләнмиш нүмүнәләрин дахили сүртүнмә вә илишмә коэфисиентләринин гиймәтләри 2-чи чәдвәлдә верилмишdir. Чәдвәлдән көрүндүй кими нәмлик азалдыгча  $\alpha=90^\circ$  вә  $\alpha=0$  нүмүнәләринде сүртүнмә коэфисиентләри арасындағы фәрг дә азалып. Белә азалма I сүхурдан III сүхурда кечикдә, йә'ни лайлар гурулушун дәйишмәсендә мушанида олунур.

Тәдгигатдан бир неча нәтижә чыхарылышады:

1. Бир-бирилә әлагәдер олан лай гурулушту сүхурларда лайларының истигамати илә сүрүшүб айрылма мүстәвиси арасындағы бучаг артыгча сүрүшүб айрылмая гаршы мұғаиимәт дә артып. Лайлара перпендикуляр истигаматтә сүрүшүб айрылыш сыйнанан сүхурларда дахили сүртүнмә коэфисиентләринин гиймәтләри лайлара паралел истигаматтә сүрүшүб айрылмада алынан гиймәтләрдән 15–30% чохдур.

2. Нәмлик азалдыгча лайларының сүрүшүб айрылмая олан тә'сири азалып, лай әлемати даңа айдын көрүүдүкдә исә бу тә'сири артып.

Тәдгигатын нәтижәләрини практикада тәтбиғ этмайин мүмкүн олуб-олмадығыны, айдыналаштырмаг үчүн лайларының истигамати һоризонтал мүстәви илә 0, 45° вә 90°-йә берабәр бучаг тәшкүл эдән өзулләрин мөһкәмлийинә аид бир қечә несаблама апарылышадыр. Несабламалар көстәрмишdir ки, өзүл сүхурунда лай бучагы бейіудүкчә, сүхурда олан тәзиг арта биләр, бу вахт бинөврәнин саһеси исә азалар.

НЕФТ КЕОЛОГИЯСЫ

С. Қ. САЛАЕВ

ГОБУСТАНЫН ОЛИГОСЕН-МИОСЕН ЧӘКҮНТҮЛӘРИНИН  
НЕФТГАЗЛЫЛЫГ ПЕРСПЕКТИВЛИЙИ ҺАГГЫНДА

(Азәрбайчан ССР ЭА академики М. В. Абрамович тәрәфиндән тәгдим әдилмишdir)

Сон илләр Гобустан кеэложи вилайәттән апарылан бейік кеоложи-ахтарыш вә кәшфийят ишләри нәтижәсендә бу вилайәттән чә'уб һиссәсин.ә олигосен-миосен чәкүнтүләринин нефтли-газлы олдуру мүәййән әдилмишdir. Умбакы саһесинде майкопун үст ше'бәсинин кәсилишиндәки нефтли һоризонтлар 1951-чи илдән истиスマр олунур. Лакин Гобустаның дикәр саһәләринде олигосен-миосен чәкүнтүләриндәки нефт ятаглары һәлә буқунә кими кәшф әдиллиб, истигадәйә верилмәмишdir. Биз гәт'и олараг оғицирдәйик ки, минләрдә  $km^2$  саһени тутан Гобустан кеоложи вилайәттән бирчә Умбакыны „хөшбәхт“ саһә несаб этмәк олмаз. Шұбәсиз ки, бу вилайәттә Умбакы кими дикәр „хөшбәхт“ саһәләр дә вардыр.

Мүкәммәл кеоложи тәдгигат ишләри нәтижәсендә Гобустанда кениш яйылмыш олигосен-миосен чәкүнтүләринин (меотисдән башга) бир-бириндән кәсекин фәргли ики—шимал-күлли вә чәнуб гумлу-күлли лиофасияларда ифадә олундуру мүәййән әдилмишdir. Олигосен-миосен комплексинин айры-айры стратиграфик вәнилләри үчүн шимал (күлли) вә чәнуб (гумлу-күлли) лиофасияларын шәрти олараг кечирилмиш сәрһедләри 1-чи шәкилдә көстәрилмишdir. Бу шәкилдән көрүндүй кими караган, конк вә сарматын гумлу-күлли лиофасияларының тутдуглары саһәләр, майкоп вә чокракын эйни лиофасияларының тутдуглары саһәдан хейли аздыр.

Чәнуб истигаматтә кәсилишдә гум лайларының мигдар вә галынлыгларының артмасы илә әлагәдер олараг, олигосен-миосен чәкүнтүләринин айры-айры стратиграфик вәнилләринин галынлыглары да чохалыр.

Олигосен-миосен чәкүнтүләринин ән яхши нефт әлагәтләринин үст майкопун гумлу-күлли лиофасиясына аид олдуру гейд әдиллir. (Шейтануд, Гыргышлаг, Нардаран-ахтарма, Сүлейман, Чейилдағ, Сүнди, Һачывәли вә с.). Бу нал үст майкопун кәсилишиндә бир-бириндән күлләрлә айрылан галын гум-гумдашы лайларының варлығы илә изаш олунур. Бу лайларының нисбәтән сабит галараг, истәр бир структур бою, истәрсә дә регионал узанма вә ятма истигаматтән яхши



Чәнуб зонада олигосен-миоцен комплексинин стратиграфик вәнидләринин һамысы (меотисдән башга) гумлу-килли лиофисида ифадә олунуб; бу вә я дикәр дәрәчәдә нефтгазлылыг перспективлийнә маликдирләр. Бу зонада олигосен-миоцен чөкүнтуләринин гумлулуғунун артмасы илә янашы, галынылығыны артмасы да гейд эдилир. Чәнуб зонада истәр олигосен-миосен, истәрсә дә плиосен чөкүнтуләринин галынылығы хейли бәйүк олдуғундан, басдырылмыш олигосен-миоцен структурларына гуюларла ахтарыш-кәшфийт ишләринин апарылмасы чәтиләшир. Лакин бу зонаның гәрб һиссәсендә (Чейранкечмәз депрессиясының гәрб ганадында) олигосен-миоцен чөкүнтуләри нисбәтән аз дәринликдә ятдығындан, он ары ахтарыш гуюлары илә ачмаг олар. Бу һиссәдә Чейилдағ, Умбакы вә Арзани-Клыч олигосен-миоцен структурларының плиосен чөкүнтуләри илә өргүлмүш периклинал һиссәләри мараг тәшкел эдир.

Чәнуби Гобустаның бә'зи олигосен-миоцен структурлары плиосен чөкүнтуләринә көрә Чейранкечмәз депрессиясының мәркәз һиссәсендә гәдәр изләнә билирләр. Мәсәлән, Кекүр-ахтарма тектоник хәтти Чейранкечмәз депрессиясында плиосен чөкүнтуләринә көрә тәхминән 10 км мәсафәдә узаныр. Лакин гейд этмәк лазымдыр ки, Гобустанда олигосен-миоцен структурлары илә плиосен структурлары тектоник планда бир-бирләринә уйғун кәлмирләр. Белә ки, Чәнуби Гобустаның олигосен-миоцен структурлары ән истигамәтдә узандыглары налда, плиосен структурлары мұхтәлиф, һәтта меридионал истигамәтдә узанылар. Гобустаның қеотектоники инициаф тарихинин өйрәнилмәси дә олигосен-миоцен вә плиосен структурлары арасында кәсқин уйғуны сузулугун ола биләчәйини тәсдиг эдир [4,5].

Чейранкечмәз депрессиясында айырдығымыз ики бир-бириндән фәргли зоңалар олигосен-миоцен структурларының кәшфийити методикасы чәнубинчә дә фәргләнирләр. Белә ки, шимал зонада бир сыра басдырылмыш олигосен-миоцен структурларының ашқар этмәк үчүн дәрин структур гуюлар (800 м-э кими) газымегла кифайәтләнмәк олар. Басдырылмыш олигосен-миоцен структурларын тектоник гурулушу өйрәнилдикдән соңра айры-айры ахтарыш гуюлары илә майкоп вә чокрак чөкүнтуләринин кәсилишиндә нефт-газ ятагларының олуб-олмамасы ашқар эдилә биләр.

Чәнуб зонада олигосен-миоцен структурлары нисбәтән бәйүк дәринликләре басдырылдығындан ахтарыш-кәшфийт ишләри хейли чәтиләшир. Чейранкечмәз депрессиясының гәрб ганадында (Чейилдағ-Клыч золағында) олигосен-миоцен комплексинин нефтли һоризонтлары нисбәтән аз дәринликдә (2500–2800 м) ятдығындан, ахтарыш-кәшфийт ишләрини орая йөнәлтмәк лазымдыр.

Чейранкечмәз депрессиясында олигосен-миоцен чөкүнтуләринин нефтгазлылыг перспективлийни там айынлашдырмаг үчүн фасиләсиз нүмүнә көтүрмәклә бир нечә кәшфийят гуюлары газымаг да мәсләнәт көрүлүр. Белә гуюлары плиосен чөкүнтуләринә көрә ююлмуш (Утәлки, Кәнисәдағ, Готурдағ вә с.) структурлар үзәриндә газымаг яхшы оларды. Бу гуюлар Чейранкечмәз депрессиясында олигосен-миоцен структурларының нефтлилек перспективлийни ишыглачырмагла бәрабәр, бу структурларла плиосен структурларының тектоник мұнасибәти мәсәләсіни айынлашдырмага да көмәк эдә биләр. Бу мәсәләни там айынлашдырмаг мәгсәдилә Гобустаның қеотектоник инициаф тарихи даңада дәриндән өйрәнилмәли, Чейранкечмәз депрессиясында мүкәммәл кеофизики (сейсмика вә гравиметрия) ишләр апарылмалыдыр.

Гобустаның олигосен-миоцен чөкүнтуләринин нефтлилек перспективлийни там ишыглачырмаг үчүн бә'зи саһәләрдә ер сәтһине چыхан майкоп вә чокракын нефтли гумларының ачыг истисмар үчүн

об'ект ола биләчәйини дә гейд этмәк лазымдыр. Чейилдағ, Нардаран-ахтарма, Гыргышлаг вә саир гырышыларын һәдләрнә ер сәтһине үзәрнә چыхан майкоп лай дәстеси вә чокрак һоризонтунун нефтли гумлары ачыг истисмар нәгтейи-нәзәрәнчә мараг тәшкел эдирләр. Бу саһәләрдә апарылан хүсуси қеоложи ахтарыш ишләри ер сәтһине چыхан олигосен-миосенин нефтли гумларының ачыг истисмарының сәмәрәли олуб-олмамасыны ашкар эдәчәкдир.

## ЭДӘБИЙТ

1. М. В. Абрамович. Нефт вә газ ятагларының ахтарышы вә кәшфийити, Азәрнефтиншр, 1955.
2. Г. А. Ахмедов и С. Г. Салаев. О поисках погребенных структур в Джейранкечмесской депрессии, АНХ, №11, 1954.
3. В. В. Вебер. Проблема нефтеносности палеогеновых и миоценовых слоев Карабистана; ГОНТИ, 1939.
4. С. Г. Салаев. К истории геологического развития южного Кобыстана в олигоцен-миоценовую эпоху. Изв. АН Азер. ССР, №6, 1953.
5. С. Г. Салаев, С. М. Алиев и А. Р. Шапиро. Новые данные о первых и несогласиях в разрезе олигоцен-миоценовых отложений Кобыстана, АНХ №3, 1955.

И. М. Губкин адына Азәрбайҹан ССР  
ЭЛ Қеолокия Институту

Алымышдыр 24. IX 1956

С. Г. Салаев

## О перспективах нефтегазоносности олигоцен-миоценовых отложений Кобыстана

### РЕЗЮМЕ

Проведенными в Кобыстане поисково-разведочными работами установлено наличие в разрезе олигоцен-миоценовых отложений ряда пластов-коллекторов, заслуживающих внимания в смысле поисков в них залежей нефти и газа. Установление залежей нефти в верхнемайкопских отложениях на площади Умбаки дало возможность в 1951 г. создать первый нефтедобывающий трест в Кобыстане. Между тем на других структурах, где основные песчано-алевритовые пласти олигоцен-миоценовых отложений на сводах и на приподнятых крыльях складок полностью обнажены, поиски нефти не дали положительных результатов. На противоположных поднадвиговых крыльях складок, возможно, нефтеносные горизонты олигоцен-миоценового комплекса залегают значительно глубже и, очевидно, являются запечатанными. Поэтому определенные перспективы связаны с олигоцен-миоценовыми отложениями южных крыльев Сулейманской, Нардаран-Ахтарминской, Умбакинской, Адживелинской и других складок.

Автор указывает, что другим и наиболее благоприятным объектом для поисков залежей нефти и газа в олигоцен-миоценовых отложениях могут быть погребенные структуры Джейранкечмесской депрессии. Эту депрессию, где денудированные в различной степени олигоцен-миоценовые структуры погребены под более юными, трангрессивно залегающими плиоценовыми осадками, можно разделить в смысле перспективности на северную и южную зоны. Границу между этими зонами можно условно провести по линии, проходящей через возвышенности Нардаран и Шихикая.

В северной зоне перспективно нефтеносны отложения верхнего майкопа и чокрака, выраженные в песчано-глинистой лиофации. Остальные стратиграфические единицы олигоцен-миоценового комплекса выражены в неблагоприятной лиофации и, следовательно, лишены каких-либо коллекторов для возможного скопления нефти. Мощность олигоцен-миоценовых и покрывающих их плиоценовых отложений в северной зоне значительно меньше по сравнению с юж-

ной зоной, что делает возможным вскрытие нефтеносных горизонтов в разрезе верхнемайкопских и чокракских отложений.

В южной зоне, где все горизонты и ярусы олигоцен-миоценового комплекса (за исключением меотиса) в той или иной степени выражены в песчано-глинистой лиофации, они могут быть оценены как перспективно нефтегазоносные. Однако довольно большая мощность олигоцен-миоценовых и покрывающих их плиоценовых отложений в южной зоне делает трудно достижимыми нефтеносные горизонты в верхнемайкопских и чокракских отложениях. Для вскрытия на небольшой глубине олигоцен-миоценовых отложений, залегающих под плиоценовыми слоями, в настоящее время более благоприятными участками можно считать восточные переклинали Чеилдагской, Рагимской и Клычской структур. Заложив скважины на переклиналях, где обнаруживаются низы продуктивной толщи, необходимо довести их до вскрытия песчано-глинистых отложений верхнего майкопа.

Для более полного освещения перспектив нефтеносности олигоцен-миоценовых отложений Кубыстана указывается, что нефтеносные пески майкопской свиты и чокракского горизонта площадей Чеилдаг, Нардаран-Ахтарма, Кыркишлак и других могут быть объектом открытой разработки.

ЧОГРАФИЯ

Э. А. МЭДЭТЗАДЭ

ХЭЗЭР ДЭНИЗИНДЭ КҮЛЭК САҢЭЛЭРИНИ ТЭ'ЙИН ЭДЭН  
АТМОСФЕР ПРОСЕСЛЭРИНИН ЭСАС НӨВЛЭРИ

(Азэрбайчан ССР ЭА академики М. Э. Гашгай тэрэфиндэн тэгдим эдилмийшдир)

Хэзэр дэнизиндэ күлэклэрин иглим саңэсчинин бизим тэрэфимиздэн тэргиб эдилмийш схемалары дэниз үзэриндэ вэ ону өнэтэ эдэн районларда баш верэн атмосфер просеслэринин нөвлэрийн эсасланыр.

Атмосфер просеслэри үмуми кинематик, күндэлик синоптик вэ тэзийг топография хэрэгтэлэрийн эсасында нөвлэрэй айрымышдыр. Атмосфер просеслэрини нөвлэрэй айыраркэн Азэрбайчан ССР Үндэсний метеорологи хидмэти идарэсчинин вэ Мэргэзи Прогноз Институтуунун 1928-чи илдэн 1953-чу ил дэ дахил олмагла кечэн дэврдэки синоптик архив материаларындан истифадэ олонмушудур. Нэтичэдэ, Хэзэр дэнизиндэ мүхтэлиф күлэк саңэлэрини тэ'йин эдэн 13 эсас атмосфер просеси нөвүү мүхийнлэширилмийшдир.

Хэзэр дэнизчинин бүтүн районлары учун сэчиййэви олан күлэк саңэлэри схемаларыны тэргиб эдэркэн бэ'зи нөвлэр үмумилэширилмийшдир. Нэтичэдэ күлэк саңэлэрини эмэлэ кэтирэн 7 эсас атмосфер просеси нөвүү учун 7 күлэк саңэси хэрйтэси верилмийшдир. Үүмийн саңэлэрин 2 нөвүү өз нөвбэсингдэ 2 ярым нөвэй белүнүр.

Хэзэр дэнизиндэ бу вэ я дикэр күлэк саңэсчини тэ'йин эдэн атмосфер просеслэриндэн һэр бириний гыса характеристикасы ашафыда верилир:

I нөв эсас э'тибариел Шимал-гэрби Асия, Карск вэ Баренс дэнизлэри районларындан Хэзэр дэнизи районуна Арктика навасынын яйылмасы илэ характеристизэ олонуур. Бу нөв надир наалларда, өзү дэ, эсасэн илин союг вахтларында мушаңидэ эдилир. Эксэрийэт наалларда күлэк шимал вэ шимал-шэрг истигамэтлэрийнде эсир. Бу атмосфер просеслэриндэ, демэк олар ки, үүмишэ вэ Хэзэр дэнизчинин һэр еринде шиддэтли күлэклэр мушаңидэ эдилир. Абшерон району үзэриндэ күлэклэр хүсусилэ шиддэтли олур. Күлэйин сүр'эти бүтүн дэниз үзэриндэ чох вахт 18–20 м/сан, бэ'зэн исэ, хүсусилэ Абшеронда, 25–30 м/сан вэ даха артыг олур.

II нөв Гренландия вэ Норвеж дэнизи районларындан кэлэн Арктика навасынын Скандинавиядан вэ Совет Итифагынын Авропа үйссэсниндэн кечэрэк Хэзэр дэнизи районуна яйылмасы илэ характеристизэ олонуур. Биринчи нөвэй нисбэтэн бу нөв тез-тез мушаңидэ эдилир. Үүмийн нөв ил бою аз вэ я чох дэрэчэдэ бир гайдада тэкрарланыр. Бунуулна нөв

белэ илин галан мөвсүмлэринэ нисбэтэн бу нөв эн чох гыш айларында инкишаф էдир. Гейд этмэк лазымдыр ки, II нөв илин союг вахтларында даһа шиддэти олур вэ башга мөвсүмлэрэ нисбэтэн чох күчлү күлэклэри өмэлэ кэтирир.

Атмосфер процесслеринин һәмин типинде Хәзәр дәниси үзәриндэ шимал вэ шимал-гәрб күлэклэри чох өсир. Күчлү вэ фыртыналы күлэклэр, эсас этибарилэ дәнисин орта һиссәсиндэ мүшәнидэ өдилүр. Бу процес шиддэтилэ инкишаф этдийн вахт күләйин сүр'ети дәнисин шимал һиссәсиндэ  $20 \text{ м/сан-йэ}$ , Махач-Гала районунда  $25-30 \text{ м/сан-йэ}$ , Абшерон районунда исэ  $30-35 \text{ м/сан-йэ}$  чатыр.

III нөв Атлантик океанындан (АЗор максимуму) кәлән дәнис орта эн даирәләри һавасынын яйылмасы илә харктеризэ олунур. Бу нөв ёз мәншәнә көрө ики ярым нөвө бөлүнүр: 1-чи ярым нөв Атлантик океанынын шимал һиссәсиндэн кәлән һава күтләснин Мәркәзи Авропадан кечәрәк Хәзәр дәниси районуна яйылмасы илә харктеризэ олунур. һәмин ярым нөв илин исти вахтлары учун сәчиййәвидир. Бу вахт Хәзәр дәнисинин шимал һиссәсиндэ гәрб вэ шимал-гәрб күлэклэри, орта һиссәсиндэ шимал-гәрб күлэклэри вэ чәнуб һиссәсиндэ шимал күлэклэри чох өсир. Күлэклэр, әксәриййәтлә, мүлайим вэ мөтәдил, Хәзәрин орта һиссәснин гәрб саһилиндэ исэ тез-тез күчлү олур. Даһа шиддэтилэ процессләрдэ исэ чох вахт дәнисин орта һиссәсиндэ, хүсусилә Абшерон районунда күчлү вэ фыртыналы күлэклэр мүшәнидэ олунур. Бу вахт күләйин сүр'ети  $25-30 \text{ м/сан-йэ}$  чатыр. Дәнисин башга районларында күләйин сүр'ети аз олур.

2-чи ярым нөвдэ Азор адалары районундан кәлән һава күтләси Җәнуби Авропадан кечәрәк Хәзәр дәниси районуна яйылыш. һәмин процес эн чох яй вэ пайыз айларында мүшәнидэ олунур. Бу вахт Хәзәр дәнисинин мүхтәлиф һиссәләри үзәриндэ, эсас этибарилэ, мүхтәлиф истигамәтли, чох да күчлү олмаян күлэклэр өсир. Бунлар Хәзәрин шимал һиссәсендэ гәрб вэ чәнуб-гәрб, орта һиссәсендэ шимал-гәрб, чәнуб һиссәсендэ исэ шимал күлэклэри истигамәтиндэ өсир.

һәмин нөвдэ күчлү вэ фыртыналы күлэклэр тез-тез дәнисин орта һиссәсендэ, хүсусилә Абшерон ярымадасы үзәриндэ мүшәнидэ олунур. Дәнисин галан һиссәләриндэ исэ күчлү фыртыналы күлэклэр сейрәк һалларда өсир. Процес шиддэти олдуугда Абшерон районунда күләйин сүр'ети  $18-20 \text{ м/сан-йэ}$  чатыр. Башга районларда күләйин сүр'ети аз олур. Белэ ки, дәнисин шимал вэ орта һиссәләриндэ күләйин сүр'ети  $12-15 \text{ м/сан-йэ}$  чатыр.

IV нөв Аралыг дәниси, Шимали Африка, Эрәбистан вэ Иран районларындан кәлән исти һаванын яйылмасы илә харктеризэ олунур. Хәзәр дәниси үзәриндэ күләк ахынынын хүсусиййәтини тә'йин өдән атмосфер процесслеринин инкишафына көрө бу нөвү ики ярым нөвө бөлмәк олар.

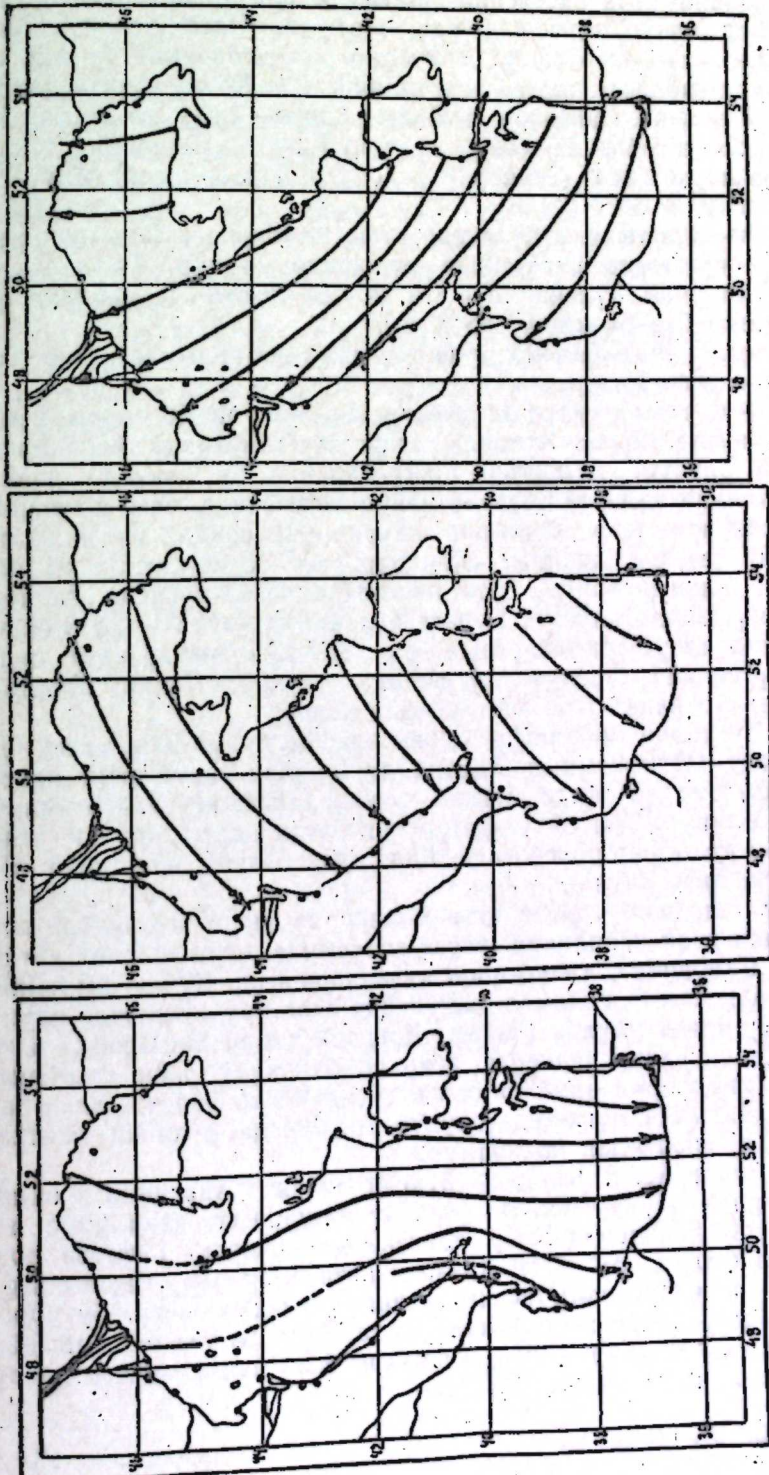
1-чи ярым нөв ССРИ-нин Ауропа һиссәснин мәркәзи вэ чәнуб районлары үзәриндэ сиклон фәалиййәтинин инкишафы вэ һәмин сиклон чөкәйнин Шимали һафаз вэ Хәзәр дәнисинин шимал һиссәси үзәриндэ ерләшмәс илә харктеризэ олунур. Эйни заманда, Ираг вэ Иран үзәриндэ йүксәк тәэйиг саһиси ерләшир. Бу ики системин гарышлыгы тә'сири иәтичәсендэ Хәзәр дәниси үзәриндэ эн чох гәрб вэ чәнуб-гәрб истигамәтли күлэклэр өсир. Тәсвир олунан процес, эсас этибарилэ, илин союг вахтларында мүшәнидэ олунур.

Чох давамсыз фыртыналы күлэклэр башлыча олараг, Абшерон районунда, набелэ дәнисин орта вэ шимал һиссәләриндэ мүшәнидэ олунур. Дәнисин чәнуб һиссәсендэ фыртыналы күлэклэр эсла олмур. Абшерон районунда күләйин сүр'ети  $18-20 \text{ м/сан-йэ}$  чатыр, дәнисин орта вэ шимал һиссәләриндэ исэ  $14-16 \text{ м/сан-дән}$  артыг олмур.

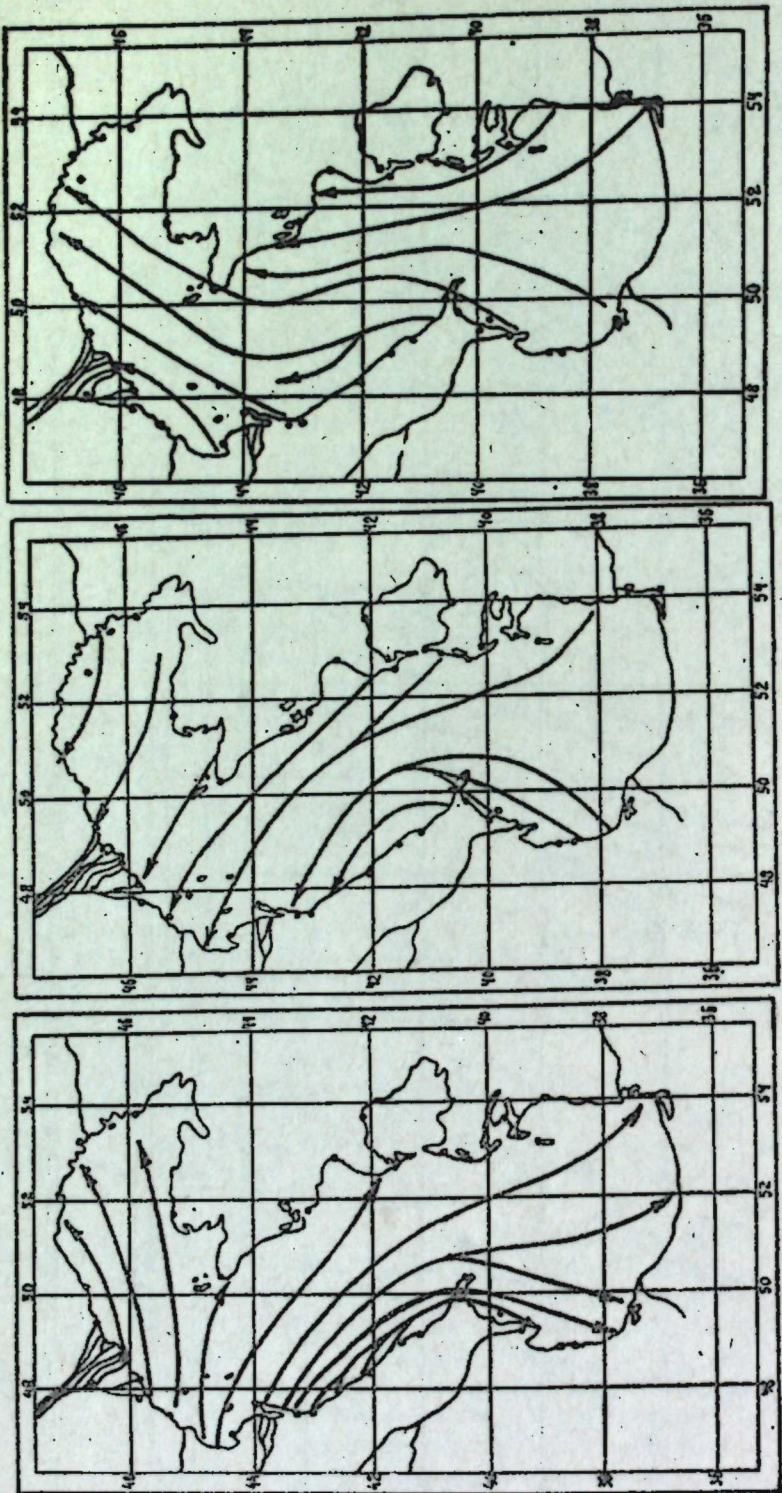


III нөв 1-йәнварь  
II нөв 15-январь  
I нөв 25-январь

а—V місяці Ходу десантної військової операції на північному сході СРСР. б—VI місяці. в—VII місяці. г—VIII місяці. д—IX місяці. е—X місяці.



а—ІІІ місяці 2-ї річниці Великої Вітчизняної війни. б—ІV місяці. в—V місяці. г—VI місяці. д—VII місяці. е—VIII місяці. ф—IX місяці. ж—X місяці. з—XI місяці. і—XII місяці. якщо не зазначено інше, то це відповідає датам, наведеним в таблиці.



2-чи ярым нөв чөкэклийн Хэзэр дэнизиин орта һиссэсийнэ дөгру узанан чөнуб тсиклонунун (Аралыг дэнизи, Гара дэниз) Шимали Гафгаздан кечэрэк Авропа әразисинэ шимал-шэрг истигамэтиндэ чыхыб Хэзэр дэнизиин орта һиссэсийн яйылмасы илэ характеризэ олунур. Эйни заманда чөнуб тэрэфэ (Ираг; Иран вэ Орта Асия үзэриндэ) үүксэк тэйиг саһэси ерлэшир. Атмосфер просесслэрийн бу ики системи арасында гаршылыгы тэ'сир идэвхийнде Хэзэр дэнизи үзэриндэ ашағыдакы күлэк саһэлэри яраныр: дэнизиин орта вэ шимал һиссэлэрийндэ эсас э'тибарилэ чөнуб вэ чөнуб-шэрг күлэклэри, дэнизиин чөнуб һиссэсийнде исэ (Абшерон району дахил олмагла) чөнуб-гэрб күлэклэри эсир.

Узун сүрэн фыртыналы күлэклэр, эсас э'тибарилэ, Абшерон районунда вэ дэнизиин орта һиссэсийнде мушаңидэ слунур. Бэ'зи вахтлар Абшерон районунда күлэйин сүр'ети 20—25 м/сан-йэ, дэнизиин орта һиссэсийнде исэ 18—20 м/сан-йэ чатыр.

Нэмийн ярым нөвээн чох, баһар чыхылмаг шэртилэ, илин союг ярысында тэсадуф эдилр.

У нөв чөнуб тсиклонунун Загафгазияндан, Чөнуби Хэзэрдэн кечмэсилэ вэ я онун Шимали Ирандан шэрг истигамэтиндэ йөнелмэсилэ характеризэ олунур. Атмосфер просесслэрийн бу нөвүндэ дэнизиин чөнуб һиссэсийнде вэ Орта Хэзэрин чөнуб һиссэсийнде, эсас э'тибарилэ, шимал күлэклэри эсир. Дэнизиин шимал һиссэсийнде, эксэрийнэтлэ, истигамэтини тез-тез дэйишэн күлэклэр эсир. Күчлүү күлэклэр башлыча олараг дэнизиин чөнуб, орта һиссэлэрийнде вэ хүсүсэн Абшерон районунда мушаңидэ олунур. Бурада күлэйин сүр'ети 20—25 м/сан-йэ, дэнизиин галан чөнуб районларында исэ 12—15 м/сан-йэ чата билр. Бу нөв бүтүн ил өрзиндэ мушаңидэ олунур. Лакин шиддэгли просесслэр анчаг илин союг вахтларында кедир.

VI нөв. Бу типин иникишафы Сибир максимумунуу яйылмасы идтийнде Совет Иттифагынын Авропа әразисинийн чөнуб-шэрг һиссэсийн вэ Урал вилайети үзэриндэ үүксэк тэйиг саһэсийнин эмэлэ кэлмэсий илэ тэ'йин олунур. Чөнуб үзэриндэ нисбэтэн ашафы тэйиг саһэси ерлэшир. Бу атмосфер просесслэри, бир гайда олараг, илин союг вахтларында мушаңидэ олунур.

Бу вахт башлыча олараг шимал-шэрг вэ шэрг күлэклэри эсир. Орта Хэзэрин гэрб саһилинин энсиз золағында, ерли шэрант идтийнде, эсас э'тибарилэ, чөнуб-шэрг күлэклэри эсир. Күчлүү фыртыналы күлэклэр Орта Хэзэрин шимал һиссэсийнде даха чох мушаңидэ олунур, чөнуба дөгру исэ бу күлэк азалыр. Дэнизиин чөнуб һиссэсийнде күчлүү шэрг күлэклэри наадир һалларда эсир. Бөйүк күчү олан фыртыналы күлэклэр Орта Хэзэрин шимал һиссэсийнде Шевченко форту, Махач-Гала, Чечна районларында мушаңидэ олунур ки, бурада күлэйин максимал сүр'ети 15—16 м/сан-дэн чох олмур.

VII нөв Орта Асия үзэриндэ үүксэк тэйиг саһэсийн яранмасы илэ характеризэ олунур ки, бу нава күтлэсийн шэргдэн гэрбэ, даха дөгруусу Орта Асияндан (Хэзэр дэнизииндэн кечэрэк) Гафгаз дахь ахынынга сэбэб олур. Бу вахт Хэзэр дэнизи үзэриндэ, башлыча олараг, чөнуб вэ чөнуб-шэрг истигамэтиндэ күлэклэр эсир. Бу просес, эсас э'тибарилэ, илин союг вахтларында, һем дэ тез-тез гыш айларында мушаңидэ олунур. Күчлүү күлэклэр белэ һалда эсасэн дэнизиин орта вэ шимал һиссэлэрийнде эсир.

РЕЗЮМЕ

Составленные нами схемы климатических полей ветров на Каспийском море основываются на типах атмосферных процессов, происходящих над морем и окружающими его районами.

Типизация атмосферных процессов произведена на основании сборно-климатических карт, ежедневных синоптических карт и карт барической топографии. В результате были установлены 13 основных типов атмосферных процессов, обуславливающих различные поля ветров, на Каспийском море.

При составлении полей ветров, характерных по всему району Каспийского моря, некоторые типы обобщены. В результате дано 7 карт полей ветров для 7 основных типов атмосферных процессов, обуславливающих эти поля ветров.

Е. Х. ГЕЙВАНДОВА

НОВЫЕ ВИДЫ *Didacna* ИЗ ХАЗАРСКИХ  
ОТЛОЖЕНИЙ АПШЕРОНСКОГО ПОЛУОСТРОВА

(Представлено академиком АН Азербайджанской ССР М. М. Алиевым)

Отложения хазарского возраста широко распространены на Апшеронском полуострове и образуют ряд террас, высотные отметки которых варьируют от 0 до 309 м над ур. м.

Фауна этих отложений изучалась, главным образом, Н. И. Андрусовым [1], Д. В. Наливкиным [4, 5], В. В. Богачевым [2] и др.

В результате монографической обработки диаки из четвертичных отложений Апшеронского полуострова нам удалось выделить три новых вида. Описанные в данной статье новые виды найдены в Бинагадинском районе, в местности Чахнагляр. Здесь несогласно на породах верхнего отдела продуктивной толщи залегают отложения хазарского яруса, представленные в нижней своей части известняком-ракушником мощностью до 0,50 см. Местами по простираннию известняк уступает место светлосерым глинам, переполненным: *Didacna* ex gr. *surachanica* Nal., *D. cf. vulgaris* Andrus., *D. convexa* sp. nova, *D. apscheronica* sp. nova, *D. janischevskii* sp. nova, *Monodacna caspia* Eichw., *Adacna* cf. *plicata* Eichw., *Dreissensia polymorpha* Pall., *Dr. pontocaspia* Andrus., *Micromelania caspia* Eichw. и др.

Выше залегает незначительной мощности (до 10 см) слой светлосерых, местами буроватых глин с *Cyprideis torosa littoralis* (Bradley), *Cythere* sp. Все это покрыто слоем кира, образовавшегося за счет работающих здесь нефтяных скважин.

В Бинагадах отложения хазарского возраста констатированы также у бывшего водяного амбара, находящегося в направлении SW 258° от вулкана Кейреки.

Здесь на темносерых косослоистых глинах продуктивной толщи залегает конгломерат, состоящий из светлосерых песчаников и мергелей, выше которых следует известняк-ракушник с *Didacna surachanica* Nal., *D. ex gr. kovalevskii* Bog., *D. apscheronica* sp. nova, *D. ex gr. delenda* janischevskii sp. nova, *D. convexa* sp. nova, *D. ex gr. delenda* Bog., *D. aff. nalivkini* Wass., *Adacna* cf. *plicata* Eichw., *Dreissensia rostriformis* Desh., *Dr. polymorpha* Pall., *Micromelania caspia* Eichw., *Theodoxus (Theodoxus) pallasi* Lindh.

Известняк прикрыт современными наносами.

### Описание видов

Тип Mollusca

Класс Pelecypoda

Отряд Heterodontia

Семейство Cardiidae

Род *Didacna* Eichwald

*Didacna convexa* sp. nova, фиг. 1—3.

Голотип хранится в музее палеонтологии Азербайджанского индустриального института.

Размеры (мм): длина—25—35,6; высота—26,3—33,5; толщина—11—16; коэф. укороченности—0,83—0,97; коэф. вздутия—43—55.

Диагноз. Раковина небольшая, толстостенная, со значительно выступающей над замочным краем макушкой. Замочный край короткий. Замок в левой створке состоит из одного маленького треугольного зуба, в правой—из двух кардинальных зубов. Переднее поле покрыто 12—20 плоскими и широкими ребрами.

Описание. Раковина небольшая, толстостенная. Внутренний контур более или менее округлый, в особенности в передней части. Замочный край короткий, образует слегка выпуклую дугу, передняя ветвь которой образует резкий, но округлый переход в передний край. Задняя ветвь образует с косо срезанным задним краем тупой, но явственный угол.

Макушка ребристая, значительно выступает над замочным краем и смешена вперед.

Замок в левой створке состоит из одного маленького треугольного зуба, находящегося непосредственно под макушкой с большой ямой позади и несколько меньшей спереди, а в правой створке—из двух кардинальных зубов: одного крупного, косо поставленного и лежащего впереди него маленького бугровидного зуба.

Киль у макушки имеет треугольную форму; книзу постепенно становится плоским.

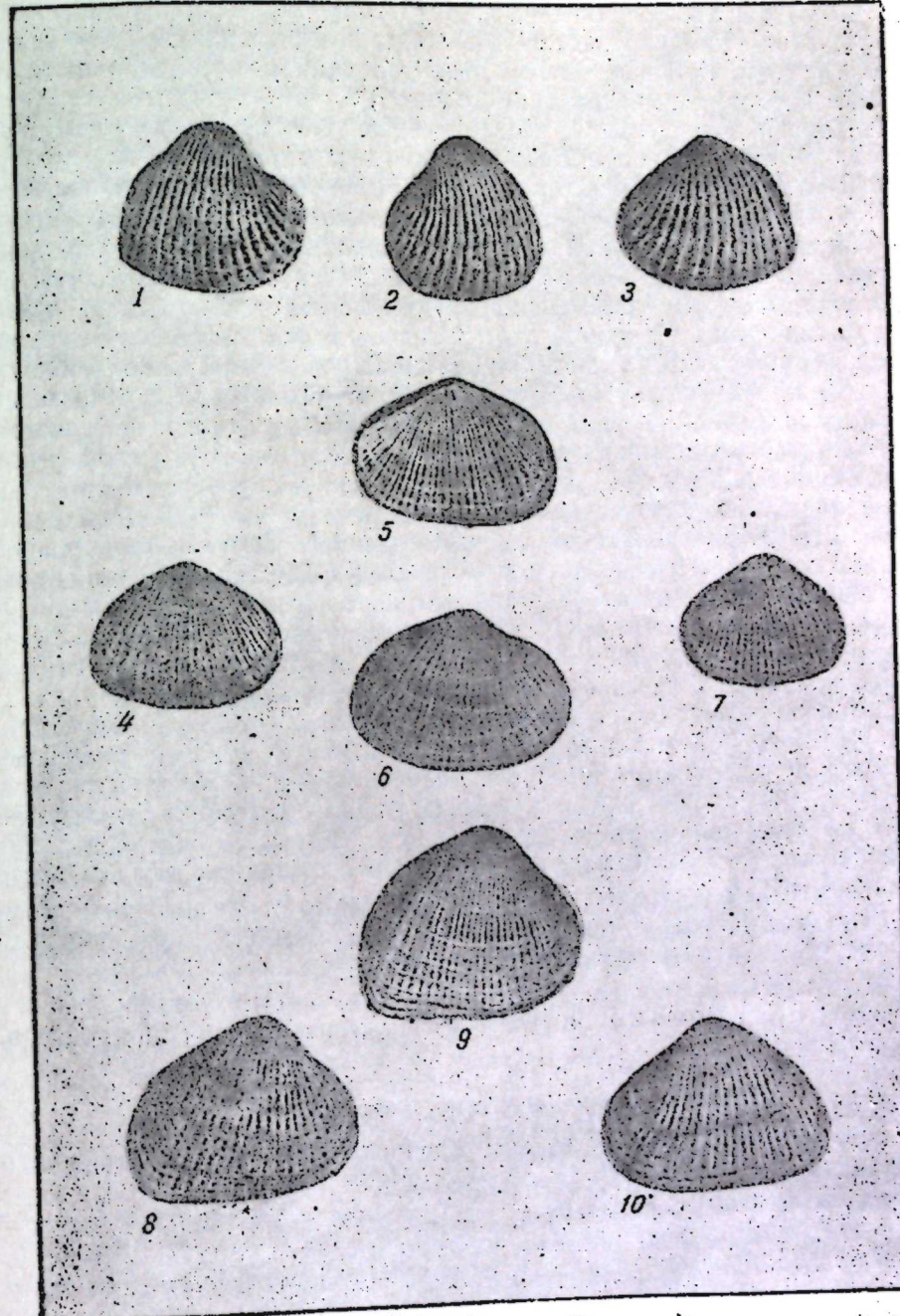
Все ребра переднего поля, число которых варьирует в пределах 12—20, плоские и широкие, причем килевое ребро такой же ширины, что и остальные.

Ширина межреберных промежутков равна ширине смежных ребер, но с приближением к килю она незначительно уступает ширине ребер. Ребра заднего поля числом 4—8, тонкие, отделены друг от друга промежутками такой же ширины.

Сравнительные заметки. Описанный вид по внешнему габитусу, строению замка, высокой и острой макушке близок к *Didacna kovalevskii* Bog., однако последняя отличается более крупной раковиной, большей массивностью, вогнутостью нижнего края в задней части и большим количеством ребер. Перечисленные отличительные признаки, позволяющие нам выделить описанную форму в новый вид, вместе с тем говорят о том, что между ним и *Didacna kovalevskii* Bog. существует родственная связь.

Местонахождение. Апшеронский полуостров, Чахнагляр.

Распространение и возраст. Апшеронский полуостров, хазарский ярус.



Апшеронский полуостров (Бинагады):  
фиг. 1—3 *Didacna convexa* sp. nova;  
фиг. 4—7 *Didacna janischevskii* sp. nova;  
фиг. 8—10 *Didacna apscheronica* sp. nova

*Didacna janischevskii* sp. nova, фиг. 4—7

Голотип хранится в музее палеонтологии Азербайджанского индустриального института.

Размеры (мм): длина—30—41; высота—21,9—28; толщина—10,5—13,5; коэф. укороченности—0,65—0,84; коэф. вздутия—0,42—0,50.

Диагноз. Раковина маленькая, удлиненная, с тупой макушкой, занимающей почти центральное положение.

Переднее поле длинное, заднее—узкое. Киль выражен тупым переломом. На переднем поле имеются 25—34 плоских ребер.

Описание. Раковина малых и редко средних размеров, большей частью удлиненная, умеренно толстостенная, со слабо выдающейся над замочным краем тупой макушкой, занимающей почти центральное положение. Большое переднее поле отделяется от маленьского усеченного заднего тупым килем переломом, сравнительно явственным в области макушки. Передний край раковины характеризуется плавными переходами в смежные края. Задняя ветвь замочного края образует с задним краем тупой угол, с нижним краем—угол, близкий к прямому.

Замок в левой и правой створках состоит из одного небольшого треугольного кардинального зуба, косо поставленного в левой створке и прямо—в правой.

На переднем поле насчитываются 25—34 (чаще 27—30) плоских ребер. Все ребра одинаковой ширины; килемое ребро по ширине несколько уступает смежным с ним ребрам. Ширина ребер на всем протяжении раковины от макушки до нижнего края остается более или менее постоянной, однако на редкоребристых формах наблюдается постепенное расширение ребер к нижнему краю.

Узкое заднее поле снабжено 8—10 нитевидными ребрами.

Сравнительные заметки. По наличию тупого и округленного килемого перелома, внутреннему контуру и общему внешнему габитусу к описанному виду наиболее близка *Didacna vulgaris* Andrus., от которой рассматриваемая форма отличается сравнительно большим количеством ребер, отсутствием характерного для *Didacna vulgaris* Andrus., крыловидного расширения заднего поля.

Экземпляры описанного вида, насчитывающие на переднем поле 33—34 ребра, несколько отличаются от типа меньшим коэффициентом укороченности и значительно меньшим задним полем.

Местонахождение. Апшеронский полуостров, Чахнагляр.

Распространение и возраст. Апшеронский полуостров, хазарский ярус.

*Didacna apscheronica* sp. nova, фиг. 8—10

Голотип хранится в музее палеонтологии Азербайджанского индустриального института.

Размеры (мм): длина—37,4—46,3, высота—28,3—33,5, толщина—10,4—15, коэф. укороченности 0,69—0,78, коэф. вздутия—0,35—0,50.

Диагноз. Раковина средних размеров, толстостворчатая, со сдвинутой вперед макушкой. Нижний край прямой, около киля несколько вогнутый. Нижний край переходит в задний под некоторым углом, а в передний—совершенно плавно.

Замок в правой створке состоит из двух зубов, а в левой—из одного сильно развитого зуба. Переднее поле покрыто 18—30 плоскими ребрами.

Описание. Раковина средней величины, толстостворчатая, с несколько сдвинутой вперед макушкой. Замочный край имеет форму

короткой дуги; передняя ветвь незаметно сливается с округлым передним краем. Задняя ветвь несколько длиннее передней, также плавно переходит в задний край, последний под некоторым углом сливается с нижним краем раковины. Переход нижнего края в передний плавно-округлый. Нижний край прямой и значительно вогнутый.

Замок характеризуется наличием хорошо развитых кардинальных зубов—в правой створке имеется один треугольный косо поставленный зуб, впереди которого располагается маленький, бугровидный зуб, приходящийся непосредственно под макушку; между ними имеется небольшая ямка треугольной формы; такая же ямка существует и позади бугровидного зуба. В левой створке имеется один сильно выдающийся кардинальный зуб с ямками по обе стороны от него.

Поверхность створок снабжена многочисленными, совершенно плоскими ребрами, число которых на переднем поле варьирует в пределах от 18 до 30.

На почти плоском заднем поле насчитывается 7—8 совершенно плоских ребер, отделенных друг от друга нитевидными промежутками.

Сравнительные заметки. По очертанию и характеру внешней поверхности раковины описанный вид обнаруживает большое сходство с *Didacna delenda* Bog., однако отличается от нее более удлиненной формой, угловатостью внутреннего контура раковины, несколько меньшим коэффициентом укороченности.

Местонахождение. Апшеронский полуостров, Чахнагляр.

Распространение и возраст. Апшеронский полуостров, хазарский ярус.

ЛИТЕРАТУРА

1. Andrussoff N. Studien über die Brackwasser-cardiden. *Didacna*. Зап. имп. Акад. наук т. XXV, № 8, 1910.
2. Богачев В. В. Руководящие окаменелости разреза Апшеронского полуострова и прилегающих районов. Тр. Азерб. нефт. исслед. института, т. IV, 1932.
3. Григорьев О. А. Каспийское море и его фауна. Тр. Арапо-Касп. экспед., в. 2, 1876—1877.
4. Наливкин Д. В. Моллюски горы бакинского яруса. Тр. Геол. ком., в. 116, и. с., 1914.
5. Наливкин Д. В. и Анисимов А. Описание главнейших местных форм рода *Didacna* Eichw. из постипиоценца Апшеронского полуострова. Тр. Геол. ком., в. 117, и. с., 1915.
6. Федоров П. В. Каспийские четвертичные моллюски рода *Didacna* Eichw. и их стратиграфическое значение. Изд. АН СССР, 1953.

Азербайджанский индустриальный институт им. М. Азизбекова

Поступило 5. VI 1956

Е. Х. Кейвандова

Абшерон ярымадасынын хээр чөкүнтүләриндэ  
*Didacna* чинсинин ени нөвләри

ХУЛАСЭ

Мэглэдэ мүэллиф тэрэфиндэн, Абшерон ярымадасынын дөрдүнчү дэвр чөкүнтүләри дидакналарынын тэдгиг эдилмэси эсасында, уч ени нөвлөв чөкүнтүләри дидакналарынын тэдгиг эдилмэшидир.

Нэмин нөвлөр Бинэгэди районунун Чахнаглар мэнтэгэснэдэ тапылышдыр. Бурада мэнсулдар гатын үст шөбэсү үзәринэ гейри-уйғун сурэтдэ, алтда 0,50 см галынылығында габыглы эненкдашыларындан иба-

рет, хәзәр мәртәбәсінин чөкүнтуләри ятыр. Узанма истигамәтиндә әһәнкдашыларны ачыг-боз күлләр әвәз әдир ки, бүнларын ичәрисинде харәтерик хәзәр мәртәбәси фаунасы *Didacna surachanica* Nal., *D. cf. vulgaris* Andrus., *D. delenda* Bog. һәмчинин үч ени нөв—*Didacna convexa* sp. nova, *D. apscheronica* sp. nova, *D. janischevskii* sp. nova вардыр.

Мүәллиф һәр үч нөвүн яшыны, онларла бирликдә тапылан харәтер формалары әсасен хәзәр яшлы һесаб әдир. Ашағыда мүәллиф тәрә芬дән тә'йин әдилмиш ени нөвләрин гыса характеристикасы верилир.

#### *Didacna convexa* sp. nova

Габығы кичикдир, галын диварлыдыр. Килид кәнары гысадыр. Килид, габығын сол тайда кичик бир үчбучаг дишдән, сағ тайда исә о ики кардинал дишдән ибарәтдир.

Он сағ 12—20-йә гәдәр сайыла билән ясты вә энли габыргаларла өртүлмүшшүр.

Тәсвир әдилән форма, *Didacna kovalevskii* Bog. илә охшарлыг кәсб әдир, лакин ахырынчы, габығынын даһа да бейүк олмасы, чох массивлийн вә габыргаларынын сайынын артыг олмасы илә фәргләнир.

#### *Didacna janischevskii* sp. nova

Габығы кичикдир, узунсовдур. Тәпәси басыгдыр (ястыдыр). Он сағ әнсиз вә узундур, үзәриндә 25—34-ә гәдәр ясты габырга вардыр. Габығ үзәриндәки тил ити дейилдир.

Тәсвир әдилән нөвә бир гәдәр яхын олан форма *Didacna vulgaris* Andrus.-дур. Лакин ени нөв ахырынчыдан, нисбәтән габыргаларынын чохалмасы вә арxa сағәдә йәһәрвари кенишләнмәнин олмасы илә фәргләнир.

#### *Didacna apscheronica* sp. nova

Габығы орта өлчүдәдир, галынтайлыйдыр. Алт кәнары дүздүр, тилин янында бир гәдәр әйилмишdir, архая бир гәдәр бучаг алтында кечир, өн тәрәфдә тамамилә тәдричидир.

Килид, сағ тайда ики дишдән, сол тайда исә меңкәм иникишаф этмиш бир дишдән ибарәтдир.

Он сағәдә 18—30 ясты габырга вардыр. Тәсвир әдилән форма, *Didacna dilenda* Bog. илә соx охшарлыг кәсб әдир, лакин ахырынчыдан габығынын узунсов формалы олмасы, дахили контурунун бучагвари олмасы илә фәргләнир.

#### Х. М. ӘЛӘКБӘРОВ

#### МЕШЭ СҮЛЕЙСИННИН (*Dyromys nitidula* Pall.) АЗӘРБАЙЧАН ШӘРАТИНДӘ ЧОХАЛМАСЫНА АИД БӘ'ЗИ МӘ'ЛУМАТЛАР

(Азәрбайчан ССР ЭА академики А. Н. Державин тәрәфиндән тәгдим әдилмишdir)

Азәрбайчанда мешэ сүлейсинни *Dyromys nitidula* Pall. кениш яйылмыш кәмиричи нөвләриндән биридир. Белә ки, бу нөвүн яйымасы сағәси соx кениш олуб, Бейүк вә Кичик Гафгазын, Талышын дағ мешәләрини, Губа-Хачмаз массивинин бағ вә мешәләрини, Кур, Араз вә Иоринин турай мешәләрини, набелә аран ерләрин бағ массивләрини әһатә әдир. Соx вахт бу нөвә бейүрткән коллогларында вә үзүмлүкләрдә дә раст кәлирик. Биз мешэ сүлейсинине һүндүр дағларда (дәнис сәвиййәсіндән 1900—2.300 м йүксәкликтә) нәинки коллогларда, набелә мешэ сәрһәдләриндән кәнарда, дашлыг ерләрдә, гаяларын ярыгларында да раст кәлмишик.

Мешэ сүлейсинин эн сых яйылдығы ерләр аран вә орта дағ гуршаглары (50—100—1.200—1.500 м), мейвә бағлары вә вәләс-палыд-мешэ массивләриди ки, бурада чохлу мигдарда мейвә коллары вә гозмейвәли ағачлар битир.

Мешэ сүлейсинни (*Dyromys nitidula* Pall.) Азәрбайчан шәратинде мейвә бағларына бейүк зәрәр вуран кәмиричидир. Буна көрә дә һәмин һейванын биоэкологиясында айры-айры һалларын өйрәнилмәси соx мараглыйдыр, чунки һәмин нөвүн биоэкологиясыны өйрәнмәклә бу вә я дикәр мубаризә үсулларыны мәсләһәт көрмәк олар.

Мешэ сүлейсинин чохалмасына даир дәрч әдилмиш бүтүн мә'лumatlar son дәрәчә мұхтәлифdir. Азәрбайчан үчүн исә белә мә'лumatlar әсла йохдур. Буна көрә дә һәмин мәгаләдә верилмиш материаларын, шубhәсиз, мараглы олачағыны күман, эдә биләрик.

Л. Б. Беменин (1925) өвердий мә'лumatata көрә мешэ сүлейсинни илдә 2—3 дәфә балалайыр вә һәр дәфә 2—6 бала додур. Б. А. Күзнетсов (1948) Л. Соколованын вә В. Н. Шинниковун мә'лumatlarына әсасланараг белә фикир ирәли сүрүр ки, Гыргызыстанда Орта Асия мешэ сүлейсинни илдә ики дәфә балалайыр. Һәмин мә'лumatata көрә балалама биринчи дәфә майда вә июнүн әvvәлләриндә, икinci дәфә ишүүн ахырларында мушаһидә олунур. В. Г. Кептнерин, Л. Г. исә июлүн ахырларында мушаһидә олунур. В. И. Тсалкинин (1950), Б. С. Виноградовун вә И. М. Громовун (1952) фикринчә мешэ сүлейсинни илдә бир дәфә бала-

лайыр.

Г. Г. Доппельмаир, А. С. Малчевски, Г. А. Новиков, Б. Ю. Фадкенштейн (1951) мешэ сүлейсининин илдэ ики дэфэ балаламасы фикри илэ шэрикдирлэр. С. К. Дал (1954) гэйд эдир ки, мешэ сүлейсинин илдэ 1—2 дэфэ балалайыр.

Юхарыда дэйилэнлэрдэн көрүндүйү кими, мешэ сүлейсининин чохалмасы барэдэ бир сыра муэллифлэрүүн вердиклэри мэ'луматлар олдугча мүхтэлифдир. Буна көрэ дэ, зэнн эдир ки, мешэ сүлейсининин чохалмасы нағында элдэ эдилмиш бүтүн ени мэ'луматлар мараг оядагчдыр, чүнки мешэ сүлейсининин биолокиясы нағында бүтүн дэрч олунмуш мэ'луматлар бу нейваны Азэрбайчанды яшайн популясиянына аид дейил, Совет Иттифагынын башга ёрлөриндэ яшайн айрымы популясияларына аиддир.

Биз, чөнуб-гэри Азэрбайчанды (1950—1953-чү иллэр), сонралар исэ (1955-чи илдэ) Бэйүк Гафгазын чөнуб ямачы өразисинде, Талыш аранында вэ Нахчыван МССР-дэ мэмэллилэрүүн фаунасыны өйрөнмөк ишлэри апардыгымыз заман Азэрбайчанды мешэ сүлейсининин чохалмасына даир бэ'зи мэ'луматлар топламышыг.

Тэдгигат апардыгымыз заман 371 мешэ сүлейсинин элдэ эдэ билмшик ки, бунлардан 210-у диши вэ 161-ий эркэцдир<sup>1</sup>. Бу материаллар нэмийн нөвүн бүтүн ояглыг дөврү өрзиндэ (майдан ноябрдэк) топланышдыр.

Бу нейванлар мүхтэлиф ландшафт зоналарында—ярымсэхраларда, даф этэклэриндэ, даф мешэлэрийн орта гуршагларында, нэтта юхары сэргээдлэриндэ элдэ эдилмишдир.

Топланыш материаллар зоналар үзрэ ашағыдакы гайдада фазилэрэ бөлүнүр: аранлыг—35,1%, даф этэклэри—40,4%, даф зонасы—24,5%.

Биз, айдын-ашкар боғаз олмуш эмбрионлу дишилэрдэн элавэ, бир гэдэр өввэл балаламыш, балаларыны бэслэйнэн вэ кечэн балаламадан сонра сон доғумун пласентар лэкэси галмыш дишилэри дэ нэзэр алмышыг.

Мушаңидэлэримизэ өсасэн, Азэрбайчанды шэрантиндэ мешэ сүлейсинин майын икинчи ярысындан чохаллага башлайыр вэ бу октябрьн ахырларына кими давам эдир. Бизим материаллара көрэ эмбриондарын сайы 3—8-эдэк, чох вахт 3—6-эдэк олур.

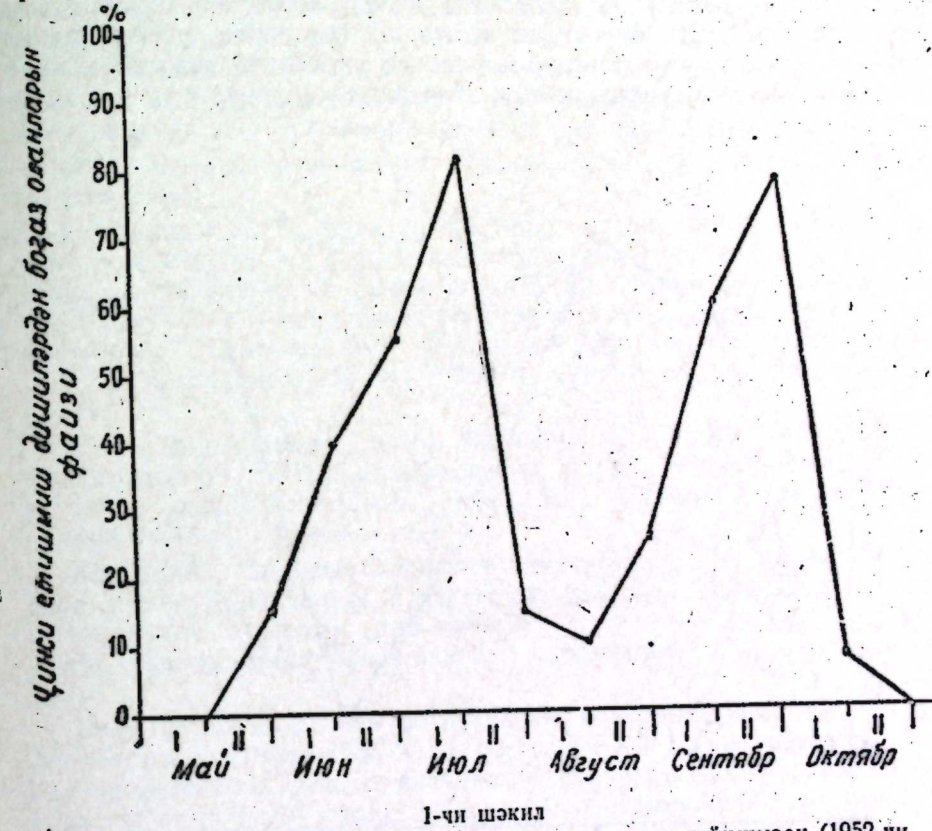
Мешэ сүлейсинин эмбрионлары мигдарынын зоналар үзрэ дэйишмэси чэдвэлдэ верилмишдир.

Зоналар	Чөграфи мэнтэгэлэр	Эмбрионларын мигдары	
		Орта һесабла	Азы-чоху
Аран	Күр, Араз, Талыш бою бағлар вэ мешэлэр, Кичик Гафгаза яхын районлар	4,6	3—8
Даг этэйн	Бэйүк вэ Кичик Гафгазын, Талышын этэйиндэки бағлар вэ мешэлэр	4,8	3—8
Даг	Бэйүк вэ Кичик Гафгазын, Талышын майвэ ағачлы мешэлэри	3,8	3—6

<sup>1</sup> Тэдгиг этдийимиз сүлейсинилэрүүн үмуми мигдарына Азэрбайчанды чума өлжиниэ мүбаризэ стансиясынын һадрут, Лэнкэрэн вэ Чулфа шө'блэлэри тэрэфииндэн бизэ верилэн иүүнүэлэр дэ дахиладир.

Чэдвэлдэн көрүндүйү кими Азэрбайчанды шэрантиндэ мешэ сүлейсинин эмбрионлары даф этэйн зонасында даа чох олур. Көрүнүр бу онуна элагэдэрдүү ки, Азэрбайчанды өсас бэхрэли-килэмийэ бағ массивлэри нэмийн зонада өрлэшир, мешэ сүлейсинин үчүн бураны иглими элвериши олур вэ нейван бурада бол ем тапыр.

Гэйд этмэк лазымдыр ки, гыш юхусундан ояндыгдан сонра мешэ сүлейсинин бүтүн яшдан олан групплары эйни бир вахтда балалама-йырлар.



Боғаз олмуш диши мешэ сүлейсинилэрүүн мигдарынын дэйишмэси (1952-чи илэ айлара көрэ)

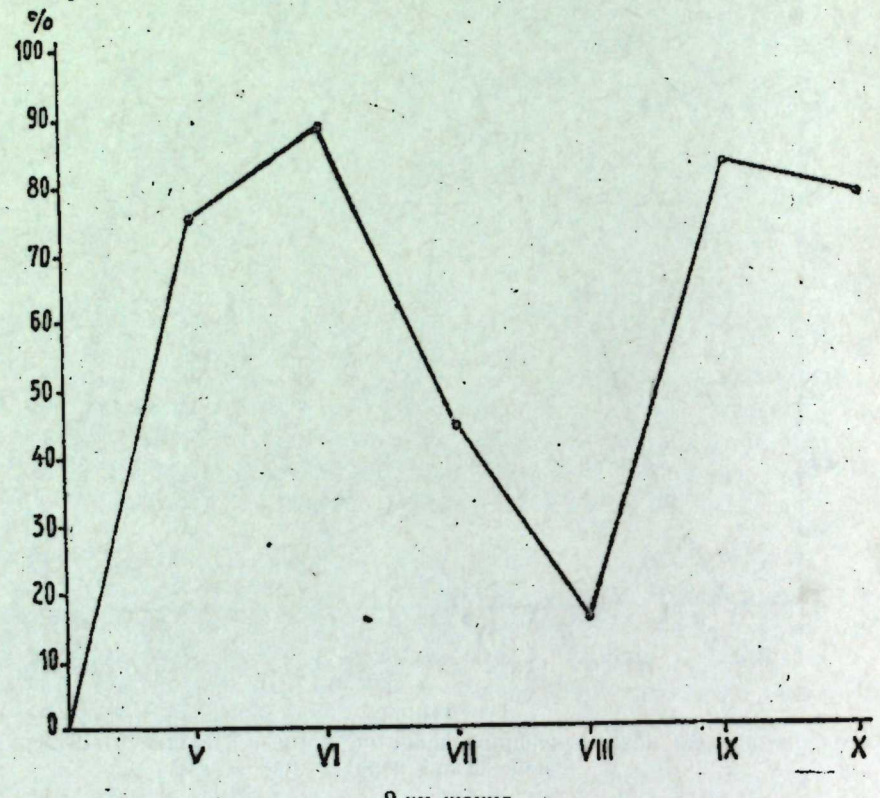
Яшлы дишилэр ояндыгдан сонра чох кечмэдэйн (май), чаванлары исэ бир гэдэр кеч (июн, июлүн биринчи ярысы) балалайыр. Балалама июнүүн икинчи ярысында, июлүн орталарында, набелэ сентябрьн икинчи ярысында даа шиддэтли олур ки, бу да нэмийн нейванларын өсас ем базасыны тэшкүй эдэн мүхтэлиф майвэлэрийн вэ гоз майвэлэрийн бу дөврдэ етишмэси илэ элагэдэрдүү.

Яйын орталарында (июлүн икинчи ярысы, август) чохалманын шиддэти азалыр (1-чи шэкил), сонра исэ енидэн артыр вэ икинчи максимума чатыр.

1-чи шэкилдэн көрүндүйү кими, Азэрбайчанды мешэ сүлейсинин эмбрионлары даф этэйн зонасында чума өлжиниэ мигдарына Азэрбайчанды шэрантиндэ мешэ сүлейсинин ояглыг дөврүндэ ики дэфэ балалама чохалма дөврүнүн өввэлиндэн ахырна кими артараг өз максимумуна чатыр.

Иккичи балалама дөврү августун иккичи ярысындан баштайдың сентябрьин ахырларына кими давам эдир, буидан соңра чохалманың шиддәти кәсекин сурәтдә азалып. Октябрьин эввәлләриндә бояз дишиләрин сайы чүз'и олур, октябрьин ахырларында, гыш юхусундан габаг исә бояз дишиләр, демәк олар ки, раст кәлмирик.

Бүтүн бу дейиләнләр Азәrbайҹан мешә сүләйсингләринин үмумий-йәтлә бүтүн популяциянына эйни дәрәчәдә аиддир. Аран ерләрдә яшаян нөвләrin чохалма мүddәti илә (chohalma dөvruñun bашланmasы вә bu просесин гуртәрмасы) дағ зонасында яшаян нөвләrin чохалма мүddәti арасында гыш юхусундан мүхтәлиф вахтларда оянмалары илә әлагәdar олараг бә'зи фәргләр мүшәнидә эдилсә дә үмумий-йәтлә, бу ики популяциянын чохалмасында эйни налы көрүрүк.



Мешә сүләйсингинин мә'дәсийнде раст кәлән нейван еминин мигдары (.952-чи илни айларына көрс, %-лә)

Азәrbайҹан шәрәнтindә мешә сүләйсингинин ики дәфә балаладыры бир дә онунла тәсдиq олунур ки, чохалманың шиддәтләндийн дөврдә нейванларын мә'дәләриндә нейван еминин мигдары даһа чох олур, чунки көрүндүй кими, нәмин бу дөврдә мешә сүләйсингин рүшемин нормал иникишафы үчүн колориси даһа чох олан нейван емине бөйүк дәрәчәдә әһтияч нисс эдир (2-чи шәкил).

Нәмчинин, гейд этмәк лазымдыр ки, нейван еминин эн чох фазиң дишиләрин пайына дүшүр. Көрүнүр дишиләр юмурта hүчейрәсингин нормал артмасы вә эмбрионларын иникишафы үчүн колориси олан смләрә бөйүк әһтияч нисс эдиrlәр.

Беләликлә, Азәrbайҹан шәрәнтindә мешә сүләйсингинин илдә ики дәфә балаламасы шубhә ояда билмәз.

Азәrbайҹан ССР ЭЛ  
Зоология Институту

Алымышдыр 3.VI 1955

Х. М. Алекперов

## Некоторые данные о размножении лесной сони (*Dyromys nitedula* Pall.) в условиях Азербайджана

### РЕЗЮМЕ

Лесная соня (*Dyromys nitedula* Pall.) в условиях Азербайджана является существенным вредителем плодовых садов. Поэтому изучение отдельных моментов в биоэкологии этого зверя представляет большой интерес, так как только на базе изучения биоэкологии данного вида можно рекомендовать тот или иной метод борьбы с ним.

Относительно размножения лесной сони все печатные сведения разноречивы.

По данным Л. Б. Беме (1925), лесная соня в год приносит 2–3 помета, в каждом от 2 до 6 детенышей. Б. А. Кузнецов (1948), ссылаясь на сообщение Л. Соколовой и В. Н. Шинникова, предполагает, что в Киргизии у среднеазиатских лесных сонь бывает 2 помета. По мнению В. Г. Гептнера, Л. Г. Морозовой-Туровой, В. И. Цалкина (1950), Б. С. Виноградова и И. М. Громова (1952) лесная соня дает один помет.

Г. Г. Доппельмаир, А. С. Мальчевский, Г. А. Новиков, Б. Ю. Фалькенштейн (1951) придерживаются мнения о двукратности помета в году у лесной сони. С. К. Даль (1954) отмечает, что лесная соня размножается 1–2 раза в год.

Как видно, печатные сведения относительно размножения лесной сони весьма разноречивы, а для Азербайджана такие сведения и вовсе отсутствуют. Поэтому, приведенные в данной работе материалы будут, нам думается, представлять, несомненно, определенный интерес.

Нами во время работы по изучению млекопитающих юго-западного Азербайджана (1950–1953 гг.), а позже (1955 г.) на территории южного склона Большого Кавказа, низменного Талыша и Нахичеванской АССР собраны некоторые данные относительно размножения лесной сони в Азербайджане.

Согласно нашим наблюдениям, размножение лесной сони в условиях Азербайджана начинается во второй половине мая и продолжается до конца сентября.

Следует отметить, что после пробуждения от зимней спячки не все возрастные группы лесных сонь приступают к размножению одновременно. Взрослые особи начинают размножаться вскоре после пробуждения (май), молодые же приступают к размножению позже (июнь, первая половина июля).

Наиболее интенсивное размножение наблюдается во второй половине июня, в середине июля, а также во второй половине сентября, что связано созреванием различных плодов, составляющих основную кормовую базу этого зверя.

В середине лета (вторая половина июля, август) интенсивность размножения падает (рис. 1), после чего вновь начинает повышаться и доходит до второго максимума. Весь период размножения лесной сони имеет два максимума, ясно разграниченных значительной паузой. Такого рода явление, безусловно, говорит о том, что в Азербайджане лесная соня в летнее время успевает принести два помета. Время первого

помета начинается со второй половины мая и длится до середины июля. Период второго помета начинается со второй половины августа и длится до конца сентября. В начале октября попадается незначительное количество беременных самок, а в конце месяца количество беременных самок сходит на нет.

Двукратное деторождение у лесной сони подтверждается еще тем, что большее количество животного корма встречается в желудках зверьков в период интенсивного размножения. Это объясняется тем, что животный корм положительно влияет на нормальный ход размножения.

Таким образом, двукратное деторождение у лесной сони в условиях Азербайджана не вызывает сомнения.

АГРОБИОЛОКИЯ

Э. М. БАБАЕВА

СУВАРМАНЫН ЯШЫЛ ЧАЙ ЯРПАГЛАРЫНДА КЕДӘН  
ФОТОСИНТЕЗ ПРОСЕСИНӘ ТӘ'СИРИ (ЛӘНКӘРАН ШӘРАИТИНДӘ)

(Азәрбайчан ССР ЭА әкадемики И. Э. Элиев тәрəфинбән тәгдим әдилмешdir)

Кәнд тәсәррүфаты биткиләри мәһсулунун артырылмасы вә һабелә кейфиййәтчә яхшылашдырылмасы бир чох харичи вә дахили амилләрдән асылыды.

Харичи амилләр, о чүмләдән кәнд тәсәррүфатында истифадә олунан агротехники тәдбирләр. биткиләрин дахилиидә кедән мүрәккәб физиологи просесләрә тә'сир этмәккә, онларын истигамәтини мүәййән тәрәфә дәйишишдirmәккә үмуми мәһсулун артмасына вә онун кейфиййәтинә тә'сир әдир.

Биз, агротехники тәдбирләрин яшыл чай ярлағы мәһсулунун артырылмасында бейүк әһәмиййәти олан физиологи просесләрә тә'сирини өйрәнмәккә, о тәдбирләрдән даһа дүзкүн вә вахтында истифадә олумасыны көстәрә биләрик.

Мәһсулун артырылмасы илә сых әлагәси олан физиологи просесләрдән ән мүһүм вә әсасы фотосинтез просесидir вә тәсадүfi дейилдир ки, мәһсулун артырылмасында билаваситә иштирак әдән бу просес бейүк дүнякөрүшүнә малик олан К. А. Тимирязевин [5] нәзәрдиггәтини чәлб әгмишdir.

Фотосинтез просесинин мәһсулун артмасында вә онун кейфиййәтчә яхшылашмасында тә'сирини нәзәрә алараг, чай ярпагларында, еничә тәтбиг олунан суварма үсулу илә әлагәдар олараг, бу просесин өйрәнилмәсисини ән мүһүм мәсәлә һесаб әдирик.

Л. С. Любарскаянын [2] тәчрүбәләrinе көрә торпагда суюн азалмасы фотосинтез просесинин зәифләмәсисине вә бунуна әлагәдар олараг мәһсулун хейли ашагы дүшмәсисине сәбәб олур.

В. А. Бриллиант [1] көстәрик ки, фотосинтез нәтичәсисинде биткинде топланан үзви маддәләр мәһсулун чохалмасына сәбәб олур.

1950-чи илдә В. А. Мухин-Бегачева вә В. А. Бриллиант [4]. Күрчустаин ССР-ин Анасуули районунда вә Адлердә етишдирилмиш чай биткисинде фотосинтез просесини һаванын рүтубәттindән асылы олараг өйрәндикдә, рүтубәтин бу просес үчүн бейүк әһәмиййәтә малик олдуғуну гейд әдәрәк һаванын нисби рүтубәти 98—99% олан шәрәнтә бу просесин хейли артмасыны мушаһидә әтмишләр.

Яшыл чай ярлағы мәһсулунун артырылмасында әсас рол ойнайы фотосинтез просеси 1950-чи илдә Азәрб. ССР Элми-Тәлгигат Чохил-

лик Биткиләр Институтунын физиология лабораториясы тәрәфиндән өйрәнилмәйэ башланышыры.

Тәчрубы Ләнкәран районунун „Аврора“ вә С. М. Киров адына совхозларында тарла шәраиттән апарылышыры.

1950-чи ил тәчрубыләрнән фотосинтез процесси суварылан вә суварылмаян чай колларында тә'йин эдилмишdir. Суварылан саһәдә торнағын рутубети үмуми су тутумундан 75%-дә сахланылыры. Чай ярпагларында фотосинтез процесси Красноселская-Ордоин вә Рихтерин методу илә өйрәнилмишdir.

Фотосинтез процессилә янашы олараг, ярпагларда су вә гуре маддәнин мигдары тә'йин эдилмишdir. Биринчи суварма майын 14-дә, иккinci июнүн 22-дә, үчүнчү исә июнүн 16-да апарылышыры. Лакин фотосинтез июнүн 20-дә илк дәфә олараг тә'йин эдилмишdir ки, бунун да иетичәләри 1-чи чәдвәлдә көстәримиши.

#### I-ЧИ ЧАС

#### Суварма иетичесинде фотосинтез процессинин дәйнишүлмәси

Вариантлар	Температура, С.р.-н	Экспозисия	Суварманның контрола нисбәтән фәрги		
			1 саат экспозисиянын 100% мигдари	Мигдар	Мигдар
Контроль	28,0	12 <sup>-80</sup> — 12 <sup>-38</sup>	7,4	—	100
Суварма (14/V, 22/VI, 16/VII)	27,0	16 <sup>-28</sup> — 16 <sup>-38</sup>	5,7	—	100
	28,0	12 — 12 <sup>-38</sup>	17,0	9,6	230
	27,0	16 — 16 <sup>-30</sup>	7,8	2,1	137

Чәдвәлдән көрүнүр ки, saat 12-дә суварылан саһәдәки фотосинтез сүр'ети, контрола нисбәтән 2 дәфәдән артыгды. Ыэр ики саһәдә фотосинтез saat 12-дә saat 16-я нисбәтән йүксәкдир. Белә иетичәйә августун 10-да апардығымыз тәчрубыдә дә тәсадуф эдилир (2-чи чәвәлә бах).

Тәчрубын иетичәләри көстәрмишидир ки, һәм контрол, һәм дә суварылан чай биткисинин ярпагларындакы фотосинтезин сүр'ети saat 12-дә saat 16-я нисбәтән йүксәкдир. Белә фәрг суварылан саһәдә даһа айдын мүшәнидә олунур.

Саат 15—16-да суварылан саһәдә фотосинтез сүр'етинин контрола нисбәтән фәрги дикәр saatларда апарылан тәчрубы иетичәләриндән йүксәкдир.

Йәр ики саһәдә ахшамустуләр фотосинтезин сүр'ети азалыры. Беләки, суварылан саһәдә 2,3 мг-а чатыр. Рәгемләрдән көрүнүр ки, фотосинтезин сүр'ети суварылан саһәдә контрола нисбәтән хейли йүксәкдир.

Яышы чай ярнағы мәңсулунын артмасыны тә'мин эдән әсас процес фотосинтез процесси олдуғу үчүн фотосинтез сүр'ети йүксәк олан суварылан чай колу ярпагларында мәңсулун йүкәлмәсеннә тәсадуф итмәк мүмкүнди.

Вариантлар	Температура, С.р.-н	Экспозисия	Суварманның контрола нисбәтән фәрги	
			1 саат экспозисиянын 100% мигдари	%-лә
Контроль	19	7 <sup>-03</sup> — 7 <sup>-36</sup>	4,9	—
	29	10 <sup>-58</sup> — 11 <sup>-26</sup>	9,3	100
	33	15 <sup>-57</sup> — 16 <sup>-27</sup>	2,5	100
Суварылан биткиләр	19	7 <sup>-19</sup> — 7 <sup>-10</sup>	14,3	291
	29	10 <sup>-34</sup> — 11 <sup>-24</sup>	20,2	217
	33	15 <sup>-11</sup> — 15 <sup>-11</sup>	8,3	232
	27	19 <sup>-03</sup> — 19 <sup>-33</sup>	2,3	—

1950-чи илдә М. А. Элизадәнин апардығы тәчрубы көстәрмишидир ки, суварылан саһәдә 1 гектардан алынан яшыл чай ярнагларынын мәңсулу 6545 кг-а, суварылмаян саһәдә исә 2510 кг-а бәрабәрдир.

Тәхминән бу нисбәтдә фотосинтез процессинин суварылмаян саһәдә дә азалмасы мүшәнидә олунур. Бу да фотосинтез процесси илә мәңсул арасындакы әлагәнин олдуғуның көстәрир.

Гейд этмәк лазымдыр ки, мәңсулун суварылмаян саһәләрдә суварылан саһәләрә нисбәтән азалмасы ән чох яй айларында мүшәнидә олунур.

#### 3-ЧИ ЧАС

#### Яышы чай ярнағы мәңсулу, кг / ha-ла

Вариантлар	Май	Июн	Июл	Август	Сентябрь	Октябрь	Умуми	
							Контроль	Суварылан биткиләр
	1204	144	323	28	623	188	2510	6545
	2338	440	1208	742	1415	402		

Чәдвәлдәки рәгемләрдән көрүнүр ки, май айында суварылмаян саһәдән алынан мәңсул, суварылан саһәйә нисбәтән 2 дәфә, июн айында тәхминән 3 дәфә, июл айында 4 дәфә, август айында исә тәхминән 26 дәфә аз олур. Соңра исә сентябр айындан башлаяраг суварылан биткиләрлә суварылмаян биткиләр арасында фәргин азалмасы мүшәнидә олунур.

Фотосинтез процессинин суварылмаян биткиләрдә ән чох азалмасы, яй айларында, күнүн исти вахтларында вә биткиләрдә су азалдығы заман даһа айдын мүшәнидә олунур.

Физиологи процессләрдә су бейік әһәмийтә малик олдуғу үчүн биткиләрдә суюн азалмасы онларын солмасына сәбәб олур вә иәнәйт, фотосинтез энержисинин ашагы дүшмәсилә иетичәләнір [2]. Бу иетичә апардығымыз тәчрубыдә мүшәнидә эдилмишdir.

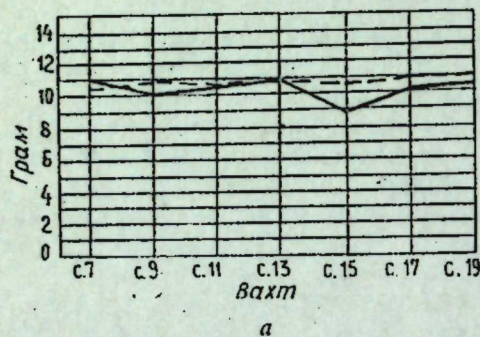
Чәдвәлдән көрүнүр ки, суварылан чай биткиси ярпагларында суюн мигдары суварылмаян саһәйә нисбәтән артыгды. Ирәлидә көстәрдиниз кими, фотосинтез процессинин сүр'етли кетмәсі суюн артмасы

## Ярпагларда суюн мигдary, %-ээ

Вариантлар	Саат 7-дэ	Саат 11-дэ	Саат 15-дэ	Саат 19-дэ
Суварылан биткилэр	67,9	64,6	61,3	65,2
Контрол	65,8	61,8	61,4	63,5

илээ элагэдарь, юу ни суварылан саһэдэ суюн мигдary чох олан ярпагларда фотосинтезин сүр'ети юуксек олур. Белэликлэ, ярпагларда суюн мигдary фотосинтез просесинин сүр'етли кетмэснэ сэбэб олур.

Гэйд этмэк лазымдыр ки, дикэр амиллэрлэ бирликдэ фотосинтез мэхсулууну ярпагларда топланмаснын да фотосинтез просесинэ тэсирни вардыр.



Чай биткиси ярпагларында суварма илээ элагэдэр олраг гуру маддэнийн күн-дэлийг дэйшишлэсэн ( $1 \text{ dm}^2$  ярпаг саһэснэд мг-ла мигдary)

— сувармаян гэлэр, 21/VII 1950; — суварылан саһэснэд — контрол; — сувармалайн сонира, 19/VII 1950; — суварылан саһэснэд — контрол

Буна көрэ дээ фотосинтез просеси нэтичэснэдэ ярпагларда топланан гуру маддэ мигдaryнын суварылмадан асылы олраг дэйшишлэснэ тэчрүбэдэ ёйрэндик. Тэчрүбэний нэтичэснэ графикдэ көстэрилir.

## 5-ЧУ ЧЭДЭЭЛ

Вариантлар	Температура, С-ээ	Экспозиция	1 саат эрзиндэ $1 \text{ dm}^2$ саһэснэ тэрэфиндэн удулан $\text{CO}_2$ -нин мг-ла мигдary	Суварманын контрола нисбэтэн фэрги	
				мутлаг	%-илэ
“Кар” ярпаглар	25,2	11 <sup>-23</sup> —11 <sup>-53</sup>	14,16	—	100
Флеши дэрилмиш нормал ярпаглар	25,2	11 <sup>-13</sup> —11 <sup>-43</sup>	28,1 14,06	198	—

Тэчрүбэ көстэрил ки, ярпагын вайид сэтгинэ дүшэн гуру маддэнийн мигдary сувармаян гэлэр юэр ики саһэдэ бир-бириндэн аз фэрглэнир. Лакин суварылдыгдан сонира гуру маддэнийн мигдary суварылан саһэдэ контрола нисбэтэн азалыр.

Суварылан биткилэрийн ярпагларында гуру маддэнийн азалмасы шүб-хэсиз ки, биткилэрдэ, бойатма просесиний сүр'этлэнмэснэ вэ буунула элагэдэр олраг, ярпаглардан фотосинтез мэхсулууну яхмасы илээ элагэдарь, бу да ээ нөвбэснэдэ фотосинтез просесиний сүр'этлэнмэснэ сэбэб олур. Фотосинтез просесиний сүр'этлэнмэснэ исэ мэхсулуун чохалмасына сэбэб олур. Ярпагларда топланан узви маддэлэрийн башга органлара яхмаснын, фотосинтезийн сүр'ети тэсирини мүэй-йэн этмэк учун “кар” вэ нормал зоғларын ярпагларында һэмийн процеси ёйрэнмэйэ башладыг.

Яхши кейфийтэли гуру чайын алхимасында нормал зоғлар “кар” зоғлары нисбэтэн эн мүнүм ер тутур. Нормал вэ “кар” зоғларын ярпаглары үзэриндэ апардыгымыз тэчрүбэ нэтичэснэдэ фотосинтез просесидэки фэргэ тэсадуф этмэк мүмкүндүр.

Тэчрүбэний нэтичэснэ көстэрил ки, “кар” зоғларын ярпагларында фотосинтез просеси нормал зоғларын ярпагларында кедэн фотосинтез просесинэ нисбэтэн зэйфдир.

Демэли, нормал зоғларын ярпагларында узви маддэлээр флешлэрэ ахмагла, фотосинтез просесиний сүр'этлэнмэснэ сэбэб олур. “Кар” зоғларда исэ бэйумэ просеси зэйф олдуундан, топланан узви маддэлээр чаван органлара яхмаяраг фотосинтез просесини зэйфлэшдир. Белэликлэ, чэдвэлдэн мэлум олдууфу кими, нормал зоғлардакы фотосинтез просесиний сүр'ети “кар” зоғлара нисбэтэн 2 дэфэ юуксэкидир. Бу нэтичэлэр көстэрил ки, фотосинтез просесиний сүр'етли кетмэснэ биткилэрдэ бойатма илэ сых элагэдарь.

## Нэтичэлэр

1. Суварма чай ярпагларында кедэн фотосинтез просесиний юуксэлмэснэ сэбэб олур.

2. Суварылан чай биткиси ярпагларында суюн мигдary суварылан ярпаглара нисбэтэн юуксэкидир. Бу да фотосинтез просесиний сүр'этлэндирэн амиллэрдэн биридир.

3. Суварылан битки ярпагларында фотосинтез мэхсулууларыннын дикэр органлара яхмасы, суварылан ярпагларын контрола нисбэтэн даан сүр'этлэн кедир вэ белэликлэ, суварылан саһэдэ ярпагын вайид сэтгинэ дүшэн гуру маддэнийн мигдary азалыр.

4. “Кар” зоғларын ярпагларында узви маддэлэрийн зэйф яхмасы, фотосинтез просесиний зэйфлэшмэснэ сэбэб олур. Белэликлэ, фотосинтез просесиний сүр'етли кетмэснэ бойатма илэ сых элагэдэр олдууфу ашкар олур.

## ЭДЭБИЙЯТ

- Бриллиант В. А. Фотосинтез как процесс жизнедеятельности растения, 1949.
- Любарская Л. С. „ДАН СССР“, т. LXXII, №3, 1950.
- Любименко В. Н. Фотосинтез и хемосинтез в растительном мире, 1935.
- Мухина-Бегачева В. А. и Бриллиант В. А. „ДАН СССР“, т. LXXVII, №1, 1951.
- Тимирязев К. А. Сочинение, т. IV, Сельхозгиз, 1938.

**Влияние полива на фотосинтез листьев чайного растения  
в условиях Ленкорани**

**РЕЗЮМЕ**

Опыты по изучению процессов фотосинтеза в листьях чая проводились в поливных условиях чаесовхозов им. Кирова и "Аврора" Ленкоранского района.

Для изучения влияния водного режима на фотосинтез сравнивались чайные кусты, обеспеченные поливной водой из расчета 75% влажности от поливной влагоемкости почвы, и кусты неполивных плантаций.

Результаты опытов показали, что в листьях поливных растений чая интенсивность фотосинтеза в два—два с половиной раза превышает таковую неполивных растений.

Сравнительное изучение фотосинтеза в листьях глухих и нормальных побегов показали значительно высокую интенсивность этого процесса в листьях нормальных побегов, с которых снимались флеши (в листьях, остающихся на пеньке).

**АГРОБИОЛОКИЯ****Ч. Э. ЭЛИЕВ**

**МИКРОЭЛЕМЕНТЛӘРИН БҮГДАНЫН ЯТМАСЫНА  
ТӘСИРИ**

(Азәрбайҹан ССР ӘА академики һ. Ә. Элиев тәрәфиндән төгдим әдилмишdir)

Мә’лүмдүр ки, дәни биткиләрин ятмасы чох вахт мәңсулуң хейли азалмасына сәбәб олур (3, 4). Бундан әлавә мәңсулуң кейфийәти хейли ашагы дүшүр вә тахылын механики үсулла Ығылмасы чох чәтинләшир.

Һал-һазырда олан әдәбият мә’лumatлары тахыл биткиләринин ятмасыны эсас әтибарилә онларын көвдәләринин механики тохумаларынын мөһкәмлүйилә изән әдир. Бу һалда (3) буғумараларынын мигдарынын, узунлугуини, диаметринин, көвдә диварынын (саманын) галынлығынын ашагы буғумараларындан күләшин (1 см) вайид чәкисинин вә с. чох әһәмийәти вардыр. Бүтүн бу әламәтләр көвдәнин мөһкәмлүйилә гарышылыглы әлагәләрдүр. Калиум вә фосфор күбрәләри (3) көвдәнин мөһкәмләнмәсинин бу әламәтләринә мүсбәт тә’сир әдир.

Микроэлементләрә аид бир-чох әлми әсәрләрин олмасына бахмайраг, микроэлементләрин тахылын ятмасына тә’сирини көстәрән әсәрләр, демәк олар ки, йох дәрәчәсүндәдир. Һалбуки тахылын ятмага гарыш давамлылығыны артырмаг сон дәрәчә әһәмиййәтли мәсәләдир.

П. А. Власюк манганин кәнд тәсәрруфаты биткиләринин һәятында ойнадығы ролу вә мангани күбрәсүнин кәнд тәсәрруфатында әһәмиййәтини мүәййән этмәк үчүн апардығы 30 иллик тәдгигат ишләрнәд мантанын тахылын ятмасына әлверишли тә’сир көстәрдийини ашкар этишdir. П. А. Власюк [1] көстәрир ки, йүксәк аграфонда мангани пайызылыг тахылын сыхлығыны артырып, һүчейрә диварларынын галынлашмасына сәбәб олур вә тахыл ятаркән көвдәнин сыймасынын биринчи буғумарасындан иккинчи вә үчүнчү буғумарасына кечмәсүнә көмәк әдир. Бу да ятма һәтичәсүндә олан иткени хейли азалдыр. Бу һалда көвдәнин ятмасы тез дүзәлir вә тахылы һәр һансы бир ҳашыла Ығмаг мүмкүн олур. Манганин тә’сири алтында пайызылыг тахылын ятмасынын азалмасы илә бәрабәр, онун мәңсулу 53—113%-ә گәдәр артыр.

Михайловски вә Сопилияк [2] пайызылыг тахылын тохумаларынын сәпингабағы манганин вә мисин сульфат дүзләрү мәһуллары илә ишләнилмәсүнин (исладылмасынын) тә’сирини өйрәнәрәк мүәййән этмишләр ки, бу элементләрин тә’сири алтында бугда көвдәсүндә механики тохумаларын мөһкәмлүй артыр.

Гараабағ зонасы тәчрүбә станциясында 1951-чи илдән башлаяраг апардығымыз 3 иллик чөл тәчрүбәләрнә микроэлементләрин буғда-

нын инкишаф вэ мэйсулдарлыгына тэ'сири өйренилмишdir. Апарылан тэчрүбэлэрин васитэсилэ микроэлементлэрин буғданын ятмасына нечэ тэ'сири көстэрдийн дэ өйренилмишdir ки, буулар наагында мэ'лумат-вермэйн лазым билирик. Тэчрүбэ "Севинч" буғда сорту илэ апарылмышдыр; делянкаларын бэйүүклүү 30 м<sup>2</sup>-дэн 200 м<sup>2</sup>-эдэк; тэчрүбэ уч тэкрарла апарылмышдыр. Сэпин эн элверишил вахтда вэ сэпин нормасында апарылмышдыр. Микроэлементлэрдэн бор—бура наалында, манган, мис вэ синк исэ, онларын сульфат дузлары шэклиндэ истифадэ эдилмишdir. Истифадэ олунан манган-сульфат нефт сэнаенинн туллантыларындан алымышдыр (Фрунзе адына күкүрд туршусу заводу). Микроэлементлэрин мүхтэлиф дозалары илэ олан бүтүн вариантлар һэм азот вэ фосфор күбрэсийн фону үзрэ, һэм дэ фонсуз апарылмышдыр. Азот вэ фосфор нектара 50 кг N вэ 50 кг P<sub>2</sub>O<sub>5</sub> несабы илэ аммониум шорасы вэ суперфосфат шэклиндэ верилмишdir. Микроэлементлэри торпаға верәркэн онлары габагчадан эләниш торпагла гарышдырылар. Микроэлементлэр вэ элэчэ дэ азот вэ фосфор күбрэлэри торпаға мүхтэлиф вахтларда— билаваситэ экингабагы вэ векетасия дөврүндэ верилмишdir. Микроэлементлэрин торпаға верилэн мигдары чэдвэлдэ көстэрилir. Тахылын ятмасы мэйсул йыгымы габагы айры-айры вариантларын үмуми саһэснэ нисбэтэн (фаизлэ) ятмаш тахыл саһэснин мүэййэн этмэк йолу илэ несаба алымышдыр. Башга тэчрүбэлэрдэ исэ биткилэрин ятмаға гарши мөнкэмлийн бал несабы илэ (5 баллы системлэ) гиймэтлэндирилмишdir. Чэдвэллэрдэ көстэрилэн рэгэмлэр тэчрүбэлэрин уч тэкрарындан чыхарылан орта эдэллэрдир.

#### 1-чи чэдвэл

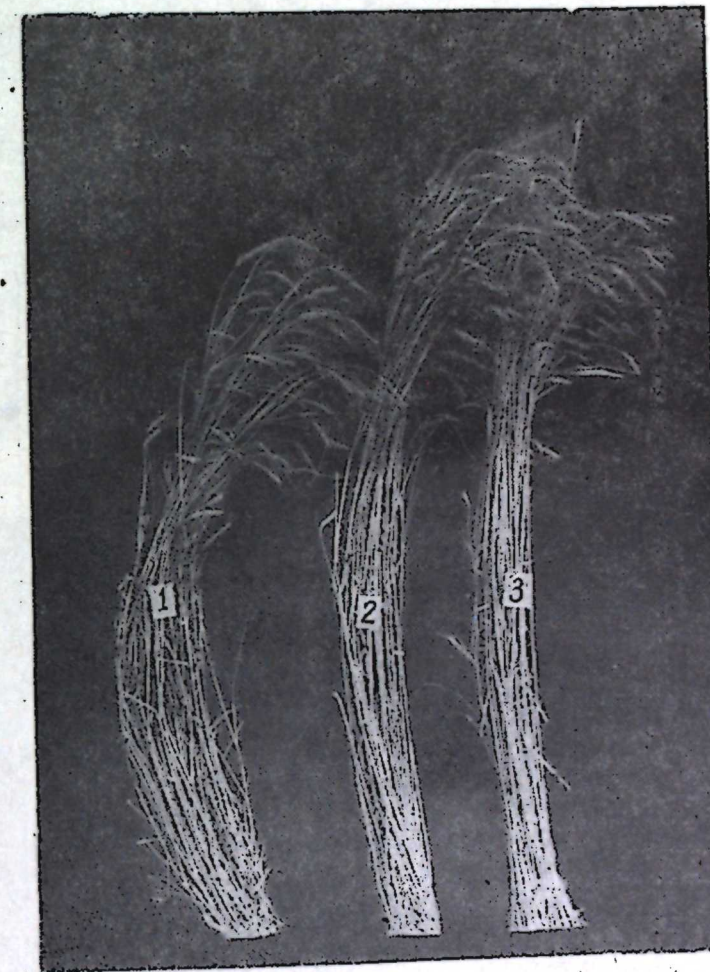
Микроэлементлэрин буғданын ятмасына тэ'сири (1951/52-чи ил тэчрүбэлэри)

Вариантлар	Үмуми саһэйэ көрэ ятмаш биткилэрийн фанзи	
	фонсуз	азот вэ фосфор фонунда
Контроль		
Бура 2 кг/га	55	65
Бура 4	35	50
Бура 8	30	60
Бура 12	30	60
Контроль	30	70
MnSO <sub>4</sub> 2,5 кг/га	60	70
MnSO <sub>4</sub> 5	50	55
MnSO <sub>4</sub> 10	0	45
MnSO <sub>4</sub> 15	0	45
Контроль	0	45
CuSO <sub>4</sub> 2 кг/га	65	90
CuSO <sub>4</sub> 5	0	85
CuSO <sub>4</sub> 10	0	70
Контроль	0	55
ZnSO <sub>4</sub> 1 кг/га	55	75
ZnSO <sub>4</sub> 2	35	65
ZnSO <sub>4</sub> 5	30	60
	35	60

1-чи чэдвэлдэ буғданын мүхтэлиф минерал элементлэрлэ эмлэнэ шэрэгтиндэ ятмасы көстэрилir (1951/52-чи ил тэчрүбэлэри).  
Бу чэдвэлдэн көрүнүр ки, бүтүн тэчрүбэ вариантларында тахылын ятмасы контрола нисбэтэн хейли аздыр.

1000

Азот вэ фосфорла күбрэлэнмэши саһэдэ бор илэ апарылан тэчрүбэлэрдэ контрол биткилэрин ятмасы 55% тэшкүй этдийн наалда, нектара 2 кг-дан 12 кг-а гэдэр бура верилмиш мүхтэлиф тэчрүбэ делянкаларында буғданын ятмасы 30—35% тэшкүй этмишdir. Буғданын ятмасынын бу чүр азалмасы торпаға синк верилэндэ дэ мүшэнидэ эдилмишdir. Белэликлэ дэ, бу микроэлементлэрин һэр икиси ятманы азалдьурса да, ону тамамилэ арадан галдырмыр.



1-чи шэкил  
1. Контроль. 2. Мангани. 3. Мис

Гэйд этмэк лазымдыр ки, мангани вэ мис илэ апарылан тэчрүбэлэрдэ биткилэр гэтийн ятмамышлар. Торпаға мис вэ мангани верилмэсн тахылын ятмасынын тамамилэ гаршицыны алыр.

Тэчрүбэ саһэлэриндэн көтүүлэн дэргэлэри шэкли чэкилмишdir. Һэмийн чэдвэлдэн көрүндүү кими, тахылын ятмасынын бир гэдэр азалмасы микроэлементлэри азот вэ фосфорла күбрэлэнмэши саһэйэ вердикдэ дэ мүшэнидэ эдилir. Лакин мангани вэ мислэ күбрэлэнмэ вераситэсилэ бу наалы тамам арадан галдырмаг мүмкүн олмамышдыр. Бу шэгийн ки, биткинин азот вэ фосфорун тэ'сири алтында бой ятмасынын вэ колланмасынын сүр'этлэнмэсилэ элагэдарь.

1953/54-чү ил тәчрүбәләрнә дә микроэлементләрин тахылын ятмасына тә'сир иштәүгөндә мараглы нәтижәләр әлдә әдилмишdir. Онлар 2-чи чәдвәлдә көстәрилir.

Бу тәчрүбәләрдә биткинин ятмаға гарышы мөһкәмлүүнү 5 баллы системе илә мәңсүл йығымы габагы тә'йин әдилмишdir. Балын артмасы ятмағын азалмасыны көстәрир. О—тамам ятманы, 5—ятманын олмадығыны көстәрир.

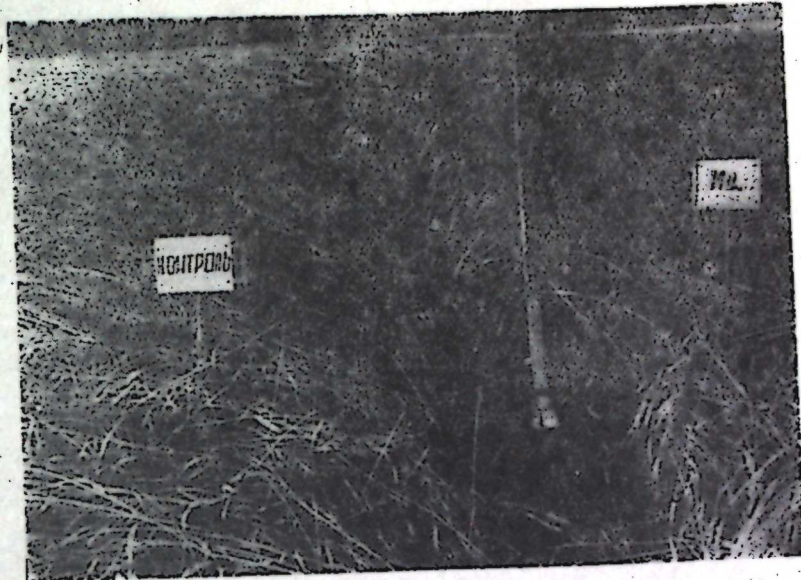
#### 2-чи чәдвәл

Микроэлементләрин тахылын ятмасына тә'сир (1953/54-чү ил тәчрүбәләри)

Вариантлар	Тахылын ятмаға гарышы мөһкәмлүүнү, бал несабилә			
	Микроэлементләр сәпиндән габага верилмишdir	Микроэлементләр сәпинде мәгсәдилә өверилмишdir	фонсуз	фон үзэр
Контрол				
MnSO <sub>4</sub> 5 кг/га	3	3	3	2
Контрол	5	5	5	5
MnSO <sub>4</sub> 10 кг/га	3	2	3	2
Контрол	4	3	4	5
MnSO <sub>4</sub> 15 кг/га	3	3	3	3
Контрол	5	4	4	4
MnSO <sub>4</sub> 25 кг/га	3	0	3	3
Контрол	4	4	3	4
CuSO <sub>4</sub> 2 кг/га	0	—	—	—
Контрол	2	—	—	—
CuSO <sub>4</sub> 5 кг/га	3	3	3	3
Контрол	5	4	5	4
CuSO <sub>4</sub> 10 кг/га	2	3	3	3
Контрол	5	5	5	4
CuSO <sub>4</sub> 20 кг/га	3	3	5	—
Контрол	5	5	5	—
Бура 4 кг/га	0	2	4	3
Контрол	4	2	4	4
Бура 8 кг/га	3	2	4	3
Контрол	5	2	5	4
Бура 12 кг/га	2	3	4	4
Контрол	3	3	5	4
Бура 20 кг/га	4	4	4	4
Контрол	0	—	—	—
ZnSO <sub>4</sub> 1 кг/га	3	—	—	—
Контрол	3	0	4	3
ZnSO <sub>4</sub> 2 кг/га	5	3	4	4
Контрол	2	2	4	3
ZnSO <sub>4</sub> 5 кг/га	4	4	4	3
Контрол	3	—	4	—
ZnSO <sub>4</sub> 10 кг/га	4	—	4	—

2-чи чәдвәлиниң рәгемләрнән көрүндүү кими, бурада да манган вә мис ятманы хейли азалдыр. Манган вә мис верилмиш бир чох саһәләрдә ятма гәтиййән мүшәнидә әдилмәмишdir. Бу характеристик делеккаларын бир нечесинин шәкли чәкилмишdir. 2-чи чәдвәлдән мәлум олдуғу кими, бор вә синк мүстәсна наллардан башга биткиләрин ятмаға гарышы мөһкәмлүүнэ бир о гәдәр тә'сир көстәрмір.

Беләликлә, апардығымыз мүшәнидәләрә әсасен белә нәтижәйә кәлмәк олар ки, манган вә мис тахылын ятмаға гарышы мөһкәмлүүн артырыр.



2-чи шәкил



3-чү шәкил

Гейд этмәк лазымдыр ки, бизим тәчрүбәләри нәтижәләри Н. Рзаев тәрәфиндән эйни шәрантдә апарылан тәчрүбәләр васитәсилә тамамилә тәсдиғ әдилмишdir.

#### ӘДЕБИЙЯТ

1. Власюк П. А. Влияние марганцевых удобрений на повышение устойчивости зерновых культур против полегания. Химизация. Соц. земледелие, № 5, 1939.
2. Михайловский А. Г. и Сопильник М. М. Предпосевная обработка семян

растворами микроэлементов. „Земледелие“. № 7, 1954. З. Mulder E. G. Влияние минерального питания на полегание зерновых культур. „С.-х. за рубежом“. 1, 1955.  
4. Скоропанов С. и Шубкина М. Научные труды Института мелиорации, водного и болотного хозяйства АН БССР, 1951.

Азэрбайчан ССР ЭА  
Ботаника Институту

Альнышдыр 20. III 1956

Д. А. Алиев

## Влияние микроэлементов на полегание пшеницы

### РЕЗЮМЕ

Известно, что полегание зерновых культур часто вызывает значительное снижение урожая и, кроме того, значительно снижается качество урожая, сильно затрудняется применение механизированных способов уборки.

Существующие литературные данные объясняют полегание злаковых в основном прочностью механических тканей стеблей. Некоторые отмечают положительное влияние, оказываемое калием, фосфором, а также (из микроэлементов) марганцем на полегание пшеницы.

Начиная с 1951 г., в течение трех лет на территории Карабахской ЗОС были проводились полевые опыты по изучению влияния различных микроэлементов (бор, марганец, медь и цинк) на полегание пшеницы. Микроэлементы вносились в почву как отдельно, так и совместно с азотистыми и фосфорными удобрениями, причем в различные сроки: перед посевом и в период вегетации, перед трубкованием, в качестве корневой подкормки.

Результаты опытов показывают, что все изучаемые микроэлементы как при внесении их перед посевом, так и в период вегетации, оказывая положительное действие на полегание пшеницы, значительно уменьшают его.

Среди этих микроэлементов марганец и медь, выделяясь наибольшей эффективностью, намного устраниют полегание пшеницы.

АЗЭРБАЙЧАН ССР ЭЛМЛЭР АКАДЕМИЯСЫНЫН МӘРУЗӘЛӘРИ.  
ДОНЛАДЫ АКАДЕМИИ НАУК АЗЕРБАЙДЖАНСКОЙ ССР

ЧИЛД XII

№ 12

1956

ЭДӘБИЙЯТ

Э. ЭЛИЕВА

## Н. ВӘЗИРОВУН ҺӘЯТЫ ҺАГГЫНДА ЕНИ СӘНӘДЛӘР

(Азэрбайчан ССР ЭА академики Э. Э. Элизадә тәрәфіндән тәгдим әдилмешдір)

XIX әср Азэрбайчан әдәбийтүн көркәмли нұмайәндәси олан драматург Нәчәфбәй Вәзировун ярадычылығыны өйрәнәркән биз онун һәятына аид олан бир сыра сәнәдләр әлдә этдик. Бизи һәр шейдән әvvәл драматургун анадан олдуғу ил вә күн марагланырығы үчүн әлдә этдийимиз сәнәдләрдән икисинә мұрачиәт этмәли олдуг.

Бу сәнәдләрдән бири Вәзирова „Петровская Земледелическая и Лесная Академияс“ нын совети тәрәфиндән верилән аттестаттыр. Бу аттестат драматургун һәятына аид олуб, индийә гәдәр мә’лум олан бүтүн сәнәдләрдә вә Вәзировун өз әли илә яздығы тәрчүмәй-һалыны<sup>1</sup> да дахил этсәк, онун анадан олдуғу күн һаггында неч бир мә’лumat йохдур. Һәтта 1900-чу илдә верилән дайни паспортда да Вәзировун анадан олдуғу күнә тәсадүф этмирик. Вәзиров тәрчүмәй-һалында баһар айында анадан олдуғуну көстәрир, лакин ай вә күнүнү гейд этмири. Бәлкә дә драматург буна әнтияч һисс этмәдий үчүн көстәр-әмәшишдір. Лакин бу аттестатда онун көнінә стиллә 4 февральда анадан олдуғу көстәрилмешдір. Элимиздә олан бу еканә сәнәлдә көстәрилән 4 февралы һәләлик драматургун анадан олдуғу күн кими гәбул әдирик.

Дикәр тәрәфдән Вәзировун анадан олдуғу или тә’йин этмәк үчүн һәмин аттестата мұрачиәт этдикдә онун 1857-чи илдә анадан олдуғуну көрүрүк. Бу факты йохламаг үчүн иккичи сәнәд<sup>2</sup> мұрачиәт этдикдә онун 1868-чи илдә 16 яшында икән Бакы „Реални кимназияс“нын 2-чи синифинә дахил олдуғу көстәрилмешдір ки, бунун әсасында да драматургун 1852-чи илдә анадан олдуғуну тә’йин әдирик. Беләликлә, һәр ики сәнәддән Вәзировун анадан олдуғу или дүзкүн тә’йин этмәдийимиз үчүн драматургун тәрчүмәй-һалында көстәрдий 1854-чу или әсас анадан олдуғу ил кими гәбул әдирик.

Бу сәнәдтәр әсасында Вәзировун атасынын вә бабасынын адыны да өйрәнирик. Һәр ики сәнәддән әдібин бабасынын ады Гулубәй, иккичи сәнәддән исә атасынын ады Фәтәлибәй олдуғу айдан олур.

Бу вахта гәдәр олан тәнгиди әдәбийтлардан онун адыны Нәчәфбәй олдуғуну билирдик. Лакин әлдә этдийимиз һәр ики сәнәд драматургун адыны тә’йин этмәк ишинде дә бизә көмәк этмишдір. Дүзදур, Вәзиров өз мәгаләләрини „Нәчәф Әзиризадә“, „Нәчәф“, „...Н...В“,

<sup>1</sup> Вәзировун өз элилә яздығы тәрчүмәй-һалы әлдә йохдур. Илк деңгә олараг онун тәрчүмәй-һалы сафа чәмийәти тәрәфиндән әдібин 40 иллік әдеби фәлләйтәи илә әлагәдар олараг 1913-чу илдә китабча һалында иешр әдилмешдір.

<sup>2</sup> Бакы „Реални кимназияс“нын педагоги совети тәрәфиндән 12 июн, 1874-чу илдә верилән аттестаттыр.

нэхайэт „Дэрвиш“ имзалары илэ чап этдирмишдир, лакин буна бах-  
маяраг һэр ики сэнэдлэн онун адыны Нэчэфгулубэй олдуғу айдын  
олур.

Юхарыда нағында данышдығымыз фактларла бәрабәр һэр ики  
аттестатдан кәнч Вәзировун академия вә кимазия дахил олуб гур-  
тармасы, мұхтәлиф әлмләрә олар марағы нағында да айдын тәсеввүр  
әлдә этмиш олур.

Мәгаләйә, нағында данышдығымыз ики аттестатла бәрабәр Вәзи-  
ровун тәләбәлик илләринә вә һәятына аид олан. бә'зи сәнәдләре дә  
әлавә эдирик.

#### Приложения

#### АТТЕСТАТ

Совет Петровской Земледельческой и Лесной Академии сим удостоверяет, что Наджаф Кулебек Везиров происхождения из беков, родившийся 4 февраля 1857 года, вероисповедания магометанского, по окончании полного курса наук в Бакинской реальной гимназии в августе месяце 1874 года поступил в число студентов Петровской академии, г. Везиров подвергался испытаниям из предметов академического курса отдела лесоводства и оказал познания: систематики растений, механики, статистики—отличны.

Из лесоводства:  
лесных токсазий,  
лесных законов,  
технологии лесных производств,  
геодезии,  
физиологии растений;  
неорганической химии,  
зоологии,  
геогнозии,  
общего земледелия,  
политической экономии—хорошия.

Из органической и аналитической химии,  
минералогии—удовлетворительная.

На основании сего г. Везиров Советом Петровской Земледельческой и Лесной Академии постановлением от 5 сентября 1878 года удостоен звания действительного студента лесоводства, с присвоением ему на основании от высочайше утвержденного 16 июля 1873 г. Устава академии, всех прав и преимуществ, предоставленных действительным студентам Российских Университетов.

Аттестат сей с приложением академической печати дан в Петровско-Разумовском сентябрь 18 дня 1878 года.

Директор  
Декан  
Секр. Совета.

#### АТТЕСТАТ

Предъявитель сего ученик VII класса бывшей Бакинской реальной гимназии (ныне реального училища) Наджаф Кулебек Везиров, как видно из его документов, сын Фаталибек Везирова, магометанского вероисповедания, имеющий от роду 16 лет, поступил по экзамену во 2-ой класс Бакинской реальной прогимназии (потом реальной гимназии) в сентябре месяце 1868 года и, находясь в ней по нижеописанное число, вел себя отлично.

В настоящем году, при окончательном испытании ученикам VII класса, он в предметах гимназического курса показал следующие познания:

В законе божием	отличная (5)
русском языке	отличная (5)
русской словесности	хорошая (4)
французском языке	хорошая (4)
немецком языке	хорошая (4)
истории русской	хорошая (4)
истории всеобщей	хорошая (4)
географии русской	хорошая (4)
географии всеобщей	хорошая (4)
географии физической	отличная (5)
и математической	отличная (5)
арифметике	

алгебре	отличная (5)
геометрии	отличная (5)
тригонометрии	отличная (5)
физике	отличная (5)
химии	отличная (5)
Eстественной истории:	
зоологии	хорошая (5)
ботанике	хорошая (4)
минералогии	хорошая (4)
анатомии и	
физиологии	
черчении	

Затем из всех этих предметов получил в среднем выводе отметку четыре (4), почему на основании существующих положений он—Везиров удостоен аттестата об окончании полного курса учения в Бакинском реальном училище, с распространением на него преимуществ, предоставленных § 123 Устава гимназии и прогимназии, высочайше утвержденного 19 ноября 1864 года.

В удостоверение чего и дан ему, Везирову, аттестат по определению педагогического совета Бакинского реального училища, состоявшему 12 июня 1874 года.  
Баку, июня 14 дня, 1874 года.

Директор действительный

статский советник

Исп. должность инспектора

надворный советник

Учитель физики и химии

Учитель русского языка

Учитель естеств. истории

Учитель фр. языка

Учитель немец. языка

Учитель черчения и

чистописания:

К. Чернов

И. Герм

Б. Новиков

Г. Климовский

Гас. Меликов

Ю. Доре

К. Преймгоуч

П. Ходорович

Печать гимназии.

#### БИЛЕТ

Дан студенту Петровской Земледельческой и Лесной Академии Наджафу Везирову для свободного жительства в г. Москве и окрестностях Академии, сроком от нижеописанного числа, вперед, по пятнадцатое февраля 1875 года.

Билет этот должен быть предъявлен Местному полицейскому начальству согласно ст. 327, т. XIV, уст. О. пасп. (Изд. 1867).

Петровско-Разумовское. Сентября 17<sup>а</sup> дня тысяча восемьсот семьдесят четвертого года.

Директор (Ф. К.)  
Секретарь (Э. Р.)

Печать  
Такие билеты ему выдавались в течение всей учебы в Москве—каждые 7 месяцев (за № 13, 17, 20, 22, 33, 34, 70)

#### БИЛЕТ № 62

на право слушания лекции и на посещение практических занятий в Петровской Земледельческой и Лесной Академии в течение осеннего семестра 1875 года  
Наджафу Везирову.

Директор  
Секретарь

Экземпляр утвержденных министром государственных имуществ 12 июля 1876 года правил для студентов и слушателей Петровской Земледельческой и Лесной Академии получил и исполнять их, равно как и все распоряжения начальства Академии обязуюсь

Н. Везиров (подпись)

„Окончивший в настоящем году курс наук в Петровской Земледельческой и Лесной Академии, кавказский воспитанник Наджаф Везиров, вызывается на службу на Кавказ. Вследствие сего и с разрешения помощника наместника Кавказского, мною, вместе с сим сообщено Московскому губернатору об отправлении названного молодого человека в гор. Ставрополь, в случае действительного окончания им курса учения, с выдачею ему прогонных денег и казенной подорожной. Уведомляя об

этом ваше превосходительство, для зависящего распоряжения к объявлению Везиро-  
ву, имею честь покорнейше просить о доставлении документов в главное управле-  
ние начальника Кавказского, а равно о снабжении его самого удостоверением об  
окончании курса учения, для предъявления им такового Московскому губернатору,  
от которого, за сим, будет уже зависеть отправление его на Кавказ.

Временно исполняющий  
должность начальника  
главного управления  
генерал-лейтенант  
Правитель канцелярии.

Московское губернское управление 7 июня 1878 года писало вправление Пет-  
ровской Земледельческой и Лесной Академии:

"Губернское управление, сделав вместе с ним распоряжение об отпуске оканчи-  
вающему в настоящем году курс наук кавказскому воспитаннику Наджафу Вези-  
рову прогонных денег в ординарном количестве до г. Ставрополь, имеет честь про-  
сить Академию объявить о сем ему, Везирову с тем, чтобы за получение сих денег  
он явился в Московскую казенную палату с представлением свидетельства о дей-  
ствительном окончании учения от начальства Академии, а за получением свидетельст-  
ва на проезд до г. Ставрополь, в губернскоеправление".

Азәрбайҹан ССР ЭА  
Әдәбийят институту

28. IX. 1956

Алиева

## Новые документы о жизни Н. Везирова

### РЕЗЮМЕ

Изучая творчество выдающегося азербайджанского драматурга XIX в. Наджафбека Везирова, мы столкнулись с очень важными и ценными документами, относящимися к его жизни.

Из этих документов (аттестаты, выданные при окончании Петровской Земледельческой и Лесной Академии в Москве и Бакинской реальной гимназии) мы установили дату рождения, полное имя писателя, имени его отца и деда.

Наряду с этим, аттестаты предельно точно воспроизводят картину учебы молодого Везирова, даты поступления и окончания реальной гимназии в Баку и Петровской Земледельческой и Лесной Академии в Москве.

Кроме аттестатов, к сообщению прилагаются также некоторые другие документы о студенческих годах Н. Везирова.

## "АЗЭРБАЙЧАН ССР ЭЛМЛЭР АКАДЕМИЯСЫНЫН МӘРҮЗӘЛӘРИ" ЖУРНАЛЫНДА 1956-ЧЫ ИЛДӘ ДӘРЧ ӘДИЛМИШ МӘГАЛАЛӘРИН СИЯЫСЫ

Абасзадә А. Г.—Парафишли карбо-  
нидрокенләрин бә'зи термик хассәләри  
наггында, № 7, сәh. 449.

Абдуллаев һ., Ахундов Г.,  
Элиев М.—Р—п кечидинә гүввәти сәhә  
эффектинин механизми наггында, № 11,  
сәh. 787.

Абдуллаев һ. Б., Талиб и М. Э.—  
Гамма вә ренткен щуларынын селен дүз-  
ләндирчиләринә тә'сири, № 7, сәh. 435.

Абдуллаев Р. Н.—Шаңдағ силси-  
ләсинин шимал маниййәтинин эфузив-  
пиокластик гатынын яшы наггында (Кичик  
Гафзаз), № 5, сәh. 329.

Абдуллаев М. С.—Чәңәлтә гангли-  
онун нистоструктурасына даир, № 7,  
сәh. 499.

Абдуллаев М. С.—Көз ювасында  
олан эзэлә вә синирләрин тәшриф гайдасы,  
№ 10, сәh. 759.

Әбдүлгасымзадә М. Р.—Кичик  
Гафзазын орта юра чекүнүләрinden тапы-  
лан *Perisphinctes* чиңсүнин ени, нөвү наггында, № 2, сәh. 107.

Агаев һ. Н.—Бир интегродифферен-  
циал тәнилиә аид Коши мәсәләси наггында,  
№ 12, сәh. 883.

Агаев Ю. М.—Дафдағанын гураглығы  
давамлыгынын анатомик көстәричиләри,  
№ 9, сәh. 665.

Акаева В. П.—Чәпнуб-шәрги Гаф-  
зазын шимал ямачы юра чекүнүләринин  
терриен-минераложи провинциялары наггында, № 11, сәh. 849.

Әләкәров X. М.—Мешә сүлейси-  
нини (*Dromys nitidula* Pall.) Азәрбайҹан  
шәһәртинде соҳналамасына аид бә'зи мә'лumatlar, № 12, сәh. 987.

Әләскәров С. Э.—Лаплас тәнилий  
үчүн харичи сәрәд мәсәләси һәллинин  
тәгриби үсүлү, № 11, сәh. 803.

Әлиев Г. Э.—Бартаз дағы районунун  
алт тәбашир чекүнүләри наггында, № 9,  
сәh. 651.

Әлиев Ф. Ф.—Губа-Хачмаз дәрә-  
сүнди енотун (*Procyon lotor* L.) игләмә уй-  
гунаштырылмасы нәтиҗәләри, № 1, сәh. 21.

Әлиев Ф. Ф.—Енотун (*Procyon lotor*  
L.) артмасы вә бейумәси наггында бә'зи  
мә'лumatlar, № 8, сәh. 583.

Элиев М. М., Абдуллаев Р. Н.—  
Астафа вә Храмы чайлары арасында са-  
нәнин тәбашир чекүнүләри наггында, № 8,  
сәh. 565.

Элиев А. һ., Николаева Л. А.,  
Минзебрәг Л. В.—Нүфузэтмә габиий-  
йәттинең бә'зи параметрләр вә коллектор-  
лардан асылылыгы вә кирмәк лай дәстәси  
сүхүрларынын нүфузэтмә көрнеграмларыны  
тәртиб этмәк учун бу анилән истифадә  
әдилмәси, № 1, сәh. 15.

Элиев М. М.—Ени *Inoceramus* нөвү  
наггында, № 7, сәh. 463.

Элиев һ. Э.—Азәрбайҹанда лиосс  
килличеләри наггында ени мә'лumat, № 10,  
сәh. 53.

Элиева Э.—Н. Везировун нәяты  
наггында ени сәнәдләр, № 12, сәh. 1005.

Элиев Ч. Э.—Микроэлементләрин  
буғданын ятмасына тә'сири, № 12, сәh. 999.

Элиев Р. К., Осина Е. Е., Глази-  
я и Б. Г.—Кичикбуйузлу гаралынын мә'-  
дәләттә вәзисинән иисулини алымасы, № 1,  
сәh. 57.

Элиев Р. К., Таривердиев  
Г. З.—Пишишәнин әркәк чичәкләри гален  
препаратларынын үрәк-гандамар системи-  
нә тә'сиринин әйранилмәси, № 4, сәh. 269.

Элиев Р. К., Очагвердиев  
С. Р.—Нафталаң нефтиндән алына азотту  
маддәләрин (алкалоидләрин) бейрәкләрин  
сидик эмәлә катирмәси вәэнфәсие тә'сири,  
№ 7, сәh. 505.

Элизадә М. А.—Чай колларынын  
суварылмасы вә онлара сүпнү сурәтдә көл-  
кә салынмасынын флешләрин бейумәсine  
тә'сири, № 1, сәh. 53.

Әләсәрзадә Э. Э.—Ағбил түрбә-  
ләринин китабәләри, № 10, сәh. 769.

Әлиев С., Умаров Э.—Азәрбайҹанда  
мәкәбәли кәнчләрин 1905—1907-чи  
илләр ингилабында иштиракы наггында,  
№ 9, сәh. 683.

Әмәзизадә Ю. Э.—Ичи бош призма-  
тик брусларынын әйләмә мәсәләләринин ЭМ-  
7 электрик моделинда һәлли, № 2, сәh. 81.

Асланов И. Н.—Кировабад нефти  
саһәсияткә майқоп чекүнүләринин стра-  
тиграфиясына даир, № 11, сәh. 831.

Асланов С. Р.—Иншаб биткисинин биологи вэ тэсэррүфат хүсүсийтлэри наагында, № 2, сэх. 117.

Ахуидов М. А.—Нефт мэншэли бой маддэлэрин чүчлээрин бэйумэ вэ иникишафы тэ'сири, № 8, сэх. 575.

Энмэдбэйли Ф. С.—Шимал-шэрги Азэрбайчанын саилбою һиссесиний нефтилик перспективинэ дайр, № 7, сэх. 467.

Энмэдов Н. М.—Совет меринусу, Гарабаг вэ ярым зэриф юнлу, гүйругу яглы гоюн чинслэрийн эт кеийийтний гиймэтлэндирilmэс, № 11, сэх. 861.

Бабаев А. З., Голберг И. К.—Анашанын мэнкэмэ кимясында тэйиний дайр материалы, № 10, сэх. 749.

Бабаева Э. М.—Суварманын яшыл чай ярлагларында кедэн фотосинтез процессийн тэ'сири (Лэнжаран шэрэгтнээ), № 12, сэх. 993.

Багбаний И. Л.—Рейнекс дүзүүн эмэлэ өтгөрдийн комплекс бирлэшмэлэрийн хэлл олмалары наагында, № 7, сэх. 459.

Багбаний И. Л.—Иодатометрийн методу илээ мигдарда мисин тэ'сири, № 9, сэх. 639.

Багбаний И. Л., Мэммэдгулиева М. М.—Ағыр металларын иштиракилээ мигдарда күмүшүн тэйин эдилмэсниний үсүү, № 3, сэх. 173.

Башничагийн И. С.—Лай гурулушу сухурларын суршуб айралмасы наагында, № 12, сэх. 961.

Бейбудов Р. А.—Кимэви-биологи үсүү илээ юмшаг ястыха гарши мүбаризэ тэдбирлэри, № 9, сэх. 661.

Бабич Ю. А.—Лайны таванынын бирчинсли олмаян кечиричилжиний ондан алымыш маени иткисин тэ'сири, № 3, сэх. 169.

Богданов М. П.—Минерал күбэрэларин веримэсси васитасилэ гыш отлаглары отлукуунын мэнсулдарлыгын артырма тэчрүбэс, № 5, сэх. 353.

Габуни Я. К.—Беломечетскдэ (Шимали Гафгаз) орта миоцен чекунтулэрийн бору дишли (*Orycteropterus* sp.) нийван галышинын тапылмасына дайр, № 3, сэх. 203.

Начыев Э. Э.—Инналасион паркоз вэ инексион эфир-яг кейтмэснээ ганды эфир бухарлары концентрасионийн мүэйин эдилмэс, № 6, сэх. 397.

Начыев К. А.—Эл наийийнэснээ миль вэ дурсэк синирлэрийн арасындакы рабитэй дайр, № 11, сэх. 871.

Начыев А. Т., Мэммэдов Э.—Гоюнларда агалактия хэстэлийнин пеницилинэ мувличэс, № 1, сэх. 65.

Начыев А. Т.—Мүхтэлигийн чинслэрийн һемминтлэрэй юлуухаларынын интенсивийн, № 3, сэх. 207.

Насин И. М.—XIX эсрийн ахырларында Азэрбайчанын дэвлэт кэндиндэ истисал мүнисибтэлэри наагында, № 8, сэх. 599.

Кеввандова Е. Х.—Абшерон ярымадасыннын хээр чекунтулэрийн *Didacta* чинсийн үсээвэри, № 12, сэх. 981.

Кулмэмэдов И. И.—Дэйиши цэрээн дизел-электрик интигалийн статистик характеристикасынын несабланмасы, № 12, сэх. 949.

Кэйүшов З. Б.—Һэсэнбэй Зэрдаби Мэлниковун бир ичээ намэлум мэгэлэсий наагында, № 5, сэх. 357.

Нүүсийнов М. М.—Абшерон шэрэгтнээ гызыл күлүн гэлэмэлэ чохалдылмашина дайр, № 1, сэх. 49.

Нүүсийнов Б. З.—Нефт мэншэли газынтын үзви маддэлэрийн агаач тохмачарларынын бой вэ иникишафына тэ'сири, № 7, сэх. 519.

Нүүсийнов Ч. М., Эсадов Ш. Д., Элиев А. Ю.—Нефтдэн айралмалыг бой маддэсийн кэлэм вэ памидоруун мэнсулдарлыгына тэ'сири, № 2, сэх. 123.

Нүүсийнов Б. З.—Бор вэ манганий мүхтэлиг агаач чинслэрийн бой вэ иникишафына тэ'сири, № 11, сэх. 865.

Нүүсийнов Ч. М., Элиев А., Эсадов Ш.—Газынтын үзви маддэлэрийн кэлэм вэ памидор биткисиний иникишафына тэ'сири, № 3, сэх. 193.

Нүүсийнов Ч. М., Элиев А. Ю., Эсадов Ш. Д.—Нефт сэнэсий туланталарында алымыш микрокубрэларин памидор вэ кэлэм мэнсулуна тэ'сири, № 10, сэх. 777.

Нүүсийнов Ч. М., Эсадов Ш. Д., Элиев А. Ю.—АЗ мигдарда ишлэмиш гумбриний памидор вэ кэлэмийн мэнсулдарлыгына тэ'сири, № 4, сэх. 279.

Нүүсийнов М. М.—Нахчыванын гадим даш чекичлэри, № 2, сэх. 135.

Гурвич М. М.—Килли мэнхүлларын типлэрийн дайр, № 2, сэх. 97.

Кулэймэдов Э. Н.—Нефт мэншэли бой маддэсийн бээзи чохиллик битки чөртийнэрийн иникишафына тэ'сири, № 6, сэх. 427.

Державин А. Н.—Хээр дэйнинийн ени кэлмиш хэрчэндэниш наалыг гозасы наагында, № 1, сэх. 43.

Чифэрэв Ш. М.—Симулиде мидчэлэрийн Загафгязиядан тапылмалыгына тэ'сири, № 1, сэх. 31.

Ениколов И.—Лермонтов Азэрбайчанд, № 2, сэх. 147.

Зизин В. Г., Ясиополски В. Д., Ашумов Г. Г.—Баки нефт ятагларында алымыш бензиний карбонидрокен торкии наагында, № 12, сэх. 889.

Зоз А. П.—Эластики маени эластики тэбэгэдэки һэрэктинэ аид хүсүү бир мэсээ наагында, № 8, сэх. 537.

Ибадзадэ Ю. Э., Казаков С. П.—Нидромонитордан чыхан-мае лүлэсийн тэдгиги, № 12, сэх. 913.

Иманов Л. М.—Поляр маелэрдэ дахиши саңа мэсэлэсий наагында, № 8, сэх. 531.

Исмайлов Г. А.—Шимал-гэрби Гобустанын (чэнуб-шэрги Гафгаз) нефт вэ газлыгына дайр, № 5, сэх. 325.

Исмайлов А. Я.—Чохдэйшишлийн полиномларын төрмэлэрийн гиймэтлэндирilmэсий наагында, № 4, сэх. 239.

Исаев И. М., Богданов М. П.—Минкэчевир су-электрик станцийн бэнди ямачынын чимлэнмэсийн мэсэлэсийн дайр, № 10, сэх. 695.

Кириченко А. Н.—Бинэгэдийн гир лайларынын фаунасы, № 8, сэх. 563.

Коновалов И. М., Кул Э. Г.—Суршэн ямачлары субасмасы, № 9, сэх. 675.

Крат В. А., Соболев В. М.—Күнэш хромосферидэ һелиумийн һэйэнчламасы, № 9, сэх. 617.

Кременетский И. Н.—Су басмын турбулент лулэлэрийн несабланмасына дайр, № 12, сэх. 935.

Кузнетсов В. П.—Шамахы зэлзэлэлэри очагларынын эпцентрлэрийн координациинын мүэйэнлэшдирмэк үүчи дүзүүн олмажи бир хүсүсийтэй наагында, № 9, сэх. 611.

Мэдэгэзэдээ Э. А.—Хээр дэйнинийн күлэк саңэлэрийн тэйин эдэн атмосфер процесслэрийн эсас иөвлөри, № 12, сэх. 973.

Мэммэдов А. Н.—Дэлидаг интрузив кутгэсийн буйнудашы сүхурларынын петрографик сэчийнэснээ дайр, № 12, сэх. 955.

Мэммэдов К. П., Кэриймбэйов А. В.—Бучаглары дагиг өлчүлэн рентген камерасы, № 11, сэх. 793.

Мэммэдов И. Ч.—Нуваси, параметрэ нээзэрэн гейрн-хэти олан Урысон интеграл тэйийниний мусбэт һөллэри наагында, № 5, сэх. 311.

Мэммэдэлиев Ю. Н., Далин М. А., Шыхмэммэдбэйова А. З., Мэммэдов Г. И., Сайлар Ч. И.—Термики крекингдэй алышн пентан-амилен фраксийн тэдгиги, № 9, сэх. 623.

Мэммэдэлиев Ю. Н., Далин М. А., Шыхмэммэдбэйова А. З., Сайлар Ч. И.—Изопентилэрийн изопреэн катализит денидрокенлэшдирмэс, № 8, сэх. 547.

Мэммэдэлиев Ю. Н., Бахшизадэ А. А.—Бензолун и-бутилен вэ изобутана а-үүснисийн катализаторуун иштирикэл алклиллэшмэс, № 11, сэх. 819.

Мэммэдэлиев Ю. Н., Далин М. А., Мэммэдов Г. И.—Изопентан-фраксийн катализит денидрокенлэшдирмэс, № 1, сэх. 3.

Мэммэдбэйли Г. Д.—Американы кэшф дилмэсийн тарихи мэсэлэсийн дайр, № 7, сэх. 525.

Мэликова Т. Н.—Наркотик маддэлэрийн тэ'сирийн аналкезия налында олан итлэрэн шэрги рефлектор фэллийн эдийншмэсий наагында, № 5, сэх. 341.

Менделева Н. А.—Азэрбайчан ССР-ийн Губа-Хачмаз массивийн бидилэрийн мушаңидээ эдилмэш кебэлэх хэстэлэклэри, № 3, сэх. 217.

Мирзачаинадэ А. Х., Аббасов А. Э.—Даирэвн силиндрин түрбадан өзүүнээсийн структур режимийн һэрэктинэ истилийн дэйнинийн тэгрибин һэлли, № 3, сэх. 155.

Мискарили А. Г., Насирова Т. Н.—Килли мэнхүлларын структур-механикийн хассэлэрийн кимэвн реакентлэрийн тэ'сири, № 12, сэх. 901.

Мискәрли А. Г., һасәнова Т. Н.—Килли мәңгүлларын структур-механики хасселәрийин килләрин минераложи, тәркибидән вә коллоид-кимйәви тәбиэтиндән асылылығы һагында, № 9, сән. 629.

Мотяков В. И.—Тәрс мәсәләләрни һәллә методикасына дайр, № 2, сән. 91.

Мустафаев А. Э.—Эластики ярым-фәзанын оха симметрик йүкләмәсі һагында, № 5, сән. 319.

Мустафаев А. Э.—Эластики тәк бинөврәләрни эйилмәсі һагында, № 3, сән. 163.

Мухтаров А. И., Черногорова В. А.—Нуклеонларын сини һалларыны изәрә алмагла, шүаларла ишыгандырмаг нәтичесинде нейтрал мезонларын эмәлә кәлмәсі, № 2, сән. 77.

Нагыева Ч.—С. С. Ахундовун ярым-чыг чап әдилмеш бир осари һагында, № 1, сән. 305.

Нагыев М. Ф., Карапзин П. В.—Һәлгәви диафрагма бошлуглу истилекдәйишән апаратын ишинни эффективлүй, № 11, сән. 811.

Павлов П. П., Хаванова А. М.—Нефт вә нефт мәңсулларынын чөйләрдә янымасы, № 7, сән. 453.

Петров А. М., Садыхов И. Э.—Азәrbайчанда порсугун барысагылдан та-пылыш ени лентшәкилли гурд иеву *Tae-pana melest* поу сп., № 3, сән. 213.

Пирвердян А. М.—Контурдахынын суб-смада неftлилк контуруннан ерик дәйишишмәсиина несабланмасы, № 10, сән. 701.

Пицик О. Г.—Газ гарышында ок-сикен вә карбон антидридинин тә'йин әдил-мәсиини садәләшширилмиш үсулу, № 10, сән. 743.

Пишиамаззадә Б. Ф., Гулиева Ш. Д.—Карбон туршулары алфахлорметил эфирләrinин этилен карбонидрокенеләри илә алкилләшширилмәсі, № 12, сән. 895.

Рәчебли А. Д.—Шаftалынын тәби-этинин енидән дәйишиширилмәсі йоллары, № 7, сән. 513.

Разадә Р. Я.—*Artanacetum Razadæ* Гафзаз флорасынын ени чинсидир, № 4, сән. 285.

Разадә Р. Я.—Азәrbайчан ССР-дә ени көвән иевләри, № 8, сән. 597.

Рустемов С. А.—Бакыхановун ени бир элязмасы һагында, № 4, сән. 295.

Рустемов С.—Ләнкәран вә Талыш тарихи һагында надир бир элязмасы, № 3, сән. 233.

Рустемов С. Н., Заманов Х. Ч.—Сумгайытчай һөвзәсindә олан көлләр һагында, № 5, сән. 335.

Саламзадә Э.—Бакынын мә'лум олмаян ме'марлыг әбидәләри һагында, № 1, сән. 69.

Саламзадә Э. В.—Бакынын феодал дөврүндә инд су кәмәрләри һагында, № 3, сән. 225.

Салаев С. Н.—Гобустанын олигосен-мiosей чекитуләринин нефтгазлылыг перспективлүй һагында, № 12, сән. 967.

Салаев С. Н.—Азәrbайчанда фасилә-сиз керна көтүрмәкә апарылан кәшфийт

газмасынын бә'зи вәзиfәләри һагында, № 8, сән. 557.

Сәмәдов Ф. И., Буряковски Л. А.—Нефт дашлары мә'dәни лай суларынын кимйәви тәркиби вә мәнишән, № 11, сән. 841.

Сейидов Ф.—Шүкрулла Гарабагынын педагогикая дайр элязмасы һагында, № 4, сән. 307.

Сейидова Х. К., Худайров И. А.—Шамахы районунун эрозия ургымыш торнагларында элавә күбрәнин языг буғданын мәңсулларлыгына тә'сири, № 10, сән. 737.

Сейидов А. Г.—Газахмәммәдтәнә тәтрафында майкоң лай дәстәси килләрийин минералокиясина дайр, № 7, сән. 485.

Соловьев В. Ф.—Хәзәр дәнизиндә "Байыр дашлары" адалары вә Азәrbайчанын Хәзәр тәтрафы районунун үчүнчү дөвр моноклиналында оналарын вәзиййәти, № 11, сән. 855.

Соловьев В. Ф.—Абшерон тәтрафи району чекитуләринин кимйәви тәркиби, № 10, сән. 709.

Сүлейманов М. К., Пашалы Н. В.—Бакы архипелағынын шимал-шәрг һиссесинде дөрдүчү дөвр чекитуләринин литолокиясина дайр, № 7, сән. 471.

Сүлейманов Ч. М., Башинчагяи И. С., Элиев Ф. С.—Бакы архипелағынын диг чекитуләри гумму мұхталифләрләrinin литолокия вә физики-кимйәви характеристикасы, № 11, сән. 875.

Султанов Һ. Ф.—Гаусс типи икигат орталамыш схем, № 2, сән. 87.

Султанов А. М.—Тезлик вә температурадан асылы оларын ултрасәс далғаларынын метил вә этилформиатда удудласыннын методу үзәр тәдгиги, № 4, сән. 249.

Султанов А. Д., Тамразян Г. П.—Абшерон нефт областы мәңсулдар гатынын ритмик гурулушунун литоложистратиграфик эсасданырылмасы һагында, № 9, сән. 643.

Султанов Э. Ч.—Бейүк Гафгазы чәнуб-шәрг батымынын тәбашир дөврү чекитуләринин литолокиясы һагында, № 4, сән. 257.

Тамразян Г. П.—Хәзәр бәрзәхи мәсәләсиси дайр, № 3, сән. 103.

Таниров Ч. Э.—*Verneullinidae* вә *Ammodiscidae* дәстәләрине инд олар ини ени чинс һагында, № 2, сән. 113.

Точилов В. И., Голдштейн С. Б.—Азәrbайчанын санитария тәләбләри негтейн-нэээриндән ижлим зоналарына белүимәсі, № 6, сән. 391.

Фәрәчов Э. С.—Кохоз истеңсалатында мәңсуллара сәрф әдилән хәрчләрни вә оналарын мая дәйеринин несабланмасы һагында мәсләләй дайр, № 5, сән. 363.

Фейзулаев А. В., Башымова А. И.—Үз синири, невритинин Бакынын Ленин районундакы дузлу-гәләви мә'dән сую илә мұаличесинин нәтичәләре (энине гальвано-иона диатермия илә), № 7, сән. 491.

Хәлилов Э. Н., Рзаева С. В.—Комбинасион сәпилмә хәтләри интенсивлйиниң һәйәчанландырычы ишыгын тезлийиндән асылылығы һагында, № 7, сән. 441.

Хәлилов Э. Н., Рзаева С. В.—Комбинасион сәпилмә хәтләри интенсивлйиниң һәйәчанландырычы ишыгын тезлийиндән асылылығы һагында, № 7, сән. 441.

Хәлилов Һ. Р.—Дәни биткиләрни яшыл күтләсисидә каротинин мигдарыны артырмай мәсәләсі һагында, № 6, сән. 415.

Хәлилов З. И.—Хүсуси тәрәмәли тәнликләр учун сәрһәт мәсәләләри һәллини асимитик даяныглыгынын тәдгиги, № 6, сән. 375.

Хәлилов З. И.—Газлы нефтни су-зулмасине аид мәсәләләри шәбәкә методу илә һәлли, № 4, сән. 245.

Хитеев А. М.—Этан вә пропанын нефтдә һәлл олмасы, № 12, сән. 923.

Шантахтинская З. М.—Азәрбайчан гушларында ини иев нематод, № 1, сән. 37.

Шыхыев И. А., Шостаковски М. Ф., Комаров Н. В.—Доймамыш кремни үзүн бирләшмәләри вә онларын тәрәмәләринин синтези сәнсисинде тәдгигат, № 8, сән. 553.

Шостаковски М. Ф., Шыхыев И. А., Комаров Н. В.—Силициум-үзүн асесталларын синтези, № 3, сән. 177.

Фәндиев М. М.—1849-чу илдә Нуҳада баш верниш олан бир чыхыш һагында, № 4, сән. 299.

Ямболски З.—Атропатенаны тарихине дайр, № 10, сән. 763.

СИСТЕМАТИЧЕСКИЙ УКАЗАТЕЛЬ СТАТЕЙ, ОПУБЛИКОВАННЫХ В ЖУРНАЛЕ  
"ДОКЛАДЫ АКАДЕМИИ НАУК АЗЕРБАЙДЖАНСКОЙ ССР"

за 1956 год

Басзаде А. К.—О некоторых термических свойствах парафиновых углеводородов. № 7, стр. 449.

Абдуллаев Г. Б., Ахундов Г. А. и Алиев М. Г.—О механизме эффекта сильного поля на р-п переходах. № 11, стр. 787.

Абдуллаев Г. Б., Талиби М. А.—Действие гамма- и рентгеновских лучей на селеновые выпрямители. № 7, стр. 435.

Абдуллаев Р. Н.—О возрасте эффективно-пирокластической толщи северного склона шахдагского хребта. № 5, стр. 329.

Абдуллаев М. С.—О гистоструктуре подчелюстного нервного узла. № 7, стр. 499.

Абдуллаев М. С.—Способ пропаривания мышц и нервов, находящихся в глазнице. № 10, стр. 759.

Абдуллаумзаде М. Р.—Новый вид рода *Perisphinctes* из среднеюрских отложений Малого Кавказа. № 2, стр. 107.

Агаев Г. Н.—О задаче Коши для одногранного интегралного уравнения. № 12, стр. 883.

Агаев Ю. М.—Анатомические показатели засухоустойчивости каркаса. № 9, стр. 665.

Акаева В. П.—О терригенно-минералогических провинциях юрских отложений северного склона юго-восточного Кавказа. № 11, стр. 849.

Алекперов Х. М.—Некоторые данные к размножению лесной сони (*Dyromys maledula* Raill) (в условиях Азербайджана). № 12, стр. 986.

Алескеров С. А.—Метод приближенного решения внешней краевой задачи для уравнения Лапласа. № 11, стр. 803.

Алиев Г. А.—О нижнемеловых отложениях района горы Бартаз (Малый Кавказ). № 9, стр. 651.

Алиев Ф. Ф.—Результаты акклиматизации енота *Procyon lotor* L. в Кубано-Хачмасской долине. № 1, стр. 21.

Алиев Ф. Ф.—Некоторые данные по размножению и росту енотов *Procyon lotor* L. № 8, стр. 583.

Алиев М. М., Абдуллаев Р. Н.—Меловые отложения междуречья Акстакай и Храми. № 8, стр. 565.

Алиев А. Г., Николаев Л. А., Минзберг Л. В.—Зависимость проницаемости от некоторых параметров коллекторов и использование этого фактора для составления кернограмм проницаемости пород кирмакинской свиты. № 1, стр. 15.

Алиев М. М.—О новом виде инопланетного. № 7, стр. 463.

Алиев Г. А.—Новые данные о лесовых суглинках в Азербайджанской ССР. № 10, стр. 753.

Алиева А.—Новые документы о жизни Н. Везирова. № 12, стр. 1005.

Алиев Д. А.—Влияние микрореминесценции на полегание пшеницы. № 12, стр. 999.

Алиев Р. К., Осина Е. Е., Глазий Б. Г.—Получение инсулина из поджелудочных желез мелкого рогатого скота и лошадей. № 1, стр. 57.

Алиев Р. К., Таривердиев Г. З.—Клиническое испытание действия галено-венных препаратов из мужских соцветий ивы козьей на сердечно-сосудистую систему. № 4, стр. 289.

Алиев Р. К., Оджахвердиев С. Р.—Влияние азотистых оснований нафталанской нефти на мочеобразовательную функцию почек. № 7, стр. 505.

Алиев М. А.—Влияние полива и затенение чайных кустов на рост и размер фешеек. № 1, стр. 53.

Алескер-заде А. А.—Надписи арабского мавзолеев. № 10, стр. 769.

Алияров С., Умаев Н.—Об участии учащейся молодежи Азербайджана в революции 1905—1907 гг. № 9, стр. 683.

Алиев-заде Ю. А.—Решение задач изгиба полых призматических брусьев ЭМ-7. № 2, стр. 81.

Асланов И. Н.—К стратиграфии майкопских отложений Кировабадской нефтеносной области. № 11, стр. 831.

Асланов С. Р.—О биологических и хозяйственных особенностях культуры унаби. № 2, стр. 117.

Ахундов М. А.—Влияние ростового вещества нефтяного происхождения на рост и развитие цыплят. № 8, стр. 575.

Ахмедбейли Ф. С.—К вопросу перспектив нефтеносности прибрежной полосы северо-восточного Азербайджана. № 7, стр. 467.

Ахмедов Н. М.—Органолептическая оценка и дегустация мяса овец новой породной группы—полутонкорунных жирно-хвостых и исходных пород овец. № 11, стр. 861.

Бабаев А. З., Гольберг И. К.—Материалы к судебно-химическому определению анаши. № 10, стр. 749.

Бабаева А. М.—Влияние полива на фотосинтез листьев чайного растения в условиях Ленкорани. № 12, стр. 993.

Багбанил И. Л.—О растворимости трудно растворимых комплексных соединений некоторых катионов, образующихся под влиянием соли Рейнеке. № 7, стр. 459.

Багбанил И. Л.—Объемно-изодатометрический метод определения малого количества меди. № 9, стр. 639.

Багбанил И. Л., Мамедкулиев М.: Новый метод определения малого количества серебра в присутствии тяжелых металлов. № 3, стр. 173.

Башиндагян И. С.—О славиге в грунтах со слоистой текстурой. № 12, стр. 961.

Бейбутов Р. А.—Комбинированный метод борьбы с мягкой ложножитковкой. № 9, стр. 661.

Бабич Ю. А.—Влияние неоднородной проницаемости крови пласта на утечку из него жидкости. № 3, стр. 169.

Богданов М. П.—Опыт увеличения продуктивности травостоя зимних пастбищ внесением минеральных удобрений. № 5, стр. 353.

Габуния Л. К.—О находке остатков ископаемого трубкузуба (*Orychleropus* sp.) в среднемиоценовых отложениях Беломечетской (Северный Кавказ). № 3, стр. 203.

Гаджиев А. А.—Определение концентрации паров эфира в крови больных при ингаляционном наркозе и при инфекционном эфиromасляном обезболивании. № 6, стр. 397.

Гаджиев Г. А.—О связях между лучевым и локтевым нервами в области кисти. № 11, стр. 871.

Гаджиев А. Т., Мамедов А.—Лечение агалактии овец пенициллином. № 1, стр. 65.

Гаджиев А. Т.—Изучение зараженности гельминтами овец различных пород и групп. № 3, стр. 207.

Гасанов И. М.—О производственных отношениях в государственной деревне Азербайджана в конце XIX века. № 8, стр. 599.

Гейваидова Е. Х.—Новые виды *Didachna* из хазарских отложений Ашшорского полуострова. № 12, стр. 981.

Гюшев З. Б.—О некоторых неизвестных статьях Гасан-бека Меликова (Зардаби). № 5, стр. 357.

Гусейнов М. М.—Некоторые данные об укоренении черенков роз в условиях Ашшорона. № 1, стр. 49.

Гусейнов Б. З.—Влияние ископаемых органических веществ нефтяного происхождения на рост и развитие сеянцев древесных пород. № 7, стр. 519.

Гусейнов Д. М., Асадов Ш. Д., Алиев А. Ю.—Влияние ростового вещества нефтяного происхождения на урожай капусты и томатов. № 2, стр. 123.

Гусейнов Б. З.—Рост и развитие некоторых древесных пород под влиянием бора и марганца. № 11, стр. 865.

Гусейнов Д. М., Алиев А., Асадов Ш.—Влияние ископаемых органических веществ на развитие томатов и капусты. № 3, стр. 193.

Гусейнов Д. М., Алиев А. Ю., Асадов Ш. Д.—Влияние микробудородий, полученных на базе отходов нефтяной промышленности, на урожай томатов и капусты. № 10, стр. 777.

Гусейнов Д. М., Асадов Ш. Д., Алиев А. Ю.—Влияние малых доз обработанного гумбрена на урожай капусты и томатов. № 4, стр. 279.

Гусейнов М. М.—Каменные молоты из Нахичевани. № 2, стр. 135.

Гуревич М. М.—О типах глинистых растворов. № 2, стр. 97.

Гульхамедов А. Н.—Влияние ростового вещества нефтяного происхождения на рост и развитие некоторых многолетних растений. № 6, стр. 427.

Гульзамедов И. И.—Расчет статических характеристик дизель-электрического привода переменного тока. № 12, стр. 949.

Державин А. Н.—Новый вселенец в Каспийское море—морской жолудь *Balaenopteris impavilis* D'arviv. № 1, стр. 43.

Джафаров Ш. М.—Новый вид мошки из Закавказья. № 1, стр. 31.

Ениколов И. М., Ю. Лермонтов в Азербайджане. № 2, стр. 147.

Зизин В. Г., Яснопольский В. Д., Ашумов Г. Г.—Об углеводородном составе бензинов прямой гонки из нефти Бакинского месторождения. № 12, стр. 889.

Зод А. П.—Об одном частном случае движения упругой жидкости в упругом пласте. № 8, стр. 537.

Ибадзаде Ю. А., Казаков С. П.—Исследования гидромониторных струй. № 12, стр. 913.

Иманов Л. М.—К вопросу внутреннего поля в полярных жидкостях. № 8, стр. 531.

Исмаилов К. А.—О нефтегазонности северо-западного Кобыстана. № 5, стр. 325.

Исмайлов А. Я.—Об оценке производных многочленов многих переменных. № 4, стр. 239.

Исаев Я. М., Богданов М. П.—К вопросу задирания откосов плотины Мингечаурской гидроэлектростанции. № 10, стр. 731.

Кадыров Я. Б.—К методам исследования устойчивости систем автоматического регулирования с распределенными параметрами. № 8, стр. 513.

Караев А. И., Айвазян Л. А.—Влияние раздражения химиорецепторов селезенки на содержание гликогена в крови. № 4, стр. 271.

Караев А. И., Сафаров Р. И., Раев Н. А.—Влияние раздражения интерорецепторов на остаточный азот и азот полипептидов крови. № 2, стр. 129.

Караев А. И., Алиев Р. К., Осина Е. Е., Игонец Г. Я.—Получение камполона из печени осетровых пород рыб. № 8, стр. 593.

Караев А. И., Алиев Р. К., Осина Е. Е., Газар Е. Г.—Получение и стандартизация препаратов гепарина из легких крупного рогатого скота. № 6, стр. 405.

Караев А. И., Бабаева В. А.—Влияние электросна на фагоцитарную активность лейкоцитов. № 10, стр. 717.

Касимов А. Ф.—К вытеснению одной вязкой жидкости другой в горизонтальной круглой цилиндрической трубе при турбулентном режиме движения. № 12, стр. 943.

Касимов А. Г.—Личинки тендипедид (*Tendipedidae*) некоторых водоемов Азербайджана. № 5, стр. 347.

Касумов А. Г.—Питание и темп роста мальков рыбца и шемаи в прудовых условиях. № 10, стр. 723.

Касимов А. Г.—Влияние стимулятора нефтяного происхождения на развитие азотобактера и других бактерий в чистых культурах. № 6, стр. 421.

Касимова Г. К., Кузнецова З. В., Михеева З. Ф.—Микрофауна юрских отложений разреза Уллчай (центральный Дагестан). № 1, стр. 9.

Касимова Г. К., Бабаева Т. А.—Влияние стимулятора, выделенного из отброса нефтяной промышленности, на развитие и антибиотическую активность некоторых грибов. № 9, стр. 655.

Кашкай М. А., Мамедов А. И.—Перлиты и обсидианы Азербайджана. № 6, стр. 379.

Керимов А. Д.—Жильные породы межманнинской гранитоидной интрузии. № 4, стр. 265.

Керимов А. Д.—Химическая характеристика зеленого чайного листа Нуух-Закатальской зоны. № 11, стр. 825.

Керимов А. Д.—Петрохимическая характеристика межманнинской гранитоидной интрузии. № 7, стр. 479.

Керимов К. А.—Поперечный удар по гибкой нити. № 11, стр. 799.

Керимов К. А.—Экспериментальные исследования упруго-пластических деформаций при продольном ударе. № 10, стр. 695.

Коновалов И. М., Гюль А. К.—Обводненность оползневых склонов. № 9, стр. 675.

Крат В. А., Соболев В. М.—Возбуждение гелия солнечной хромосфера. № 9, стр. 617.

Кириченко А. Н.—Фауна бинагдинских кирзовых пластов. № 8, стр. 563.

Кременицкий Н. Н.—К расчету затопленных турбулентных струй. № 12, стр. 935.

Кузнецов В. П.—Об одной особенности шемахинских очагов землетрясений, вызывающей несогласия в определении координат эпицентров. № 9, стр. 611.

Мадатзаде А. А.—Основные типы атмосферных процессов, обусловливающие поле ветров на Каспийском море. № 12, стр. 973.

Мамедов А. И.—Петрографическая характеристика роговиков далидагского интрузива. № 12, стр. 955.

Мамедов К. П., Керимбеков А. В.—Рентгеновская камера с точными угловыми измерениями. № 11, стр. 793.

Мамедов Я. Д.—О положительных решениях нелинейных интегральных уравнений Урысона, ядро которых нелинейно относительно параметра. № 5, стр. 311.

Мамедалиев Ю. Г., Даляи М. А., Шихмамедбекова А. З., Мамедов Т. И., Саилов Д. И.—Исследование пентапентеновой фракции термического крекинга. № 9, стр. 623.

Мамедалиев Ю. Г., Даляи М. А., Шихмамедбекова А. З., Саилов Д. И.—Катализическое дегидрирование изопентенов в изопрен. № 8, стр. 547.

Мамедалиев Ю. Г., Бахшизаде А. А.—Алкилирование бензола n-бутиленом и изобутаном в присутствии алюмоалюминатных катализаторов. № 11, стр. 819.

Мамедалиев Ю. Г., Даляи М. А., Мамедов Г. И.—Дегидрирование изопентановой фракции газового бензина. № 1, стр. 3.

Мамедбекли Г. Д.—К вопросу об истории открытия Америки. № 7, стр. 525.

Меликова Т. Г.—Об изменении условно-рефлекторной деятельности собак в стадии аналгезии действия наркотических веществ. № 5, стр. 341.

Мехтиева Н. А.—Грибные болезни культурных растений, обнаруженные в Куба-Хачмасском массиве Азербайджанской ССР. № 3, стр. 217.

Мерзажанзаде А. Х., Аббасов А. А.—Приближенное решение задачи о теплообмене при структурном режиме движения вязко-пластичной жидкости в круглой цилиндрической трубе. № 3, стр. 155.

Мискарли А. К., Гасанова Т. Г.—Влияние добавки химических реагентов на структурно-механические свойства глинистых растворов. № 12, стр. 901.

Мискарли А. К., Гасанова Е. Г.—Структурно-механические свойства глинистых растворов и зависимость их от минералогического состава и коллоидно-химической природы глин. № 9, стр. 629.

Мотяков В. И.—К методике решения обратных задач. № 2, стр. 91.

Мустафаев А. А.—Об одном осесимметричном загружении упругого полуправостранства. № 5, стр. 319.

Мустафаев А. А.—К вопросу изгиба одиночных гибких фундаментов. № 3, стр. 163.

Мустафаев А. И., Черногорова А. А.—Фоторождение нейтральных мезонов с учетом спиновых состояний нуклонов. № 2, стр. 77.

Нагиев М. Ф., Карапзин П. В.—Эффективность работы теплообменного аппарата с кольцевым диафрагмированным пространством. № 11, стр. 811.

Петров А. М., Садыхов И. А.—Новая цестода *Taenia melesi* p. sp. от барсука в Азербайджане. № 3, стр. 213.

Пирвердян А. М.—Расчет перемещения контура нефтеносности при внутриконтурном завоевании. № 10, стр. 701.

Пинник О. Г.—Упрощенный метод определения кислорода и углекислоты в газовой смеси. № 10, стр. 743.

Пишиамазаде Б. Ф., Гулиев Ш. Д.—Алкилирование хлорметиловых эфиров карбоновых кислот этиленовыми углеводородами. № 12, стр. 895.

Раджабли А. Д.—Пути переделки природы персика. № 7, стр. 513.

Рзазаде Р. Я.—*Artanacatum* Rzazade. Новый род флоры Кавказа. № 4, стр. 285.

Рзазаде Р. Я.—Новые виды астрагала в Азербайджанской ССР. № 8, стр. 597.

Рустамов С.—О новой рукописи Бакиханова. № 4, стр. 295.

Рустамов С.—Об одной редкой рукописи по истории Ленкорани и Талыша. № 3, стр. 233.

Рустамов С. Г., Заманов Х. Д.—Об озерах бассейна р. Сумгантчай. № 5, стр. 335.

Саламзаде А.—Материалы о неизвестных архитектурных памятниках Баку, № 1, стр. 69.

Саламзаде А. В.—О Бакинском водопроводе феодального периода. № 3, стр. 225.

Салаев С. Г.—О перспективах нефтегазоносности олигоцен-миоценовых отложений Кобыстана. № 12, стр. 967.

Салаев С. Г.—О некоторых задачах разведочного бурения со сплошным отбором кернов. в Азербайджане. № 8, стр. 557.

Самедов Ф. И., Буряковский Л. А.—Химический состав и происхождение пластовых вод месторождения нефтяные камни. № 11, стр. 841.

Сейдов Х. К., Худайров И. А.—Влияние подкормки на урожай яровой пшеницы на смытых почвах Шемахинского района. № 10, стр. 737.

Сейдов А. Г.—К минералогии глины майкопской свиты района Казахмамедтепе. № 7, стр. 485.

Соловьев В. Ф.—Острова Наружные Ками в Каспийском море и их положение в третичной моноклинали Прикаспийского района Азербайджана. № 11, стр. 855.

Соловьев В. Ф.—Химический состав осадков Приапшеронского района. № 10, стр. 709.

Сулейманов М. К., Пашалы Н. В.—К литологии четвертичных отложений северо-восточной части Бакинского архипелага. № 7, стр. 471.

Алиев Ф. С., Башниджагян И. С., Сулейманов Д. М.—Литология и физико-механическая характеристика песчаных разностей донных осадков Бакинского архипелага. № 11, стр. 875.

Султанов Г. Ф.—Двухкратно-осредненная схема типа Гаусса. № 2, стр. 87.

Султанов А. М.—Исследование поглощения ультразвуковых волн в метил- и этилформиате в зависимости от частоты и температуры импульсным методом. № 4, стр. 249.

Султанов А. Д., Тамразян Г. П.—О литолого-стратиграфическом обосновании ритмического строения продуктивной толщи апшеронской нефтеносной области. № 9, стр. 643.

Султанов А. Д.—К литологии меловых отложений юго-восточного погружения Большого Кавказа. № 4, стр. 257.

Тамразян Г. П.—К вопросу о Каспийском перешейке. № 3, стр. 183.

Таиров Ч. А.—О двух новых родах из семейств Verneuilinidae и Ammodiscidae, принадлежащих к фауне фораминифер. № 2, стр. 113.

Пючилов В. И., Гольдштейн С. Б.—Климатологическое зонирование Азербайджана в свете санитарно-гигиенических требований. № 6, стр. 391.

Фараджев А. С.—К вопросу о методике исчисления издережек и себестоимости продуктов колхозного производства. № 5, стр. 363.

Фейзулаев А. В., Гашимова А. И.—Эффективность лечения неврита лицевого нерва соляно-щелочной минеральной водой нефтяного Ленинского района Баку (поперечной гальвано-ионо-дистермии). № 7, стр. 491.

Халилов А. Г.—О присутствии альбских отложений в бассейне р. Базарчай (Малый Кавказ). № 11, стр. 837.

Халилов А. Х., Газаева С. З.—О зависимости интенсивности линий комбинированного рассеяния от частоты возбуждающего света. № 7, стр. 441.

Халилов Г. Р.—К вопросу повышения содержания каротина в зеленой массе злаковых трав. № 6, стр. 415.

Халилов З. И.—Об исследовании асимптотической устойчивости решений

граничных задач для уравнений с частными производными. № 6, стр. 375.

Халилов З. И.—Решение задач фильтрации газированной нефти методом сеток. № 4, стр. 245.

Хитеев А. М.—Растворимость этана и пропана в нефтях. № 12, стр. 923.

Павлов П. П., Хованова А. М.—Выгорание нефтей и нефteinпродуктов со свободной поверхности в резервуарах. № 7, стр. 453.

Шахтахтинская З. М.—Два новых вида нематод из птиц Азербайджана. № 1, стр. 37.

Шихнев И. А., Шостаковский М. Ф., Комаров Н. В.—Исследования в области синтеза и превращений непредельных кремнеорганических соединений № 8, стр. 553.

Шостаковский М. Ф., Шихнев И. А., Комаров Н. В.—Исследования в области синтеза и превращений кислородсодержащих кремнеорганических соединений. № 3, стр. 177.

Эфендиев М. М.—О волнении в Нухе в 1849 г. № 4, стр. 299.

Ямпольский З.—К истории Атропатены III в. до н. э. № 10, стр. 763.

РЕДАКЦИОННАЯ КОЛЛЕГИЯ: Топчибашев М. А. (редактор),  
Кашкай М.-Д. (зам. редактора), Алиев Г. А., Карабев А. И.,  
Усейнов М. А., Халилов З. И., Ширалисев М. А.

Подписано к печати 28/1 1957 г. Бумага 70×108<sup>1/16</sup>=4,37 бум. листа. Печат. лист. 1  
Уч.-изд. лист. 11,7. ФГ 16010. Заказ 510. Тираж 950.

Типография „Красный Восток“ Министерства культуры Азербайджанской ССР,  
Баку, ул. Ази Асланова, 80.

## ПРАВИЛА ДЛЯ АВТОРОВ

1. В «Докладах Академии наук Азербайджанской ССР» помещаются краткие сообщения, содержащие законченные, еще не опубликованные результаты научных исследований, имеющих теоретическое или практическое значение.

В «Докладах» не помещаются крупные статьи, механически разделенные на ряд отдельных сообщений, статьи полемического характера без новых фактических данных, статьи с описанием промежуточных опытов без определенных выводов и обобщений, работы непринципиальные, описательного или обзорного характера, чисто методические статьи, если предлагаемый метод не является принципиально новым; а также статьи по систематике растений и животных — за исключением описания особенно интересных для науки находок.

Статьи, помещаемые в «Докладах», не лишают автора права последующей публикации того же сообщения в развернутом виде в других изданиях.

2. Поступающие в «Доклады» статьи рассматриваются Редакционной коллегией только после представления их академиком по специальности.

Статьи членов-корреспондентов АН Азербайджанской ССР принимаются без представления.

Редакция просит академиков при представлении статьи указывать дату получения ее от автора, а также научный раздел, в котором статья должна быть помещена.

3. «Доклады» помещают не более 3 статей одного автора в год. Для академиков устанавливается лимит в 8 статей в год, для членов-корреспондентов АН Азербайджанской ССР — 4 статьи в год.

4. «Доклады» помещают статьи, занимающие не более четверти автор. листа, около 6—7 стр. машинописи (10 000 печат. зн.), включая рисунки.

5. Статьи, написанные на азербайджанском языке, должны иметь резюме текста на русском языке и наоборот.

6. В конце статьи должны быть указаны название научного учреждения, в котором произведена работа, и номер телефона автора.

7. Опубликование результатов работ, проведенных в научных учреждениях, должно быть разрешено дирекцией научного учреждения.

8. Статьи (включая и резюме) должны быть написаны на машинке через два интервала на одной стороне листа и представляются в двух экземплярах. Формулы должны быть вписаны четко и ясно.

9. Цитируемая в статье литература должна даваться автором не в виде подстрочных сносок, а общим списком в конце статьи с обозначением ссылки в тексте порядковой цифрой. Список литературы должен быть оформлен следующим образом:

а) для книг: фамилия и инициалы автора, полное название книги, номер тома и год издания;

б) для журнальных статей: фамилия и инициалы автора, название журнала, номер тома (подчеркнуть), номер выпуска и год.

Ссылки на неопубликованные работы не допускаются.

10. На обороте рисунков должны быть указаны фамилия автора, название статьи и номер рисунка. Подписи к рисункам представляются на отдельном листе.

11. Редакция выдает автору бесплатно 10 отдельных оттисков статьи.

